

<p>Föreläsningsant eckningar i Numerisk analys, MMG410 Thomas Ericsson, Matematik Chalmers / GU 2011</p> <p style="text-align: center;">1</p>	<p>Vad är numerisk analys?</p> <p>Numerisk analys handlar om hur man löser beräkningsproblem på ett säkert och effektivt sätt med hjälp av dator.</p> <p>Några viktiga komponenter:</p> <ul style="list-style-type: none"> ● Problemets egenskaper <ul style="list-style-type: none"> – Problemen kommer från naturvetenskap, teknik, matematik etc. – Existerar det någon lösning? – Är den entydig? – Vad händer med lösningen när man ändrar indata något? ● Algoritmens egenskaper: <ul style="list-style-type: none"> – Hur snabb är metoden, implementationen? – Hur mycket minne går åt? – Vilka fel introduceras av algoritmen (avrundningsfel etc)? ● Beräkningsredskaps egenskaper: <ul style="list-style-type: none"> – Dat or arkitektur. Möjligheter/begränsningar. – Parallelit et. – Programspråk och kompilatorer. <p>På följande sidor kommer några korta exempel på ovanstående, men först några ord om skillnaderna mellan ren matematik och numeriska beräkningar.</p> <p>I grundläggande matematik-kurser ser man normalt endast problem som kan lösas exakt och med handräkningsmetoder. Det är därför enkelt att dra den felaktiga slutsatsen att alla problem kan lösas på detta vis.</p> <p style="text-align: right;">2</p>
<p>Flertalet verkliga problem är dock för komplicerade att lösa exakt och även om det går så är det kanske inte intressant. Maple kan beräkna:</p> $\int x^{10}e^x dx = \frac{[3628800 - 3628800x + 1814400x^2 - 604800x^3 + 151200x^4 - 30240x^5 + 5040x^6 - 720x^7 + 90x^8 - 10x^9 + x^{10}]}{10!} e^x + \text{konstant}$ <p>och</p> $\int_0^1 x^{10}e^x dx = 1334961 e - 3628800$ <p>Jämför i Matlab</p> <pre>>> i = quadl(@(x) x.^10 * exp(x), 0, 1) i = 2.280015154878251e-01</pre> <p>med ett fel mindre än $4 \cdot 10^{-10}$. I en verklig tillämpning duger det kanske med fyra siffror.</p> $\int_0^1 \arctan(e^x) dx$ <p>kan ej uttryckas på något enkelt sätt. Dock</p> <pre>>> i = quadl(@(x) atan(exp(x)), 0, 1) i = 1.017430583002258e+00</pre> <p>Dessa problem är enkla jämfört med många verkliga problem. Ett system av differentialekvationer kan normalt endast lösas approximativt och även det kan vara svårt (väderprognosor).</p> <p style="text-align: center;">3</p>	<p>Hur många siffror behöver man i tillämpningar?</p> <p>Några exempel:</p> <p>Säg att vi skall tillverka en stålståv med längden 1m. Hur många siffror är det rimligt att ange? De finaste passbitarna (dyra och mycket noggrant polerade mätblock) har en avvikelse på omkring $\pm 10^{-6}m$. En väteatom har en storlek $\approx 10^{-11}m$. Typen double i Java, C etc. tar 64 bitar, drygt 16 decimaler.</p> <p>Vanliga elektriska motstånd har en osäkerhet om 5-10%, 0.1% för precisionsmotstånd.</p> <p>Från NIST (National Institute of Standards and Technology) Special Publication 333, 2001 Edition, The International System of Units (SI) http://physics.nist.gov/Pubs/pdf.html</p> <p>The unit of mass, the kilogram, is the mass of the international prototype of the kilogram kept at the BIPM (Bureau International des Poids et Mesures). It is a cylinder made of an alloy for which the mass fraction of platinum is 90 % and the mass fraction of iridium is 10 %. The masses of 1 kg secondary standards of the same alloy or of stainless steel are compared with the mass of the international prototype by means of balances with a relative uncertainty approaching 1 part in 10^9.</p> <p>The mass of the international prototype increases by approximately 1 part in 10^9 per year due to the inevitable accumulation of contaminants on its surface. For this reason, the CIPM (Comité International des Poids et Mesures) declared that, pending further research, the reference mass of the international prototype is that immediately after cleaning and washing by a specified method (PV, 1989, 57, 104-105 and PV, 1990, 58, 95-97). The reference mass thus defined is used to calibrate national standards of platinum-iridium alloy (Metrologia, 1994, 31, 317-336).</p> <p style="text-align: right;">4</p>

In the case of stainless-steel 1 kg standards, the relative uncertainty of comparisons is limited to about 1 part in 10^8 by the uncertainty in the correction for air buoyancy. The results of comparisons made in vacuum, though unaffected by air buoyancy, are subject to additional corrections to account for changes in mass of the standards when cycled between vacuum and atmospheric pressure.

Mass standards representing multiples and submultiples of the kilogram can be calibrated by a conceptually simple procedure.

Slutsats: det räcker oftast med några få siffror.

5

Att förstå sitt problem

Ett generaliserat egenvärdesproblem: $Ax = \lambda Bx$.
 A och B är stora och glesa matriser.

Saab: Ditt program gör fel. Vi får olika egenvärden varje gång.

$$A = \begin{bmatrix} 2 & 0 \\ 0 & 0 \end{bmatrix}, \quad B = \begin{bmatrix} 1 & 0 \\ 0 & 0 \end{bmatrix}$$

Vi ser att

$$\begin{bmatrix} 2 & 0 \\ 0 & 0 \end{bmatrix} \begin{bmatrix} 1 \\ 0 \end{bmatrix} = 2 \begin{bmatrix} 1 & 0 \\ 0 & 0 \end{bmatrix} \begin{bmatrix} 1 \\ 0 \end{bmatrix}$$

men

$$\begin{bmatrix} 2 & 0 \\ 0 & 0 \end{bmatrix} \begin{bmatrix} 0 \\ 1 \end{bmatrix} = \lambda \begin{bmatrix} 1 & 0 \\ 0 & 0 \end{bmatrix} \begin{bmatrix} 0 \\ 1 \end{bmatrix}$$

för varje komplext tal λ . Singulärt matrsknippe.

Låt oss störa matriserna:

$$A = \begin{bmatrix} 2 & \epsilon \\ \epsilon & 0 \end{bmatrix}, \quad B = \begin{bmatrix} 1 & \delta \\ \delta & 0 \end{bmatrix}$$

Sekularekvationen, $\det(A - \lambda B) = 0$, blir:

$$(\delta\lambda - \epsilon)^2 = 0$$

så att det dubbla egenvärdet är $\lambda = \epsilon/\delta$ för alla $\delta \neq 0$ och ϵ oavsett hur små de är.

6

```
>> A % Ett linjärt ekvationssystem
A =
-0.1537  0.8538  0.6535  0.1342
 0.6678 -0.1268 -0.1732 -0.1248
 1.5560 -1.0140 -1.0986 -0.5522
-0.1248  0.0686  0.3664  0.3467

>> b
b =
  0.2042
 -0.1849
 -0.0358
 -0.9607

>> x = A \ b % lös A x = b
x =
 -0.7033
  1.4745
 -1.4029
 -1.8333

>> f % mätfel kanske
f =
  1.0e-10 * % OBS: 1e-10
   0.3399
  -0.8218
   0.4035
   0.2154

>> A \ (b + f)
ans =
  1.0e+04 * % OBS: 1e4
  -0.1257
  -2.1861
   3.5091
  -3.3217
```

7

Mål med kursen: numerisk allmänbildning.

Kunna svara på frågor som (för några problemklasser):

- Hur fungerar numeriska algoritmer?
- Hur ser typisk numerisk programvara ut?
- Vilka typer av problem, inom problemklassen, är möjliga att lösa?
- Är problemet svårt eller enkelt?
- Vilken programvara kan jag välja bland?
- Kan jag litा på resultatet?
- Tog beräkningen rimlig tid?
- Gick det åt för mycket minne?
- Hur stort problem av denna typ kan jag lösa?

Målet är inte att Du skall kunna skriva numerisk programvara. Vi kommer att studera principer, inte verkliga implementationer eftersom dessa är alltför tekniskt komplicerade.

8

<p style="text-align: center;">Kursinnehåll</p> <p>1. Konditionstal, stabilitet 2. Flyttalsaritmetik 3. $Ax = b$ 4. Minstakvadratproblem 5. System av icke linjära ekvationer 6. Interpolation 7. Kvadratur 8. Ordinära differentialekvationer 9. HPC (High Performance Computing)</p> <p>Laborationer:</p> <p>1. Flyttalsaritmetik, $Ax = b$ 2. Minstakvadratproblem samt $f(x) = 0$ 3. Kvadratur och ODE</p> <p>ODE-avsnittet kan vara av intresse för fysikerlinjens studenter redan nu (var det 2009 i alla fall).</p>	<p style="text-align: center;">Diverse felkällor</p> <p>Fel som vi som numeriker inte kan göra så mycket åt</p> <ul style="list-style-type: none"> • modellfel, bortser från luftmotstånd, friktion • mätfel, vägar etc. är inte exakta mellanavrundningar <p>Vi är intresserade av olika typer av beräkningsfel:</p> <p>Avrundningsfel:</p> <pre>>> 49 * (1 / 49) - 1 ans = -1.1102e-16</pre> <p>Trunkeringsfel : $e^x \approx \sum_{k=0}^N \frac{x^k}{k!}$</p> <p>Diskretiseringfel : $f'(x) \approx \frac{f(x+h) - f(x)}{h}$</p> <p>Viktigt att välja "lagom stort" h.</p>
9	10
<p style="text-align: center;">Om stort och smått</p> <p>Låt \hat{x} vara en approximation av det exakta värdet x.</p> <ul style="list-style-type: none"> • absoluta felet = $\hat{x} - x$ • relativ felet = $\frac{\hat{x}-x}{x}$, om $x \neq 0$ <p>Absoluta fel är ointressanta om vi inte vet ungefär hur stort x är.</p> <p>Är 1.4 ett stort absolut fel? Ja, om det exakta värdet är 2, men inte om det exakta värdet är 10^9. De relativna feleten är 0.7 respektive $1.4 \cdot 10^{-9}$.</p> <p>På samma sätt kan det absoluta felet 10^{-20} vara stort eller litet. Det är viktigt att känna till problemets <u>skalning</u>. Vilken storleksordning har de tal vi arbetar med?</p> <p>Relativna fel säger något även om vi inte känner till problemets skalning. Vi kommer därför att vara mer intresserade av relativna fel än av absoluta fel.</p>	<p style="text-align: center;">Tema: nollställen till polynom</p> <p>Beräkna rötterna till $(x-1)^5 = 0$ i Matlab (där vi räknar med 16 siffror). Matlab vill ha en vektor med koefficienter:</p> $(x-1)^5 = x^5 - 5x^4 + 10x^3 - 10x^2 + 5x - 1$ <pre>>> r = roots([1 -5 10 -10 5 -1]) % koefficienter</pre> <pre>r = 1.0008 + 0.0006i % rötterna 1.0008 - 0.0006i 0.9997 + 0.0009i 0.9997 - 0.0009i 0.9990</pre> <pre>>> abs(r - 1) % felet? ans = 1.0e-03 * 0.9625 0.9625 0.9625 0.9625 0.9625</pre> <p>Varför? Lös</p> $(x-1)^5 = \epsilon \Rightarrow x = 1 + \epsilon^{1/5}$ <p><u>Om $\epsilon = 10^{-15}$ så är $\epsilon^{1/5} = 10^{-3}$. Nollställena till polynomet $(x-1)^5$ är tydligent känsliga för störningar i koefficienterna.</u></p>
11	12

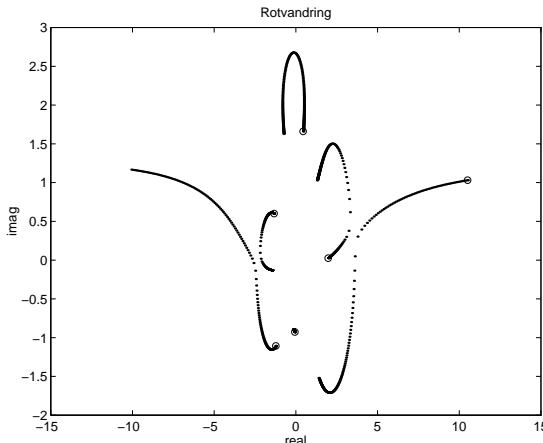
Är det alltid svårt att beräkna nollställen?

```
>> c = [1 -15 85 -225 274 -120]; % koefficienter
>> r = roots(c); % de exakta röttena = 1, 2, 3, 4, 5
>> fel = sort(r) - (1:5)'
fel =
-4.9960e-15
6.6613e-14
-1.5010e-13
9.6811e-14
-8.8818e-16
```

Rötter hos ett komplext 6-egradspolynom när vi stör x^5 -termen.

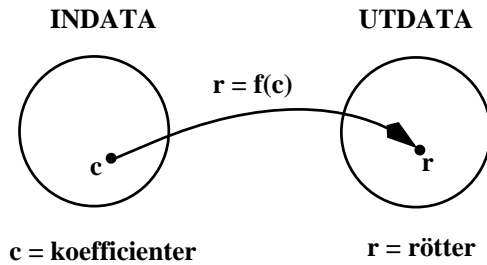
$$x^6 + (c_5 + k \delta)x^5 + \dots + c_0, \quad k = 0, 1, 2, 3 \dots$$

Ringarna visar rötternas begynnelsepositioner, $k = 0$.

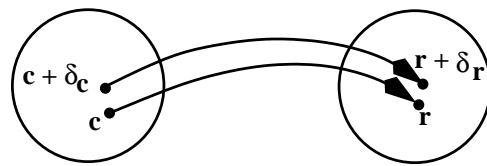


13

Vi kan betrakta rötterna som funktioner av koefficienterna.



Vad händer när vi stör koefficienterna (indata i det allmänna fallet)? Det är viktigt att känna till om vårt problem är känsligt eller ej.



Om liten relativ ändring av indata ger en liten relativ ändring av resultaten säger man att det aktuella problemet är välkonditionerat. Om resultatet ändrar sig mycket är problemet illakonditionerat.

14

Konditionstalet är kvoten mellan de relativna förändringarna, dvs.

$$\boxed{\text{konditionstalet} = \frac{|\delta_r|/|r|}{|\delta_c|/|c|}}$$

Att beräkna konditionstalet är inte alltid möjligt; det kan vara lika svårt som att lösa det egentliga problemet. För vissa problemtyper är det överkomligt. Ibland är det dock möjligt att konstruera en uppskattning κ så att

$$\frac{|\delta_r|}{|r|} \leq \kappa \frac{|\delta_c|}{|c|}$$

Det räcker att känna till storleksordning på κ .
Är $\kappa \approx 10$ eller är $\kappa \approx 10^8$?

Exempel:

Hur känsliga är rötterna, till ekvationen $x^2 + ax + b = 0$, för ändringar i a och b ?

Rötterna r_1 och r_2 är funktioner av a och b ; $r_1(a, b)$, $r_2(a, b)$.

Låt r beteckna en av rötterna och låt $r + \delta_r$ beteckna den störda roten när vi ändrar koefficienterna med δ_a respektive δ_b . Vi har sambandet:

$$(r + \delta_r)^2 + (a + \delta_a)(r + \delta_r) + b + \delta_b = 0$$

Detta kan skrivas

$$\underbrace{r^2 + ar + b}_{0} + \delta_r(2r + a) + \delta_a r + \delta_b + \underbrace{\delta_r^2 + \delta_a \delta_r}_{\approx 0} = 0$$

Vi får det approximativa sambandet:

$$\delta_r \approx -\frac{\delta_a r + \delta_b}{2r + a} \Rightarrow |\delta_r| \lesssim \frac{|\delta_a r| + |\delta_b|}{|2r + a|}$$

Eftersom r_1 och r_2 är rötter så gäller att:

$$\frac{(x - r_1)(x - r_2)}{x^2 - (r_1 + r_2)x + r_1 r_2} \equiv x^2 + ax + b \Rightarrow -(r_1 + r_2) = a$$

alltså är $2r_1 + a = r_1 - r_2$, gapet. Låt $g = |r_1 - r_2|$, då gäller:

$$|\delta_r| \lesssim \frac{|\delta_a r| + |\delta_b|}{g}$$

Slutligen vill vi ha relativ störningar:

$$\frac{|\delta_r|}{|r|} \lesssim \frac{1}{|r|} \left[\frac{|r||a||\delta_a|}{g} + \frac{|b||\delta_b|}{g|b|} \right] \leq \underbrace{\frac{|a| + |b/r|}{g}}_{\approx \text{konditionstalet}} \max \left[\frac{|\delta_a|}{|a|}, \frac{|\delta_b|}{|b|} \right]$$

Observera att detta är en uppskattning av konditionstalet. Det är inte heller beräkningsbart eftersom vi måste känna r_1 och r_2 . I praktiken kan man (kanske) uppskatta r_1 och r_2 med de beräknade rötterna. En viktig lärdom är att vi nu vet att gapet mellan rötterna är viktigt.

15

16

Bakåtanalys

Vi har sett s.k. framåtanalys: givet δ_c vad blir

$$f(c + \delta_c) - f(c)$$

Detta kan, som vi har sett, ge väldigt pessimistiska svar.

Ett alternativ är följande: givet approximationen \hat{r} till det exakta värdet r hur mycket måste vi ändra c för att \hat{r} skall bli en exakt lösning till det störda problemet? Vi söker alltså δ_c sådant att

$$f(c + \delta_c) = \hat{r}$$

Man kallar detta bakåtanalys. Detta på grund av att vi tittar på indatasidan i stället för på resultatsidan.

Exempel: Låt

$$p(x) = (x - 1)(x - 1.0001) = x^2 - 2.0001 x + 1.0001$$

Vi vet sedan tidigare att konditionstalet har storleksordningen $1/(1.0001 - 1) = 10^4$.

Antag att vi på något sätt har producerat de dåliga approximativa rötterna 1.11 och 0.895. De relativära felet är ungefärlig 11%.

Det störda polynomet (som har rötterna 1.11 och 0.895) är:

$$(x - 1.11)(x - 0.895) = x^2 - 2.005x + 0.99345 \Rightarrow \begin{cases} |\delta_a| \leq 5 \cdot 10^{-3} \\ |\delta_b| \leq 7 \cdot 10^{-3} \end{cases}$$

Detta innebär att vi har löst "nästan rätt problem"; vi har gjort ett relativt bra jobb med att beräkna rötterna. Att våra rötter är dåliga approximationer beror på att problemet är illakonditionerat.

17

Stabila algoritmer

Man kan ofta lösa ett beräkningsproblem på olika sätt.

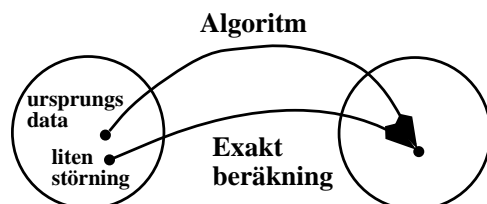
$$x^2 + ax + b = 0 \text{ har rötterna } -\frac{a}{2} \pm \sqrt{\left(\frac{a}{2}\right)^2 - b}$$

Får vi ett bra program om vi skriver in ovanstående formler i kod? Nej, inte alltid. I en dator räknar vi med begränsat antal siffror. Om a är mycket större än b så kanske inte b kommer med när vi beräknar $(\frac{a}{2})^2 - b$. Detta svarar mot att $b = 0$ så att en beräknad rot blir noll. I detta fall är gapet stort så att rötterna är välvridna.

Det är algoritmen det är fel på! Det är i allmänhet ingen bra idé att kopiera formler direkt ur böcker.

Det finns bättre algoritmer; se övningarna.

En stabilt algoritm genererar resultat som är exakta för ett lite stört problem.

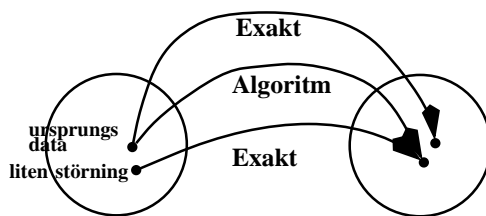


18

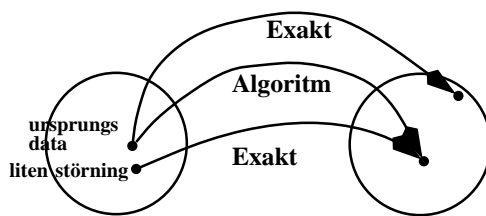
Om vi löser ett problem med en stabil algoritm får vi då ett resultat med ett litet fel?

Det beror på om det lilla bakåtfellet förstoras eller ej.

Välvridna problem + stabil algoritm \Rightarrow litet fel i resultatet.



Om vi applicerar en stabil algoritm på ett illakonditionerat problem löser algoritmen fortfarande nästan rätt problem. Det lilla felet i indata kan dock ge upphov till ett stort fel i resultatet.



Flyttalsaritmetik

Flyttal (tal med flytande decimalpunkt):

$$x = \pm \left(d_0 + \frac{d_1}{\beta} + \frac{d_2}{\beta^2} + \dots + \frac{d_{t-1}}{\beta^{t-1}} \right) \beta^e, \quad 0 \leq d_k \leq \beta - 1, \quad L \leq e \leq U$$

β bas (vi kommer att ha $\beta = 2$)

t precision

$[L, U]$ exponentomfång

$d_0 d_1 \dots d_{t-1}$ mantissa

IEEE 754 (Institute of Electrical and Electronics Engineers, Inc.) definierar enkel och dubbel precision (bland annat).

Vi antar att $\beta = 2$ från och med nu:

bas	t	L	U	
2	24	-126	127	32 bitar
2	53	-1022	1023	64 bitar

Ett tal $\neq 0$ är normaliserat om $d_0 \neq 0$.

Om $\beta = 2$ så är $d_0 = 1$ varför man inte lagrar d_0 .

I minnet lagras ett 64-bitars flyttal med en teckenbit, en exponent till vilken man adderar 1023 (för att slippa tecknen på exponenten bl.a), samt mantissen (utom den inledande ettan).

Exempel: -3.25 är $(-1)^1 \cdot 1.101 \cdot 2^1$ i binär form.

Teckenbiten är ett, exponenten (ett) lagras som $1 + 1023 = 2^{10}$ och av mantissen lagrar vi 101, varför vi bör hitta följande bitar i minnet:

1 100 0000 0000 1010 0000 ... 0000 0000
s exponent 11 bitar mantissa 52 bitar lagras

Hexadecimalt (bas 16) gruppera fyra bitar / hex-siffra

c00a000000000000 (a <-> 1010, c <-> 1100)

a=10, b=11, c=12, d=13, e=14 och f=15.

19

20

I Matlab

```
>> format hex
>> -3.25
ans = c00a000000000000
```

Det finns speciella bitformat för diverse specialfall, t.ex.:

```
>> [0, -0]
ans = 0000000000000000 8000000000000000
```

Antalet olika tal är: $2(\beta - 1)\beta^{t-1}(U - L + 1) + 1$
 dvs $4.2614 \cdot 10^9$ i enkel precision och $1.8429 \cdot 10^{19}$ i dubbel.
 Att testa en funktion för alla flyttal i dubbel precision är nästan omöjligt. 10^9 tester per sekund ger 584.4 år.

Minsta positiva representerbara normaliserade talet $= 2^L \approx 1.17 \cdot 10^{-38}$ i enkel och $\approx 2.2 \cdot 10^{-308}$ i dubbel.

Det största representerbara talet har största exponenten och ettor i hela mantissan. I enkel precision $\approx 3.4 \cdot 10^{38}$, i dubbel $1.8 \cdot 10^{308}$. Tal större än denna gräns ger overflow.

```
>> 1e-200^2      % e har INGET med exp att göra
ans = 0           % underflow

>> 1e200^2       % overflow
ans = Inf         % Infinity

>> log(0)
ans = -Inf        % -Infinity

>> sin(1/0)
ans = NaN          % Not a Number
```

21

Ett enkelt talsystem med $\beta = 2, t = 4, L = -3, U = 3$.



Samma system inzoomat kring nollan.



Att lägga märke till: ett minsta positivt tal, ett största tal, ej kontinuerligt, grupperat, gap kring nollan, ökande avstånd mellan talen.

Vad är avståndet, gapet, mellan två grannar?

Det absoluta gapet ökar med talets storlek.

I dubbel precision är det absoluta gapet $\approx 2.2 \cdot 10^{-16}$ kring ettan, men $\approx 2 \cdot 10^{292}$ kring overflowgränsen.

Den relativa skillnaden, gapet dividerat med talet, varierar något med talet, men är ungefär $1.1 \cdot 10^{-16}$ till $2.2 \cdot 10^{-16}$ i dubbel precision.

Vi räknar med ungefär 16 decimala decimaler i dubbel precision.

22

Exempel:

för vilka $k \geq 0$ kan 10^k lagras exakt i dubbel precision?

10^{22} kan representeras exakt.

10^{23} lagras som 9999999999999991611392.

Det absoluta felet verkar "stort":

$$9999999999999991611392 - 10^{23} = -8388608.$$

Det är nu inte så farligt som det verkar, eftersom det relativata felet är:

$$8388608/10^{23} \approx 8.3 \cdot 10^{-17}.$$

Negativa exponenter är "svårare", 0.1 kan t.ex. inte lagras exakt i binärt format med ändlig mantissa.

$$\sum_{k=1}^{\infty} \left[\frac{1}{2^{4k}} + \frac{1}{2^{4k+1}} \right] = \frac{3}{2} \sum_{k=1}^{\infty} \frac{1}{2^{4k}} = \frac{3}{2} \sum_{k=1}^{\infty} \frac{1}{16^k} = \frac{3}{2} \frac{1}{16} \frac{1}{1 - 1/16} = 0.1$$

varför den binära framställningen av 0.1 kan skrivas;

$$0.00011001100110011001\dots$$

Detta är inget konstigt. $1/3 = 0.3333\dots$ i basen 10 men 0.1 i basen 3.

Om x är ett godtyckligt reellt tal betecknar vi det avrundade flyttal med $fl(x)$ (floating). Normalt (kan ändras) är $fl(x)$ det flyttal som ligger närmast x .

Exempel: Låt oss anta att vi räknar decimalt med fyra siffror. $fl(\pi) = fl(3.141592653589\dots) = 3.142$. $fl(31415926.53589\dots) = 3.142 \cdot 10^7$.

Hur stort kan det absoluta felet bli vid avrundning till närmaste flyttal? Maximalt en halv enhet i fjärde siffran. Så om vårt tal är $\pm s_1.s_2s_3s_4\dots \cdot 10^e$ (där s_1, s_2, \dots betecknar decimala siffror) är absolutbeloppet av absoluta felet maximalt $0.0005 \cdot 10^e$.

Relativata felet är maximalt (för ett normaliserat tal)

$$\left| \frac{fl(x) - x}{x} \right| \leq \frac{0.0005 \cdot 10^e}{1.0000\dots \cdot 10^e} = 0.0005$$

Denna begränsning kallas relativata maskinnoggrannheten och betecknas med ϵ_{mach} . Denna kvantitet består av hur många siffror vi har i mantissan. Många siffror ger ett litet ϵ_{mach} .

Observera att ϵ_{mach} INTE HAR NÅGOT med exponentomfåget att göra (hur stora eller små tal vi kan arbeta med). Exponentomfåget ges ju av parametrarna L, U .

Om vi antar att vi räknar decimalt och $U = 100$ är det största talet vi kan lagra $9.999 \cdot 10^{100}$.

Om $L = -100$ är det minsta positiva representerbara talet $1.000 \cdot 10^{-100}$. Det minsta representerbara talet är INTE 0.0005 .

I dubbel gäller att $\epsilon_{mach} = \frac{1}{2^t} \approx 1.11 \cdot 10^{-16}$ (16 siffrorna!) och i enkel precision $\epsilon_{mach} \approx 6 \cdot 10^{-8}$.

23

24

Vi kan skriva

$$\left| \frac{fl(x) - x}{x} \right| \leq \epsilon_{mach}$$

på ett annat sätt. Det gäller att:

$$fl(x) = (1 + \epsilon)x = x + \epsilon x \text{ med } |\epsilon| \leq \epsilon_{mach}$$

OBS OLIKA ϵ .

Vår för gäller detta? Antag $x \neq 0$.

$$fl(x) = (1 + \epsilon)x \Leftrightarrow fl(x) - x = \epsilon x \Rightarrow \underbrace{\left| \frac{fl(x) - x}{x} \right|}_{\leq \epsilon_{mach}} = |\epsilon|$$

OK även om $x = 0$ ty $fl(0) = 0$.

Enligt IEEE skall en enstaka $+$, $-$, $*$, $/$ avrundas korrekt.
Låt \otimes beteckna någon av dessa operationer och låt x och y vara två flyttal. Då gäller att:

$$fl(x \otimes y) = (1 + \epsilon)(x \otimes y) = x \otimes y + \epsilon(x \otimes y), \quad |\epsilon| \leq \epsilon_{mach}$$

förutsatt att vi inte får **Inf** eller **NaN**.

Beloppet av absoluta felet vi denna beräkning är alltså:

$$|fl(x \otimes y) - (x \otimes y)| = |\epsilon(x \otimes y)| \leq \epsilon_{mach}|x \otimes y|$$

och det relativia felet (om $x \otimes y \neq 0$):

$$\left| \frac{fl(x \otimes y) - (x \otimes y)}{x \otimes y} \right| = |\epsilon| \leq \epsilon_{mach}$$

25

Några vanliga problem med flyttalsräkning:

Utskifting

Antag att vi räknar i dubbel precision:

```
>> a = 1e16;
>> b = a; % spara
>> a = a + 1
a = 1.000000000000000e+16
```

$a - b$

ans = 0

ger ingen förändring, ettan "trillar över kanten".

```
>> a = 1e16;
>> a = a + 123
a = 1.00000000000000012e+16
>> a - b
ans = 124
```

Inte hela 123 kommer med.

Man bör undvika att addera eller subtrahera tal av mycket olika storleksordning.

$a + (b + c)$ behöver inte vara lika med $(a + b) + c$.
En kompilator får inte optimera för mycket.

```
>> 1 + (1e16 + (-1e16))
ans = 1
>> (1 + 1e16) + (-1e16)
ans = 0
```

26

Kancellation - subtraktion av två nästan lika stora tal

Antag att vi subtraherar följande två tal:

```
1.03678947f f betecknar ett fel, en osäker siffra
1.03678935g g betecknar ett fel, en osäker siffra
-----
0.00000012t t nytt fel
```

I de två första talen kommer felet i tionde siffran. I skillnaden finns felet redan i tredje siffran. Vi har alltså mycket större relativ osäkerhet i skillnaden än i någon av de ingående termerna. Vi känner alltså termerna mycket bättre än skillnaden; vi har förlorat information.

Vi får denna osäkerhet även om vi utför subtraktionen exakt.

Ett fl-exempel

Antag att a , b och c är (redan avrundade) flyttal och att vi vill beräkna $a + bc$. Vi får införa en ϵ -term för varje räkneoperation:

$$fl(a+bc) = fl(a+fl(bc)) = fl(a+bc(1+\epsilon_1)) = (a+bc(1+\epsilon_1))(1+\epsilon_2)$$

där $|\epsilon_k| \leq \epsilon_{mach}$, $k = 1, 2$. Så, om vi multiplicerar ihop faktorerna

$$fl(a+bc) = a + bc + b\epsilon_1 + (a+bc)\epsilon_2 + bc\epsilon_1\epsilon_2 \Rightarrow$$

$$|fl(a+bc) - (a+bc)| = |bc\epsilon_1 + (a+bc)\epsilon_2 + bc\epsilon_1\epsilon_2|$$

Vi kan nu ge en övre begränsning av det absoluta felet:

$$|fl(a+bc) - (a+bc)| \leq |bc|\epsilon_{mach} + |a+bc|\epsilon_{mach} + |bc|\epsilon_{mach}^2 = ((1 + \epsilon_{mach})|bc| + |a+bc|)\epsilon_{mach}$$

För det relativia felet observerar vi (om $a + bc \neq 0$):

$$\frac{|fl(a+bc) - (a+bc)|}{|a+bc|} \leq \frac{(1 + \epsilon_{mach})|bc| + |a+bc|}{|a+bc|}\epsilon_{mach} = \left[\frac{(1 + \epsilon_{mach})|bc|}{|a+bc|} + 1 \right] \epsilon_{mach}$$

27

Så det relativia felet är litet om $|bc/(a+bc)|$ inte är för stort. Om däremot $bc \approx 1$, $a+bc \approx 0$, till exempel, kan vi få ett stort relativt fel.

Observera att ett uttryck som $|a\epsilon_1 - b\epsilon_2| \leq (|a| + |b|)\epsilon_{mach}$ även om a och b har samma tecken (ϵ_1 och ϵ_2 kan ju ha olika tecken). Att uppskatta $|(a+b)\epsilon_1| \leq (|a| + |b|)\epsilon_{mach}$ är dock onödigt pessimistiskt, ty a och b kan ju ha olika tecken (notera att det är samma ϵ_1 för båda termerna).

Om man inte kräver en strikt gräns utan endast en uppskattning kan man tillåta sig att slänga t.ex. $\epsilon_1\epsilon_2$ -termer (produkter av termer) ty $\epsilon_{mach}^2 \ll \epsilon_{mach}$. Du kan läsa mer om hur man förenklar sådana och andra ϵ -uttryck på sista sidan i övningsmaterialet.

För att se att analysen stämmer rätt bra kommer här ett numeriskt exempel i fyrsiffrig decimal aritmetik:

$$a = 10.70, b = -4.567, c = 2.344. a + bc = -0.005048, \text{ exakt.}$$

$$fl(a + bc) = fl(a + fl(bc)), bc = -10.705048$$

Eftersom $fl(bc) = -10.71$ får vi $fl(a + (-10.71)) = -0.010$. Beloppet av absoluta felet är $|-0.010 - (-0.005048)| = 0.004952$.

Notera att detta fel är ungefärligt lika stort som det exakta värdet. Det relativia felet är

$$\frac{0.004952}{0.005048} \approx 0.98.$$

Relativa maskinnoggrannheten, som är 0.0005, har alltså förstorats 0.98/0.0005, en faktor 2000. Vi har inte en siffra rätt i resultatet. Förstoringsfaktorn 2000 stämmer väl med vår analys, som ger:

$$\frac{(1 + \epsilon_{mach})|bc|}{|a+bc|} + 1 \approx 2123$$

28

Om vi byter tecken på b , så får vi ingen kancellation, och beräknar en mycket bra approximation av det exakta värdet.

$$a = 10.70, b = +4.567, c = 2.344. a + bc = 21.405048 \text{ exakt.}$$

$$fl(a + bc) = fl(a + fl(bc)), bc = 10.705048$$

så

$$fl(bc) = 10.71, \text{ och } fl(a + 10.71) = 21.41,$$

som är ett korrekt avrundat värde av det exakta resultatet.

Det relativa felet är

$$\frac{21.41 - 21.405048}{21.405048} \approx 2.3 \cdot 10^{-4} = 0.46 \epsilon_{mach}$$

Även detta result stämmer väl med vår uppskattning som ger värde 0.5 (ungefärl).

Talsystemet igen:



Lucka kring nollan. Offera "decimaler" för att få större exponentomfäng. Vi använder denormaliserade eller subnormala tal.

`1.010010011100 ... * 2^e` normaliserat
`0.000010100011 ... * 2^{(-1022)}` denormaliserat

Har färre bitar i mantissen. Man talar om "gradual underflow".



29

Matrisfaktoriseringar

Vanligt i tillämpningar och teoretiskt arbete att skriva matriser som produkter av andra matriser (kallas matrisfaktoriseringar eller uppdelningar). Några exempel illustrerade med små "kryssmatriser":

$$\underbrace{\begin{bmatrix} \times & \times & \times \\ \times & \times & \times \\ \times & \times & \times \end{bmatrix}}_A = \underbrace{\begin{bmatrix} \times & 0 & 0 \\ \times & \times & 0 \\ \times & \times & \times \end{bmatrix}}_L \underbrace{\begin{bmatrix} \times & \times & \times \\ 0 & \times & \times \\ 0 & 0 & \times \end{bmatrix}}_U$$

L för "Lower triangular", undertriangulär och U för "Upper triangular", övertriangulär.

Kallas LU-faktorisering. Används för att lösa $Ax = b$ -problem. Matlab-kommando `lu`.

För att approximativt lösa överbestämda ekvationssystem (minstakvadratproblem) använder vi QR-faktorisering (`qr` i Matlab).

$$\underbrace{\begin{bmatrix} \times & \times & \times \\ \times & \times & \times \end{bmatrix}}_A = \underbrace{\begin{bmatrix} \times & \times & \times \\ \times & \times & \times \end{bmatrix}}_Q \underbrace{\begin{bmatrix} \times & \times & \times \\ 0 & \times & \times \\ 0 & 0 & \times \end{bmatrix}}_R$$

där Q är ortogonal, dvs. $Q^T Q = I$.

30

Om A är en sk diagonalisierbar matris kan vi använda Matlabs `eig`-kommando för att beräkna:

$$\underbrace{\begin{bmatrix} \times & \times & \times \\ \times & \times & \times \\ \times & \times & \times \end{bmatrix}}_A = \underbrace{\begin{bmatrix} \times & \times & \times \\ \times & \times & \times \\ \times & \times & \times \end{bmatrix}}_X \underbrace{\begin{bmatrix} \lambda_1 & 0 & 0 \\ 0 & \lambda_2 & 0 \\ 0 & 0 & \lambda_3 \end{bmatrix}}_\Lambda \underbrace{\begin{bmatrix} \times & \times & \times \\ \times & \times & \times \\ \times & \times & \times \end{bmatrix}}_{X^{-1}}$$

$\lambda_1, \lambda_2, \lambda_3$ är A :s egenvärden och de tre kolonerna i X är motsvarande egenvektorer. Om A är en reell och symmetrisk matris så kan egenvektorerna väljas ortonormerade varför X är ortogonal och $X^{-1} = X^T$.

Singuläravärdesfaktoriseringen (i Matlab `svd`) är en slags generalisering av egenvärdesuppdelening till ickekvadratiska matriser.

$$\underbrace{\begin{bmatrix} \times & \times & \times \\ \times & \times & \times \\ \times & \times & \times \end{bmatrix}}_A = \underbrace{\begin{bmatrix} \times & \times & \times & \times & \times \\ \times & \times & \times & \times & \times \\ \times & \times & \times & \times & \times \\ \times & \times & \times & \times & \times \\ \times & \times & \times & \times & \times \end{bmatrix}}_U \underbrace{\begin{bmatrix} \sigma_1 & 0 & 0 \\ 0 & \sigma_2 & 0 \\ 0 & 0 & \sigma_3 \end{bmatrix}}_\Sigma \underbrace{\begin{bmatrix} \times & \times & \times \\ \times & \times & \times \\ \times & \times & \times \end{bmatrix}}_{V^T}$$

där $U^T U = I$, $V^T V = I$ och $\sigma_1 \geq \sigma_2 \geq \sigma_3 \geq 0$. Faktoriseringen existerar även för liggande matriser.

I numerisk analys har man dessutom varianter av en faktorisering beroende på matrisens egenskaper. Detta för att spara datorminne och beräkningstid.

Några exempel för LU-faktoriseringen.

Om A är symmetrisk, $A^T = A$, så behövs halva minnet och beräkningstiden. Om A dessutom är positivt definit (positiva egenvärden) kan man förenkla metoden ytterligare.

Det finns motsvarande varianter om matrisen är komplex.

- $A^H = A$, A är Hermitsk ($A^H = \bar{A}^T$)
- $A^T = A$, A är komplexsymmetrisk

Många element i en matris kan vara noll, en gles matris. Detta kan man utnyttja för att spara minne och beräkningstid. Det är viktigt eftersom glesa matriser brukar vara stora, med en dimension om $10^4 - 10^6$ kanske. Ett specialfall av en gles matris är en sk bandmatris, här två små exemplen:

$$\begin{bmatrix} \times & \times & \times & 0 & 0 \\ \times & \times & \times & 0 & 0 \\ 0 & \times & \times & \times & 0 \\ 0 & 0 & \times & \times & 0 \\ 0 & 0 & 0 & \times & 0 \end{bmatrix} \quad \begin{bmatrix} \times & \times & 0 & 0 & 0 \\ \times & \times & 0 & 0 & 0 \\ 0 & \times & \times & 0 & 0 \\ 0 & 0 & \times & \times & 0 \\ 0 & 0 & 0 & \times & 0 \end{bmatrix}$$

Den högra matrisen är ett exempel på en sk tridiagonal matris. Den kan vara osymmetrisk, symmetrisk, symmetrisk positivt definit, Hermitsk, komplexsymmetrisk etc. Dessutom brukar det finnas stöd för enkel- och dubbel precision liksom för komplex och dubbel komplex.

Man inser att det kan bli många varianter av LU-faktoriseringen (många olika rutiner i programbiblioteken, t.ex. Lapack).

31

32

LU-faktorisering

Now [let] there be

hemp 1 dōu, wheat 3 dōu, beans 2 dōu, peas 8 dōu, millet 5 dōu, worth 95 coins.

hemp 2 dōu, wheat 5 dōu, beans 3 dōu, peas 9 dōu, millet 4 dōu, worth 112 coins;

hemp 3 dōu, wheat 5 dōu, beans 7 dōu, peas 6 dōu, millet 4 dōu, worth 116 coins;

hemp 7 dōu, wheat 6 dōu, beans 4 dōu, peas 5 dōu, millet 3 dōu, worth 128 coins;

hemp 9 dōu, wheat 7 dōu, beans 3 dōu, peas 2 dōu, millet 5 dōu, worth 140 coins;

Question: how much is 1 dōu [of each] worth?

The answer says:

hemp 1 dōu 7 coins,

wheat 1 dōu 4 coins,

beans 1 dōu 3 coins,

peas 1 dōu 5 coins,

millet 1 dōu 6 coins.

En dōu \approx 2 liter.

Detta exempel är hämtat ur kapitel 8 i den cirka 2000 år gamla boken "The Nine Chapters on the Mathematical Art (Jiuzhang Suanshu)" Boken behandlar 246 problem i 9 kapitel. Boken är den mest betydelsefulla kinesiska matematiska klassikern.

$$\begin{bmatrix} 1 & 3 & 2 & 8 & 5 \\ 2 & 5 & 3 & 9 & 4 \\ 3 & 5 & 7 & 6 & 4 \\ 7 & 6 & 4 & 5 & 3 \\ 9 & 7 & 3 & 2 & 5 \end{bmatrix} \begin{bmatrix} h \\ w \\ b \\ p \\ m \end{bmatrix} = \begin{bmatrix} 95 \\ 112 \\ 116 \\ 128 \\ 140 \end{bmatrix}$$

33

I Matlab:

```
>> x = A \ b
x =
    7.0000
    4.0000
    3.0000
    5.0000
    6.0000
```

Kineserna utnyttjar det som vi kallar Gausselimination (\approx 1800). Kombinera rader så att vi till slut har en triangulär matris.

$$\begin{bmatrix} 1 & 3 & 2 & 8 & 5 \\ 2 & 5 & 3 & 9 & 4 \\ 3 & 5 & 7 & 6 & 4 \\ 7 & 6 & 4 & 5 & 3 \\ 9 & 7 & 3 & 2 & 5 \end{bmatrix} x = \begin{bmatrix} 95 \\ 112 \\ 116 \\ 128 \\ 140 \end{bmatrix} \Leftrightarrow \begin{bmatrix} 1 & 3 & 2 & 8 & 5 \\ 0 & -1 & -1 & -7 & -6 \\ 0 & 0 & 5 & 10 & 13 \\ 0 & 0 & 5 & 54 & 58 \\ 0 & 0 & 5 & 70 & 80 \end{bmatrix} x = \begin{bmatrix} 95 \\ -78 \\ 143 \\ 633 \\ 845 \end{bmatrix}$$

$$\begin{bmatrix} 1 & 3 & 2 & 8 & 5 \\ 0 & -1 & -1 & -7 & -6 \\ 0 & 0 & 5 & 10 & 13 \\ 0 & 0 & 0 & 44 & 45 \\ 0 & 0 & 0 & 0 & 62/11 \end{bmatrix} \begin{bmatrix} x_1 \\ x_2 \\ x_3 \\ x_4 \\ x_5 \end{bmatrix} = \begin{bmatrix} 95 \\ -78 \\ 143 \\ 490 \\ 372/11 \end{bmatrix}$$

Vi löser det triangulära problemet med så kallad bakåtsubstitution:

$$\begin{aligned} x_5 &= (372/11)/(62/11) = 6 \\ x_4 &= (490 - 45x_5)/44 = 5 \\ x_3 &= (143 - 10x_4 - 13x_5)/5 = 3 \\ x_2 &= (-78 - (-1)x_3 - (-7)x_4 - (-6)x_5)/(-1) = 4 \\ x_1 &= (95 - 3x_2 - 2x_3 - 8x_4 - 5x_5)/1 = 7 \end{aligned}$$

34

Kan formulera eliminationen som en serie
matrismultiplikationer.

$$\underbrace{\begin{bmatrix} 1 & 0 & 0 & 0 & 0 \\ -2 & 1 & 0 & 0 & 0 \\ -3 & 0 & 1 & 0 & 0 \\ -7 & 0 & 0 & 1 & 0 \\ -9 & 0 & 0 & 0 & 1 \end{bmatrix}}_{L_1} \underbrace{\begin{bmatrix} 1 & 3 & 2 & 8 & 5 \\ 2 & 5 & 3 & 9 & 4 \\ 3 & 5 & 7 & 6 & 4 \\ 7 & 6 & 4 & 5 & 3 \\ 9 & 7 & 3 & 2 & 5 \end{bmatrix}}_A = \begin{bmatrix} 1 & 3 & 2 & 8 & 5 \\ 0 & -1 & -1 & -7 & -6 \\ 0 & 0 & 5 & 10 & 13 \\ 0 & -15 & -10 & -51 & -32 \\ 0 & -20 & -15 & -70 & -40 \end{bmatrix}$$

Elementen $-L_1(2 : 5, 1)$ (dvs. 2, 3, 7, 9) kallas multiplikatorer.

$$\underbrace{\begin{bmatrix} 1 & 0 & 0 & 0 & 0 \\ 0 & 1 & 0 & 0 & 0 \\ 0 & -4 & 1 & 0 & 0 \\ 0 & -15 & 0 & 1 & 0 \\ 0 & -20 & 0 & 0 & 1 \end{bmatrix}}_{L_2} \underbrace{\begin{bmatrix} 1 & 3 & 2 & 8 & 5 \\ 0 & -1 & -1 & -7 & -6 \\ 0 & 0 & 5 & 10 & 13 \\ 0 & -15 & -10 & -51 & -32 \\ 0 & -20 & -15 & -70 & -40 \end{bmatrix}}_U = \begin{bmatrix} 1 & 3 & 2 & 8 & 5 \\ 0 & -1 & -1 & -7 & -6 \\ 0 & 0 & 5 & 10 & 13 \\ 0 & 0 & 0 & 44 & 45 \\ 0 & 0 & 0 & 60 & 67 \end{bmatrix}$$

$$\underbrace{\begin{bmatrix} 1 & 0 & 0 & 0 & 0 \\ 0 & 1 & 0 & 0 & 0 \\ 0 & 0 & 1 & 0 & 0 \\ 0 & 0 & -1 & 1 & 0 \\ 0 & 0 & -1 & 0 & 1 \end{bmatrix}}_{L_3} \underbrace{\begin{bmatrix} 1 & 3 & 2 & 8 & 5 \\ 0 & -1 & -1 & -7 & -6 \\ 0 & 0 & 5 & 10 & 13 \\ 0 & 0 & 0 & 44 & 45 \\ 0 & 0 & 0 & 60 & 67 \end{bmatrix}}_U = \begin{bmatrix} 1 & 3 & 2 & 8 & 5 \\ 0 & -1 & -1 & -7 & -6 \\ 0 & 0 & 5 & 10 & 13 \\ 0 & 0 & 0 & 44 & 45 \\ 0 & 0 & 0 & 60 & 67 \end{bmatrix}$$

$$\underbrace{\begin{bmatrix} 1 & 0 & 0 & 0 & 0 \\ 0 & 1 & 0 & 0 & 0 \\ 0 & 0 & 1 & 0 & 0 \\ 0 & 0 & 0 & 1 & 0 \\ 0 & 0 & 0 & -15 & 1 \end{bmatrix}}_{L_4} \underbrace{\begin{bmatrix} 1 & 3 & 2 & 8 & 5 \\ 0 & -1 & -1 & -7 & -6 \\ 0 & 0 & 5 & 10 & 13 \\ 0 & 0 & 0 & 44 & 45 \\ 0 & 0 & 0 & 60 & 67 \end{bmatrix}}_U = \begin{bmatrix} 1 & 3 & 2 & 8 & 5 \\ 0 & -1 & -1 & -7 & -6 \\ 0 & 0 & 5 & 10 & 13 \\ 0 & 0 & 0 & 44 & 45 \\ 0 & 0 & 0 & 0 & 62/11 \end{bmatrix}$$

Vi får

$$L_4 L_3 L_2 L_1 A = U$$

eller

$$A = (L_4 L_3 L_2 L_1)^{-1} U$$

Vi noterar (se övningarna):

- L_k är inverterbar
- L_k^{-1} ser nästan ut som L_k

$$\begin{bmatrix} 1 & 0 & 0 & 0 \\ 0 & 1 & 0 & 0 \\ 0 & \alpha & 1 & 0 \\ 0 & \beta & 0 & 1 \end{bmatrix}^{-1} = \begin{bmatrix} 1 & 0 & 0 & 0 \\ 0 & 1 & 0 & 0 \\ 0 & -\alpha & 1 & 0 \\ 0 & -\beta & 0 & 1 \end{bmatrix}$$

- det är enkelt att multiplicera L_k -matriser:

$$\begin{aligned} L1 &= \begin{bmatrix} 1 & 0 & 0 & 0 \\ 2 & 1 & 0 & 0 \\ 3 & 0 & 1 & 0 \\ 4 & 0 & 0 & 1 \end{bmatrix} \\ L2 &= \begin{bmatrix} 1 & 0 & 0 & 0 \\ 0 & 1 & 0 & 0 \\ 0 & 0 & 1 & 0 \\ 0 & 0 & 0 & 1 \end{bmatrix} \end{aligned}$$

$$\begin{aligned} >> L1*L2 &= \begin{bmatrix} 1 & 0 & 0 & 0 \\ 2 & 1 & 0 & 0 \\ 3 & 20 & 1 & 0 \\ 4 & 30 & 0 & 1 \end{bmatrix} \\ >> L2*L1 &= \begin{bmatrix} 1 & 0 & 0 & 0 \\ 0 & 1 & 0 & 0 \\ 0 & 20 & 1 & 0 \\ 0 & 30 & 0 & 1 \end{bmatrix} \end{aligned}$$

35

36

Om vi sammantäcker allt detta får vi med andra ord

$$\underbrace{\begin{bmatrix} 1 & 3 & 2 & 8 & 5 \\ 2 & 5 & 3 & 9 & 4 \\ 3 & 5 & 7 & 6 & 4 \\ 7 & 6 & 4 & 5 & 3 \\ 9 & 7 & 3 & 2 & 5 \end{bmatrix}}_A = \underbrace{\begin{bmatrix} 1 & 0 & 0 & 0 & 0 \\ 2 & 1 & 0 & 0 & 0 \\ 3 & 4 & 1 & 0 & 0 \\ 7 & 15 & 1 & 1 & 0 \\ 9 & 20 & 1 & \frac{15}{11} & 1 \end{bmatrix}}_{L_1^{-1}L_2^{-1}L_3^{-1}L_4^{-1}} \underbrace{\begin{bmatrix} 1 & 3 & 2 & 8 & 5 \\ 0 & -1 & -1 & -7 & -6 \\ 0 & 0 & 5 & 10 & 13 \\ 0 & 0 & 0 & 44 & 45 \\ 0 & 0 & 0 & 0 & \frac{62}{11} \end{bmatrix}}_U$$

Detta kallas LU-uppdelning. L är undertriangulär och U övertriangulär.

För att konstruera L plockar vi alltså in multiplikatorerna från de olika L_k på respektive plats i L .

Vad är det för fördel med detta jämfört med vanlig GE (Gauss-elimination)? Svar: enklare att hantera vid teoretiskt arbete. Gör det möjligt att lösa problem av typen $Ax_k = b_k$ där b_{k+1} beror av x_k . (Om alla högerleden är kända på en gång kan givetvis vanlig GE utnyttjas).

Så normalt löses $Ax = b$ i de tre stegen

1. beräkna L och U så att $A = LU$
för att lösa $LUX = b$ inför vi beteckningen $z = UX$ och får då problemet $Lz = b$
2. lös $Lz = b$ (framåtsubstitution)
3. lös $UX = z$ (bakåtsubstitution)

Framåtsubstitution går till på samma vis som bakåtsubstitutionen fast man tar raderna i omvänt ordning.

Kostnad?

$A = LU$ tar ungefär $n^3/3$ vardera av + och *

$Lz = b$ kostar $n^2/2$ vardera av + och *

$(UX = z)$ kostar lika mycket).

37

Ett numeriskt exempel

$$A = \begin{bmatrix} 1 & -1 & 2 \\ 4 & -2 & 12 \\ 3 & -7 & 1 \end{bmatrix}, \quad b = \begin{bmatrix} 3 \\ 6 \\ 9 \end{bmatrix}$$

Vi startar med en "tom" $L = I$ och fyller i multiplikatorerna eftersom under diagonalen.

$$A = \begin{bmatrix} \boxed{1} & -1 & 2 \\ \boxed{4} & -2 & 12 \\ \boxed{3} & -7 & 1 \end{bmatrix} \rightarrow \begin{bmatrix} 1 & -1 & 2 \\ 0 & \boxed{2} & 4 \\ 0 & -\boxed{4} & -5 \end{bmatrix} \rightarrow \begin{bmatrix} 1 & -1 & 2 \\ 0 & 2 & 4 \\ 0 & 0 & 3 \end{bmatrix} = U$$

Så, det som skall stå i L är symboliskt $\boxed{\square}$ och U är det som blir kvar av A efter trianguleringen.

Alltså:

$$L = \begin{bmatrix} 1 & 0 & 0 \\ \boxed{4} & 1 & 0 \\ \boxed{3} & \boxed{-2} & 1 \end{bmatrix} \quad \text{och} \quad U = \begin{bmatrix} 1 & -1 & 2 \\ 0 & 2 & 4 \\ 0 & 0 & 3 \end{bmatrix}$$

Lös $Lz = b$, ger:

$$z = \begin{bmatrix} 3 \\ -6 \\ -12 \end{bmatrix}$$

Lös $UX = z$, ger:

$$x = \begin{bmatrix} 16 \\ 5 \\ -4 \end{bmatrix}$$

Kontroll:

$$Ax = \begin{bmatrix} 1 & -1 & 2 \\ 4 & -2 & 12 \\ 3 & -7 & 1 \end{bmatrix} \begin{bmatrix} 16 \\ 5 \\ -4 \end{bmatrix} = \begin{bmatrix} 3 \\ 6 \\ 9 \end{bmatrix} = b, \quad \text{OK!}$$

38

Är detta en stabil algoritm?

Här följer en grov skiss som visar vad som kan gå fel.

Låt ϵ stå för ett litet tal. a_1, a_2 och a_3 markerar "medelstora" tal. LU-faktorisering blir då:

$$\underbrace{\begin{bmatrix} \epsilon & a_2 \\ a_1 & a_3 \end{bmatrix}}_A = \underbrace{\begin{bmatrix} 1 & 0 \\ a_1/\epsilon & 1 \end{bmatrix}}_L \underbrace{\begin{bmatrix} \epsilon & a_2 \\ 0 & a_3 - a_2(a_1/\epsilon) \end{bmatrix}}_U$$

a_1/ϵ blir ett stort tal, vilket ger utskifting i beräkningen av $u_{2,2} = a_3 - a_2(a_1/\epsilon)$. Låt oss anta att hela a_3 skiftas ut och att allt annat räknas ut exakt. Hur stort blir bakåtfellet?

$$\underbrace{\begin{bmatrix} 1 & 0 \\ a_1/\epsilon & 1 \end{bmatrix}}_{\text{ber. } L} \underbrace{\begin{bmatrix} \epsilon & a_2 \\ 0 & -a_2(a_1/\epsilon) \end{bmatrix}}_{\text{ber. } U} = \underbrace{\begin{bmatrix} \epsilon & a_2 \\ a_1 & 0 \end{bmatrix}}_{\text{faktorisering matris}}$$

Vi har alltså faktorisat en matris som avviker mycket från A i (2,2)-elementet. Algoritmen behöver inte vara stabil.

Det kan vi dock lätt fixa. Kasta om raderna i systemet (byt ordning på ekvationerna), dvs. studera matrisen $B = PA$:

$$B = \underbrace{\begin{bmatrix} 0 & 1 \\ 1 & 0 \end{bmatrix}}_P A = \begin{bmatrix} a_1 & a_3 \\ \epsilon & a_2 \end{bmatrix}$$

LU-faktorisering blir nu:

$$\begin{bmatrix} a_1 & a_3 \\ \epsilon & a_2 \end{bmatrix} = \begin{bmatrix} 1 & 0 \\ \epsilon/a_1 & 1 \end{bmatrix} \begin{bmatrix} a_1 & a_3 \\ 0 & a_2 - a_3(\epsilon/a_1) \end{bmatrix}$$

Notera att ϵ/a_1 är ett litet tal. Vi får alltså inte farlig utskifting i $u_{2,2}$.

39

Låt oss anta att $a_3(\epsilon/a_1)$ skiftas ut:

$$\underbrace{\begin{bmatrix} 1 & 0 \\ \epsilon/a_1 & 1 \end{bmatrix}}_{\text{ber. } L} \underbrace{\begin{bmatrix} a_1 & a_3 \\ 0 & a_2 \end{bmatrix}}_{\text{ber. } U} = \underbrace{\begin{bmatrix} a_1 & a_3 \\ \epsilon & a_2 + a_3\epsilon/a_1 \end{bmatrix}}_{\text{faktorisering matris}} = B + \underbrace{\begin{bmatrix} 0 & 0 \\ 0 & a_3\epsilon/a_1 \end{bmatrix}}_{\text{fel}}$$

Detta förfarande kallas partiell pivotering och det får utföras i varje eliminationssteg. Här följer ett exempel:

$$\begin{aligned} A &= \begin{bmatrix} -0.01 & 0.80 & 3.8 \\ -0.10 & -2.05 & 7.8 \\ 1.00 & 20.00 & 20.0 \end{bmatrix}, \quad P_1 = \begin{bmatrix} 0 & 0 & 1 \\ 0 & 1 & 0 \\ 1 & 0 & 0 \end{bmatrix} \\ \underbrace{\begin{bmatrix} 1 & 0 & 0 \\ 0.1 & 1 & 0 \\ 0.01 & 0 & 1 \end{bmatrix}}_{L_1} \underbrace{\begin{bmatrix} 1 & 20.00 & 20.0 \\ -0.1 & -2.05 & 7.8 \\ -0.01 & 0.80 & 3.8 \end{bmatrix}}_{P_1 A} &= \underbrace{\begin{bmatrix} 1 & 20.00 & 20.0 \\ 0 & -0.05 & 9.8 \\ 0 & 1.00 & 4.0 \end{bmatrix}}_{L_1 P_1 A} \\ P_2 &= \underbrace{\begin{bmatrix} 1 & 0 & 0 \\ 0 & 0 & 1 \\ 0 & 1 & 0 \end{bmatrix}}_{L_2}, \quad \underbrace{\begin{bmatrix} 1 & 0 & 0 \\ 0 & 1 & 0 \\ 0 & 0.05 & 1 \end{bmatrix}}_{P_2 L_1 P_1 A} \underbrace{\begin{bmatrix} 1 & 20.00 & 20.0 \\ 0 & 1.00 & 4.0 \\ 0 & -0.05 & 9.8 \end{bmatrix}}_{P_2 L_1 P_1 A} &= \underbrace{\begin{bmatrix} 1 & 20 & 20 \\ 0 & 1 & 4 \\ 0 & 0 & 10 \end{bmatrix}}_U \end{aligned}$$

Så $L_2 P_2 L_1 P_1 A = U$. Kan visa att vi beräknat $P_2 P_1 A = \tilde{L}U$.

$$\underbrace{\begin{bmatrix} 1.00 & 20.00 & 20.0 \\ -0.01 & 0.80 & 3.8 \\ -0.10 & -2.05 & 7.8 \end{bmatrix}}_{P_2 P_1 A} = \underbrace{\begin{bmatrix} 1 & 0 & 0 \\ -0.01 & 1 & 0 \\ -0.1 & -0.05 & 1 \end{bmatrix}}_{\tilde{L} = [P_2 L_1^{-1} P_2] L_2^{-1}} \underbrace{\begin{bmatrix} 1 & 20 & 20 \\ 0 & 1 & 4 \\ 0 & 0 & 10 \end{bmatrix}}_U$$

Vi bildar givetvis aldrig permutationsmatriserna utan rader flyttas via tilldelning eller pekare.

40

LDU-faktoriseringen

L har ettor på diagonalen. Kan få ettor på U :s diagonal genom att "bryta ut" U :s diagonal (antar A ickesingulär).

$$D = \text{diag}(u_{1,1}, \dots, u_{n,n}), \quad A = LU = LD(D^{-1}U)$$

Sätt $\hat{U} = D^{-1}U$ så blir $A = LD\hat{U}$ där både L och \hat{U} har ettor på diagonalen.

Vi struntar i pivotering för att slippa bråk.

$$\begin{bmatrix} 2 & 6 \\ 4 & 15 \end{bmatrix} = \begin{bmatrix} 1 & 0 \\ 2 & 1 \end{bmatrix} \begin{bmatrix} 2 & 6 \\ 0 & 3 \end{bmatrix} = \begin{bmatrix} 1 & 0 \\ 2 & 1 \end{bmatrix} \begin{bmatrix} 2 & 0 \\ 0 & 3 \end{bmatrix} \begin{bmatrix} 1 & 3 \\ 0 & 1 \end{bmatrix}$$

Vi kan utnyttja detta för att titta på två viktiga fall:

A symmetrisk: $A = A^T \Rightarrow \hat{U} = L^T$ så att $A = LDL^T$.

Innebär halva antalet operationer för faktoriseringen (förutsatt att vi utnyttjar symmetrin i vår algoritm).

Kräver halva lagringsutrymmet.

$$\begin{bmatrix} 2 & 4 \\ 4 & 5 \end{bmatrix} = \begin{bmatrix} 1 & 0 \\ 2 & 1 \end{bmatrix} \begin{bmatrix} 2 & 4 \\ 0 & -3 \end{bmatrix} = \begin{bmatrix} 1 & 0 \\ 2 & 1 \end{bmatrix} \begin{bmatrix} 2 & 0 \\ 0 & -3 \end{bmatrix} \begin{bmatrix} 1 & 2 \\ 0 & 1 \end{bmatrix}$$

Problem med pivotering och symmetri ty partiell pivotering förstör symmetrin (finns andra pivoteringsalgoritmer).

Det andra viktiga fallet inträffar när D i $A = LDL^T$ har positiva diagonalelement.

41

Först ett exempel:

$$\underbrace{\begin{bmatrix} 4 & 8 \\ 8 & 25 \end{bmatrix}}_A = \underbrace{\begin{bmatrix} 1 & 0 \\ 2 & 1 \end{bmatrix}}_L \underbrace{\begin{bmatrix} 4 & 8 \\ 0 & 9 \end{bmatrix}}_U = \underbrace{\begin{bmatrix} 1 & 0 \\ 2 & 1 \end{bmatrix}}_L \underbrace{\begin{bmatrix} 4 & 0 \\ 0 & 9 \end{bmatrix}}_D \underbrace{\begin{bmatrix} 1 & 2 \\ 0 & 1 \end{bmatrix}}_{L^T} =$$

$$\underbrace{\begin{bmatrix} 1 & 0 \\ 2 & 1 \end{bmatrix}}_L \underbrace{\begin{bmatrix} 2 & 0 \\ 0 & 3 \end{bmatrix}}_{D^{1/2}} \underbrace{\begin{bmatrix} 2 & 0 \\ 0 & 3 \end{bmatrix}}_{D^{1/2}} \underbrace{\begin{bmatrix} 1 & 2 \\ 0 & 1 \end{bmatrix}}_{L^T} = \underbrace{\left[\begin{array}{cc|cc} 1 & 0 & 2 & 0 \\ 2 & 1 & 0 & 3 \end{array} \right]}_C \underbrace{\left[\begin{array}{cc|cc} 1 & 0 & 2 & 0 \\ 2 & 1 & 0 & 3 \end{array} \right]}_{C^T}$$

Så

$$\underbrace{\begin{bmatrix} 4 & 8 \\ 8 & 25 \end{bmatrix}}_A = \underbrace{\begin{bmatrix} 2 & 0 \\ 4 & 3 \end{bmatrix}}_C \underbrace{\begin{bmatrix} 2 & 4 \\ 0 & 3 \end{bmatrix}}_{C^T}$$

Detta kallas Choleskyfaktorisering och den existerar när A är symmetrisk och positivt definit: $x \neq 0 \Rightarrow x^T Ax > 0$. I denna kurs kräver vi också symmetri, $A^T = A$.

D har i detta fall positiva diagonalelement. Man kan visa att LUFaktorisering för en positivt definit matris är stabil även om vi inte pivoterar.

Positivt definita matriser är vanliga i tillämpningar.

Exempel: vi har partiklar med massorna m_1, m_2, m_3 och farterna v_1, v_2, v_3 . Den totala kinetiska energin, E_{kin} är

$$\frac{m_1 v_1^2 + m_2 v_2^2 + m_3 v_3^2}{2} = \frac{1}{2} \underbrace{[v_1, v_2, v_3]}_{v^T} \underbrace{\begin{bmatrix} m_1 & 0 & 0 \\ 0 & m_2 & 0 \\ 0 & 0 & m_3 \end{bmatrix}}_M \underbrace{\begin{bmatrix} v_1 \\ v_2 \\ v_3 \end{bmatrix}}_v = \frac{v^T M v}{2}$$

$E_{kin} > 0$ om någon massa rör sig, dvs. $v \neq 0 \Rightarrow \frac{v^T M v}{2} > 0$ så att M är positivt definit.

För ett ickediagonalt exempel, se FAQ, Positivt definita matriser och fysik (ett mass-fjäder system).

42

Exempel: en symmetrisk, positivt definit matris har positiva egenvärden.

Bevis: En reell och symmetrisk matris har reella egenvärden och egenvektorer.

$$Ax = \lambda x \Rightarrow x^T Ax = \lambda x^T x \Rightarrow \lambda = \frac{x^T Ax}{x^T x} > 0$$

ty $x^T x = \sum_{k=1}^n x_k^2 > 0$ eftersom x inte är nollvektorn. ■

Omvändningen gäller också: en reell, symmetrisk matris är positivt definit om den har positiva egenvärden.

Exempel: en positivt definit matris har positiva diagonalelement.

Tag $x = e_j$, kolonn j i I , enhetsmatrisen.

Då är (med Matlabnotation)

$$Ae_j = A(:, j), \quad e_j^T A = A(j, :), \quad e_j^T Ae_k = A(j, k) = a_{j,k}$$

Så

$$e_j^T Ae_j = a_{j,j} > 0, \quad j = 1, \dots, n$$

Observera implikationen. Positiva diagonalelement är nödvändigt för att vi skall ha en positivt definit matris. Det är inte ett tillräckligt villkor.

$$\begin{bmatrix} 1 & -1 \end{bmatrix} \begin{bmatrix} 1 & 2 \\ 2 & 1 \end{bmatrix} \begin{bmatrix} 1 \\ -1 \end{bmatrix} = -2$$

Matrisen är indefinit med egenvärden -1 och 3 . ■

Diagonalelementen måste också vara tillräckligt stora jämfört med de utomdiagonala, för att matrisen skall vara positivt definit.

43

Slutligen ett exempel från flervariabelkursen. Låt $z = f(x, y)$ vara en reellvärda funktion av två variabler. Vi vill undersöka om f har ett strängt lokalt minimum i punkten (a, b) . Om f är tillräckligt snäll (har tillräckligt många kontinuerliga derivator) gäller att:

$$f(a+h, b+k) = f(a, b) + f'_x(a, b)h + f'_y(a, b)k + \frac{f''_{xx}(a, b)h^2 + 2f''_{xy}(a, b)hk + f''_{yy}(a, b)k^2}{2} + \dots$$

Ett nödvändigt villkor för minimum är att gradienten är nollvektorn, ty annars kan vi göra f mindre genom att gå i negativa gradientens riktning. Alltså gäller:

$$f(a+h, b+k) = f(a, b) + \frac{f''_{xx}(a, b)h^2 + 2f''_{xy}(a, b)hk + f''_{yy}(a, b)k^2}{2} + \dots$$

Nu är (där vi inte skriver ut (a, b))

$$f''_{xx}h^2 + 2f''_{xy}hk + f''_{yy}k^2 = f''_{xx}h^2 + f''_{xy}hk + f''_{yx}kh + f''_{yy}k^2 = \\ [h \ k] \begin{bmatrix} f''_{xx} & f''_{xy} \\ f''_{yx} & f''_{yy} \end{bmatrix} \begin{bmatrix} h \\ k \end{bmatrix} = v^T H v, \text{ med } v = \begin{bmatrix} h \\ k \end{bmatrix}, \quad H = \begin{bmatrix} f''_{xx} & f''_{xy} \\ f''_{yx} & f''_{yy} \end{bmatrix}$$

H är den sk Hessianen. Om H är positivt definit så har f ett strängt lokalt minimum i (a, b) .

Detta gäller allmänt. Om $w = f(x, y, z)$ där $\nabla f(a, b, c)$ är nollvektorn, så har f ett strängt lokalt minimum i (a, b, c) om

$$\begin{bmatrix} f''_{xx} & f''_{xy} & f''_{xz} \\ f''_{yx} & f''_{yy} & f''_{yz} \\ f''_{zx} & f''_{zy} & f''_{zz} \end{bmatrix}$$

är positivt definit (alla derivator är beräknade i (a, b, c)).

Notera också att om A är en $n \times n$ -matris och x en kolonuvektor så gäller att:

$$\sum_{j=1}^n \sum_{k=1}^n a_{j,k} x_j x_k = x^T Ax$$

44

Konditionstalet för $Ax = b$ -problemets
“Proof by example”

Låt oss se hur lösningen x ändrar sig när vi stör högerledet b . Vi studerar ett numeriskt exempel där A är diagonal.

$$\begin{bmatrix} 2 & 0 \\ 0 & 10^{-10} \end{bmatrix} x = \begin{bmatrix} 2 \\ 1 \end{bmatrix} \Rightarrow x = \begin{bmatrix} 1 \\ 10^{10} \end{bmatrix}$$

Vi stör nu b med f och får då lösningen y , dvs. $Ay = b + f$. Hur mycket ändras x , dvs. hur stor är $y - x$?

$$y = A^{-1}(b + f) = A^{-1}b + A^{-1}f = x + A^{-1}f$$

så att

$$y - x = A^{-1}f = \begin{bmatrix} 1/2 & 0 \\ 0 & 10^{10} \end{bmatrix} \begin{bmatrix} f_1 \\ f_2 \end{bmatrix} = \begin{bmatrix} 0.5 f_1 \\ 10^{10} f_2 \end{bmatrix}$$

Det är inte alltid så här illa. Om vi i stället tar koefficientmatrisen

$$B = \begin{bmatrix} 2 & 0 \\ 0 & 0.1 \end{bmatrix}$$

så blir

$$y - x = B^{-1}f = \begin{bmatrix} 0.5 f_1 \\ 10 f_2 \end{bmatrix}$$

Slutsats: om A har ett eller flera diagonalelement nära noll, så kommer x att vara känslig för ändringar i högerledet.

A är “nästan singulär” i följande mening:

$$\underbrace{\begin{bmatrix} 2 & 0 \\ 0 & 10^{-10} \end{bmatrix}}_A + \underbrace{\begin{bmatrix} 0 & 0 \\ 0 & -10^{-10} \end{bmatrix}}_E = \underbrace{\begin{bmatrix} 2 & 0 \\ 0 & 0 \end{bmatrix}}_{\text{singulär}}$$

45

Den lilla störningen E (små element jämfört med det största elementet i A) gör A singulär. A ligger alltså nära en singulär matris.

B är inte nästan singulär eftersom E måste innehålla ett stort element, -0.1 .

Allmänt gäller att x är känslig för störningar i b och A om A är nästan singulär. Om A är långt från att vara singulär, så är x relativt okänslig för störningar.

En nästan singulär matris har en invers där åtminstone något element är stort. Eftersom $y - x = A^{-1}f$ så kommer x att ändras mycket om A^{-1} innehåller stora element.

Om matrisen inte är diagonal får vi ett mer komplicerat uppträdande. Antag att $\delta > 0$ är nära noll.

$$C = \begin{bmatrix} 1 & 1 \\ 1 & 1 + \delta \end{bmatrix} \Rightarrow C^{-1} = \frac{1}{\delta} \begin{bmatrix} 1 + \delta & -1 \\ -1 & 1 \end{bmatrix}$$

Vi ser att C^{-1} är proportionell mot $1/\delta$, så inversen är stor. C ligger också nära en singulär matris, ty om vi subtraherar δ från $c_{2,2}$ så blir matrisen singulär. Detta gäller allmänt.

Om C har element av storleksordningen ett:

storlek på $C^{-1} \approx 1 / \text{avståndet till närmaste singulära matris}$

För att göra riktiga satser krävs mer matematik, vektor- och matrismöbler.

46

Vektornormer

En vektornorm är en funktion som ger ett mätt på storleken på elementen i en vektor. Om vektorn innehåller n element så sammansätter vi storleken med ett icke negativt tal, så normer kan vara trubbiga mätverktyg.

Det finns oändligt många normer. Vi kommer att använda tre så kallade L_p -normer som vi betecknar med $\|\cdot\|_p$:

$$\|x\|_p = \left[\sum_{k=1}^n |x_k|^p \right]^{\frac{1}{p}}, \quad p > 0$$

- $p = 1$, $\|x\|_1 = \sum_{k=1}^n |x_k|$, ettnormen
- $p = 2$, $\|x\|_2 = [\sum_{k=1}^n x_k^2]^{\frac{1}{2}}$, tvänormen
- $p = \infty$, $\|x\|_\infty = \max_{1 \leq k \leq n} |x_k|$, maxnormen

Dessa tre normer (liksom alla vektornormer) uppfyller:

- $x \neq 0 \Rightarrow \|x\| > 0$ (positivitet), $\|0\| = 0$
- $\|\alpha x\| = |\alpha| \|x\|$ för alla $\alpha \in \mathbb{R}$ (homogenitet)
- $\|x + y\| \leq \|x\| + \|y\|$ (triangelolikheten)

Normer är olika stora

$$x = \begin{bmatrix} -1 \\ 2 \\ -3 \end{bmatrix}, \quad \|x\|_1 = 6, \quad \|x\|_2 = \sqrt{14}, \quad \|x\|_\infty = 3$$

men de är ekvivalenta (“jämförbara”). Det existerar positiva tal α och β som inte beror på x utan bara på n så att t.ex.

$$\alpha \|x\|_1 \leq \|x\|_2 \leq \beta \|x\|_1$$

I detta fall är $\alpha = 1/\sqrt{n}$ och $\beta = 1$. Olikheterna är skarpa, det existerar $x \neq 0$ där likhet antas.

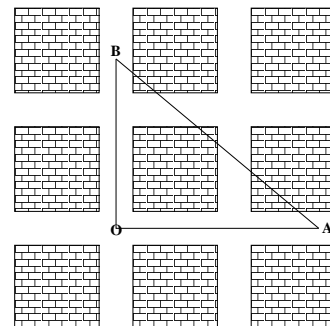
Varför räcker det inte med den “vanliga längden” av en vektor, dvs. det vi kallar tvänormen?

Det beror på att olika problemställningar kräver olika sätt att mäta storlek. Dessutom kan det vara så att det går att skapa starkare satser för en viss norm.

Exempel:

Antag att vi befinner oss i en stad där kvarteren ligger i ett rutnät. Vi vill ta oss den kortaste vägen från A till B. Låt O beteckna origo. Om vi kan flyga så är avståndet $\|B - A\|_2$. Om vi måste följa gatorna så är avståndet $\|B - A\|_1$ (dvs. längden av \overline{OA} plus längden av \overline{AB}).

$\|B - A\|_\infty$ kan tolkas som den största förflyttningen som vi gör sidledes.



Ettnormen kallas ibland “Manhattan distance”.

47

48

Innerprodukter

Vi kan definiera en norm givet en innerprodukt (skalärprodukt).

$$\mathbf{x} \cdot \mathbf{y} = (\mathbf{x}, \mathbf{y}) = \sum_{k=1}^n x_k y_k = \mathbf{x}^T \mathbf{y}$$

Så

$$\|\mathbf{x}\|_2 = \sqrt{\mathbf{x}^T \mathbf{x}}$$

Notera att $\mathbf{x}^T \mathbf{y}$ är en skalär men $\mathbf{x} \mathbf{y}^T$ är en matris.

Exempel:

$$\begin{bmatrix} -1 & 2 & 3 \end{bmatrix} \begin{bmatrix} 3 \\ 2 \\ 1 \end{bmatrix} = 4, \quad \begin{bmatrix} -1 \\ 2 \\ 1 \end{bmatrix} \begin{bmatrix} 3 & 2 & 1 \end{bmatrix} = \begin{bmatrix} -3 & -2 & -1 \\ 6 & 4 & 2 \\ 9 & 6 & 3 \end{bmatrix}$$

Om $\mathbf{x} \neq 0$ så säger vi att vektorn $\mathbf{x}/\|\mathbf{x}\|$ är normerad (har längd 1).

Definition av vinkel

$$\mathbf{x}^T \mathbf{y} = \|\mathbf{x}\|_2 \|\mathbf{y}\|_2 \cos \phi$$

Cauchy-Schwarz olikhet

$$|\mathbf{x}^T \mathbf{y}| \leq \|\mathbf{x}\|_2 \|\mathbf{y}\|_2$$

49

Matrisonormer

Matrisonormer är funktioner från $\mathbb{R}^{m \times n}$ till \mathbb{R} och uppfyller de tre vektornormsvillkoren ovan.

Användbara matrisonormer är dessutom submultiplikativa (konsistenta):

$$\|\mathbf{AB}\| \leq \|\mathbf{A}\| \|\mathbf{B}\|$$

Tre olika normer kan vara inblandade ovan. Vi använder samma beteckning $\|\cdot\|$ för alla tre.

Vi kan bilda matrisonormer utgående från vektornormer.

En operatornorm mäter hur mycket multiplikation med en matris \mathbf{A} kan förstora en vektor:

$$\|\mathbf{A}\| = \max_{x \neq 0} \frac{\|\mathbf{Ax}\|}{\|x\|}$$

Vi noterar att $\|\mathbf{I}\| = 1$ om $\|\cdot\|$ är en operatornorm.

Operatornormerna som svarar mot våra tidigare vektornormer:

- $p = 1$, $\|\mathbf{A}\|_1 = \max_k \sum_{r=1}^m |a_{r,k}|$, ettnormen, största kolonnsumman
- $p = 2$, $\|\mathbf{A}\|_2 = \max [\lambda(\mathbf{A}^T \mathbf{A})]^{1/2}$ tvänormen
- $p = \infty$, $\|\mathbf{A}\|_\infty = \max_r \sum_{k=1}^n |a_{r,k}|$, maxnormen, största radsumman

Exempel:

$$\mathbf{A} = \begin{bmatrix} 1 & -2 & -3 \\ 6 & 4 & 2 \\ 9 & -6 & 3 \end{bmatrix}, \quad \|\mathbf{A}\|_1 = 16, \quad \|\mathbf{A}\|_2 \approx 11.9042, \quad \|\mathbf{A}\|_\infty = 18$$

50

Konditionstal för $\mathbf{Ax} = \mathbf{b}$ -problemet

Vi skall nu använda normer för att studera konditionstalet för $\mathbf{Ax} = \mathbf{b}$ -problemet. Vi vill alltså studera vad som händer med \mathbf{x} när vi ändrar \mathbf{A} och \mathbf{b} . Vi kommer endast att ändra \mathbf{b} .

Sats: Antag att \mathbf{A} är ickesingulär och att $\mathbf{Ax} = \mathbf{b} \neq 0$.

Om $\mathbf{Ay} = \mathbf{b} + \mathbf{f}$ så gäller att

$$\frac{\|\mathbf{x} - \mathbf{y}\|}{\|\mathbf{x}\|} \leq \|\mathbf{A}\| \|\mathbf{A}^{-1}\| \frac{\|\mathbf{f}\|}{\|\mathbf{b}\|}$$

Bevis:

$$\begin{aligned} \mathbf{Ay} &= \mathbf{b} + \mathbf{f} \text{ och } \mathbf{Ax} = \mathbf{b} \Rightarrow \mathbf{A}(\mathbf{y} - \mathbf{x}) = \mathbf{f} \Rightarrow \\ \mathbf{y} - \mathbf{x} &= \mathbf{A}^{-1} \mathbf{f} \Rightarrow \|\mathbf{y} - \mathbf{x}\| = \|\mathbf{A}^{-1} \mathbf{f}\| \leq \|\mathbf{A}^{-1}\| \|\mathbf{f}\| \end{aligned}$$

Men $\mathbf{Ax} = \mathbf{b}$ så att $\|\mathbf{A}\| \|\mathbf{x}\| \geq \|\mathbf{b}\|$ eller $1/\|\mathbf{x}\| \leq \|\mathbf{A}\|/\|\mathbf{b}\|$. ■

Man kan bevisa likartade satser för fallen när \mathbf{A} eller \mathbf{A} och \mathbf{b} störs. Normalt betecknas konditionstalet med kappa, dvs. $\kappa(\mathbf{A}) = \|\mathbf{A}\| \|\mathbf{A}^{-1}\|$.

Antag att $\|\cdot\|$ är en operatornorm, då gäller:

- $\kappa(\mathbf{A}) \geq 1$ för alla \mathbf{A} , ty $1 = \|\mathbf{AA}^{-1}\| \leq \|\mathbf{A}\| \|\mathbf{A}^{-1}\|$
- \mathbf{I} är perfekt konditionerad ty $\kappa(\mathbf{I}) = 1$
- konditionstalet är skalningsberoende $\kappa(\alpha \mathbf{A}) = \kappa(\mathbf{A})$
- $\kappa(\mathbf{A}) = \infty$ om \mathbf{A} är singulär

Om \mathbf{A} är singulär kan det finnas ingen eller oändligt många lösningar. Vi förväntar oss problem om \mathbf{A} är nästan singulär.

51

Om $\kappa(\mathbf{A})$ är stort så finns en matris, \mathbf{E} , med liten norm $\|\mathbf{E}\|$, så att $\mathbf{A} + \mathbf{E}$ är exakt singulär. \mathbf{A} "ligger nära" mängden av singulära matriser, matrisen är "nästan" singulär.

Om $\kappa(\mathbf{A})$ är litet måste man ändra \mathbf{A} mycket (stor \mathbf{E}) för att $\mathbf{A} + \mathbf{E}$ skall bli singulär.

Man kan visa att de \mathbf{E} som gör $\mathbf{A} + \mathbf{E}$ singulär och som har minsta norm uppfyller $\|\mathbf{E}\| = \|\mathbf{A}\|/\kappa(\mathbf{A})$.

Determinanten för \mathbf{A} inte är något bra mått på nästan singulär.

Exempel:

$$\det(\alpha \mathbf{I}) = \alpha^n, \quad \kappa(\alpha \mathbf{I}) = 1$$

$$\mathbf{A} = \begin{bmatrix} 1 & 0 \\ 0 & 0.1 \end{bmatrix}, \quad \det(\mathbf{A}) = 0.1, \quad \kappa(\mathbf{A}) = 10$$

$$\mathbf{A} = \begin{bmatrix} 1 & 0 & 0 & 0 \\ 0 & 0.1 & 0 & 0 \\ 0 & 0 & 0.1 & 0 \\ 0 & 0 & 0 & 0.1 \end{bmatrix}, \quad \det(\mathbf{A}) = 0.001, \quad \kappa(\mathbf{A}) = 10$$

52

Exempel: Hur väl stämmer satsen?

$$A = \begin{bmatrix} 1 & 0 \\ 0 & 10^{-8} \end{bmatrix}, \quad b = \begin{bmatrix} 1 \\ 0 \end{bmatrix}, \quad x = \begin{bmatrix} 1 \\ 0 \end{bmatrix}, \quad \kappa_\infty(A) = 10^8$$

Tag

$$f = \begin{bmatrix} 10^{-9} \\ 10^{-9} \end{bmatrix} \Rightarrow y - x = \begin{bmatrix} 10^{-9} \\ 10^{-1} \end{bmatrix}, \quad \frac{\|x - y\|_\infty}{\|x\|_\infty} = \frac{0.1}{1} = 0.1$$

$$\kappa_\infty(A) \frac{\|f\|_\infty}{\|b\|_\infty} = 10^8 \frac{10^{-9}}{1} = 0.1$$

Så likhet i gränsen. Tag nu i stället

$$f = \begin{bmatrix} 10^{-9} \\ 0 \end{bmatrix} \Rightarrow y - x = \begin{bmatrix} 10^{-9} \\ 0 \end{bmatrix}, \quad \frac{\|x - y\|_\infty}{\|x\|_\infty} = \frac{10^{-9}}{1} = 10^{-9}$$

$$\kappa_\infty(A) \frac{\|f\|_\infty}{\|b\|_\infty} = 10^8 \frac{10^{-9}}{1} = 0.1$$

vilket ger en enorm överskattning.

53

Tolkning av satsen

Antag att elementen i x (resp. y) är ungefärliga stora. Då gäller att $x \approx x_k e$, där e är vektorn av 1:or.

Analogt gäller att $y \approx y_k e$. Alltså:

$$\frac{\|x - y\|}{\|x\|} \approx \frac{\|(x_k - y_k)e\|}{\|x_k e\|} = \frac{|x_k - y_k|}{|x_k|}$$

Så normen uppskattar då det elementvisa felet. Felet kan då, i detta specialfall, begränsas enligt:

$$\frac{|x_k - y_k|}{|x_k|} \lesssim \kappa(A) \frac{\|f\|}{\|b\|}$$

Detta säger att relativafelet i varje lösningskomponent begränsas av det relativafelet i indata multiplicerat med $\kappa(A)$.

Om t.ex. $\|f\|/\|b\| = 0.5 \cdot 10^{-k}$ (k decimaler) och $\kappa(A) \approx 10^p$ så är

$$\frac{|x_k - y_k|}{|x_k|} \lesssim 10^p \cdot 0.5 \cdot 10^{-k} = 0.5 \cdot 10^{p-k}$$

så vi har tappat p siffror i svaret, vilket ger följande tumregel:

Om $\kappa(A) = 10^p$ så riskerar vi att tappa p siffror.

Antag nu att x innehåller element av olika storleksordning, t.ex. $x = [1, 10^{-3}]^T$ och att vi använder $\|\cdot\|_\infty$. Om $p - k = -3$ gäller att:

$$\max\{|1 - y_1|, |10^{-3} - y_2|\} \leq 0.5 \cdot 10^{-3}$$

så att

$$1 - 0.5 \cdot 10^{-3} \leq y_1 \leq 1 + 0.5 \cdot 10^{-3}$$

och

$$10^{-3} - 0.5 \cdot 10^{-3} \leq y_2 \leq 10^{-3} + 0.5 \cdot 10^{-3}$$

Normer kan vara trubbiga instrument.

54

Hur stora fel har vi i indata? Låt oss se på två fall.

Exakta indata: i detta fall får vi eventuellt avrundningsfel när $a_{j,k}$ och b_k lagras i datorns minne. Relativa felet (per komponent) är ungefärlig ϵ_{mach} . Vi får också avrundningsfel när vi löser $Ax = b$ -problemet.

Vi kan nog tillåta tämligen stora $\kappa(A)$, men det beror givetvis på hur många siffror vi behöver. Om vi har stora krav eller om $\kappa(A)$ är mycket stort, så kan vi minska ϵ_{mach} genom att t.ex. använda Maple eller Mathematica (räkna med fler siffror). Att räkna med många siffror går dock mycket längsammare (mjukvara och inte hårdvara).

Indata med osäkerhet (mätdata): detta fall ger normalt större begränsningar på hur stora $\kappa(A)$ som kan tillåtas, eftersom vi normalt inte mäter så väldigt noga.

Att räkna med mindre ϵ_{mach} ger normalt inte en bättre lösning eftersom $\kappa(A)$ är mättligt stort och mätfelen helt domineras över avrundningsfelen.

Hur kan vi uppskatta $\kappa(A)$?

Att beräkna A^{-1} tar mycket tid och minne om A är stor.

cond i Matlab använder **svd** för $\|\cdot\|_2$ och explicit **inv** för andra normer.

För stora matriser kan man använda **condeest** som uppskattar $\|A^{-1}\|$ genom att lösa linjära ekvationssystem (+ listigheter).

Även LAPACK kan ge en sådan uppskattning när man löser $Ax = b$. Uppskattningen kostar nästan inget eftersom man utnyttjar den LU-faktorisering som redan beräknats.

55

Vad säger residualen $r = b - Ax$? \hat{x} beräknad lösning.

$$A = \begin{bmatrix} 1 & 0 \\ 0 & 10^{-8} \end{bmatrix}, \quad b = \begin{bmatrix} 1 \\ 0 \end{bmatrix}, \quad \hat{x} = \begin{bmatrix} 1 \\ 10^4 \end{bmatrix}, \quad r = \begin{bmatrix} 0 \\ -10^{-4} \end{bmatrix}$$

Kan visa:

$$(A + E)\hat{x} = b, \quad \|E\|_2 = \|r\|_2 / \|\hat{x}\|_2$$

$\|E\|_2 \approx 10^{-8}$ i exemplet.

Så en liten residual betyder att vi löst nästan rätt problem.

I framåtriktningen kommer $\kappa(A)$ in (antag att A^{-1} existerar):

$$r = b - Ax = Ax - A\hat{x} = A(x - \hat{x}) \Leftrightarrow x - \hat{x} = A^{-1}r$$

Alltså gäller:

$$\|x - \hat{x}\| \leq \|A^{-1}\| \|r\|$$

Om $b \neq 0$ gäller:

$$\|b\| \leq \|A\| \|x\| \Leftrightarrow \frac{1}{\|x\|} \leq \frac{\|A\|}{\|b\|}$$

Om vi kombinerar de två olikheterna erhåller vi:

$$\frac{\|x - \hat{x}\|}{\|x\|} \leq \kappa(A) \frac{\|r\|}{\|b\|}$$

Så felet i lösningen kan vara godtyckligt stort även om residualen är liten.

56

Minstakvadratproblem

Ett ofta återkommande problem är att vi har en matematisk modell och uppmätta värden, och vill bestämma parametrar i modellen.

En mycket vanlig modell är $b = ce^{\lambda t}$ (halveringstid, befolkningstillväxt, urladdning av kondensator). b kan vara befolkningen vid en given tidpunkt t . c är befolkningsmängden vid tiden $t = 0$.

Antag att vi vill bestämma parametern λ genom att mäta b vid m olika tidpunkter. Vi alltså har m par $(t_k, b_k), k = 1, \dots, m$ av mätvärden. Låt oss anta att vi känner c .

Hur ska vi beräkna λ ? Vi har ju m olika ekvationer

$$b_1 = ce^{\lambda t_1}, \quad b_2 = ce^{\lambda t_2}, \dots, \quad b_m = ce^{\lambda t_m}$$

och vi lär inte kunna hitta ett λ som satisfierar alla ekvationerna. Det är inte intressant att få m olika λ -värden.

En rimlig kompromiss är att hitta ett λ som approximativt satisfierar alla ekvationerna, dvs:

$$b_1 \approx ce^{\lambda t_1}, \quad b_2 \approx ce^{\lambda t_2}, \dots, \quad b_m \approx ce^{\lambda t_m}$$

Detta kan formuleras på följande vis:

Försök att göra alla avvikelserna (residualerna)

$$ce^{\lambda t_1} - b_1, \quad ce^{\lambda t_2} - b_2, \dots, \quad ce^{\lambda t_m} - b_m$$

så små (när noll) som möjligt.

Vi hade lika gärna kunnat studera avvikelserna $b_k - ce^{\lambda t_k}$.

57

Vi kan definiera "små" på oändligt många sätt, till exempel:

$$\min_{\lambda} \sum_{k=1}^m |ce^{\lambda t_k} - b_k|$$

$$\min_{\lambda} \left[\sum_{k=1}^m [ce^{\lambda t_k} - b_k]^2 \right]^{1/2} \quad \min_{\lambda} \max_{1 \leq k \leq m} |ce^{\lambda t_k} - b_k|,$$

Dessa förslag är inte slumpris valda, utan låt oss införa en vektor, r , av alla residualerna (en residualvektor):

$$r = \begin{bmatrix} ce^{\lambda t_1} - b_1 \\ ce^{\lambda t_2} - b_2 \\ \vdots \\ ce^{\lambda t_m} - b_m \end{bmatrix}$$

Vår tre mätt kan då skrivas:

$$\min_{\lambda} \|r\|_1, \quad \min_{\lambda} \|r\|_2, \quad \min_{\lambda} \|r\|_{\infty}$$

Vi kommer normalt att få olika värden på λ beroende på vilken norm vi utnyttjar. Varje λ är dock bäst för den givna normen.

Det finns oändligt många frågor, varje fråga med sitt svar; varje svar är dock ett korrekt svar på den givna frågan.

Det finns normalt inte ett bästa λ -värde.

58

Man kan givetvis ha modeller med flera parametrar. Ett vanligt problem är att anpassa en serie mätpunkter till en rät linje.

Vår modell kan då skrivas; $b = x_1 + x_2 t$. Här är x_1 och x_2 parametrar och (t_k, b_k) är uppmätta värden.

Hur ser residualvektorn ut i detta fall?

$$r = \begin{bmatrix} x_1 + x_2 t_1 - b_1 \\ x_1 + x_2 t_2 - b_2 \\ \vdots \\ x_1 + x_2 t_m - b_m \end{bmatrix} = \underbrace{\begin{bmatrix} 1 & t_1 \\ 1 & t_2 \\ \vdots & \vdots \\ 1 & t_m \end{bmatrix}}_A \underbrace{\begin{bmatrix} x_1 \\ x_2 \end{bmatrix}}_x - \underbrace{\begin{bmatrix} b_1 \\ b_2 \\ \vdots \\ b_m \end{bmatrix}}_b$$

Dvs. $r = Ax - b$. Vi vill alltså lösa minimeringsproblemet:

$$\min_x \|Ax - b\|$$

i någon lämplig norm.

Observera att detta normalt inte är ett linjärt ekvationssystem. Vi löser inte $Ax = b$, ty detta går normalt inte, eftersom vi får avvikeler i alla ekvationerna. Lite slarvigt kan man skriva $Ax \approx b$. Om vi kan lösa $Ax = b$ så är ju residualvektorn $r = Ax - b$ nollvektor, varför mät punkterna följer modellen exakt. Notera också att matrisen A har fler rader än kolonner.

När residualvektorn kan skrivas $r = Ax - b$ säger vi att problemet är linjärt. Modellen har utseendet:

$$b = \text{uttryck}_1 \text{ parameter}_1 + \dots + \text{uttryck}_n \text{ parameter}_n$$

där uttryck $_k$ beror av mätvärdena och inte beror av någon parameter.

Vår första modell är icke linjär eftersom parametern λ inte ingår linjärt i modellen.

I vissa fall kan vi via substitutioner eller andra transformationer skapa en linjär modell utifrån en icke linjär sådan. Vår första modell är enkel att transformera, förutsatt att b och c har samma tecken. Låt oss anta att både b och c är positiva:

$$b = ce^{\lambda t} \Leftrightarrow \log b = \log c + \lambda t$$

λ ingår nu linjärt i modellen.

Om vi nu antar att c inte är känd (vi mätte aldrig b för $t = 0$) så är c en parameter som nu ingår icke linjärt i modellen. Om vi sätter $x_1 = \log c$ har vi dock en linjär modell som är identisk med modellen för vår räta linje, $\log b = x_1 + \lambda t$.

För att göra analogin ännu tydligare sätter vi $x_2 = \lambda$ och får:

$$\min_x \left\| \begin{bmatrix} 1 & t_1 \\ 1 & t_2 \\ \vdots & \vdots \\ 1 & t_m \end{bmatrix} \begin{bmatrix} x_1 \\ x_2 \end{bmatrix} - \begin{bmatrix} \log b_1 \\ \log b_2 \\ \vdots \\ \log b_m \end{bmatrix} \right\|$$

Efter att x är beräknad sätter vi så $c = e^{x_1}$ och $\lambda = x_2$.

När vi gör transformationer på detta sätt ändrar vi (ibland) på normen. Logaritmering, till exempel, har en utjämmande verkan, och minskar de stora residualernas inflytande. Detta kan jämföras med att minimera i en annan norm. Vi ställer en annan fråga, men den kan ju vara lika relevant.

Ibland fäster vi olika stor vikt vid de olika residualerna.

Mätapparaturen kanske mäter olika noga i olika mätområden. Det är då rimligt att ett osäkert värde får mindre inflytande än ett säkert. Vi kan åstadkomma detta med en viktad norm, t.ex.

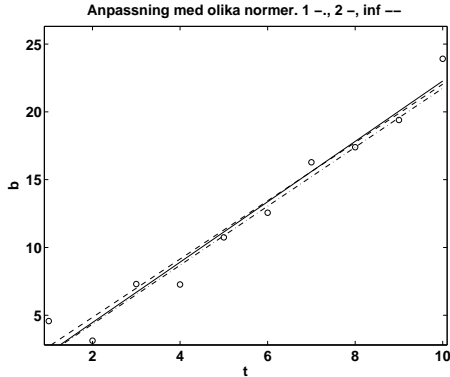
$$\min_x \|V(Ax - b)\|, \quad V = \text{diag}(v_1, v_2, \dots, v_m)$$

Residual, r_k , multipliceras alltså med vikten v_k .

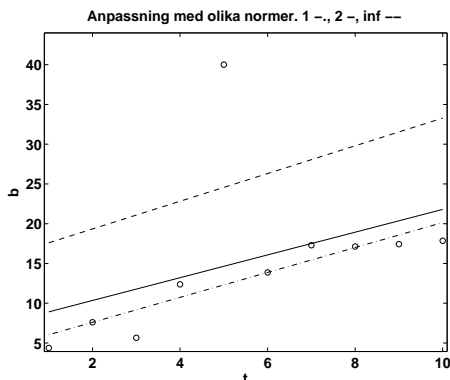
59

60

Låt oss nu återvända till den räta linjen, $b = x_1 + x_2 t$. Följande bild visar anpassning i våra tre normer.



Accentueras när man har utliggare (outliers).



61

Vi studerar nu det linjära minstakvadratproblemet:

$$\min_x \|Ax - b\|_2$$

Det är enkelt att beskriva den optimala lösningen till detta problem. Vi ser på specialfallet när A har två kolonner, a_1 respektive a_2 , men det kan enkelt generaliseras till ett godtyckligt fall.

För en godtycklig $x \in \mathbb{R}^2$ gäller att $Ax = a_1 x_1 + a_2 x_2$ är en linjärkombination av A s kolonner. När x varierar över alla vektorer med två element så kommer mängden $a_1 x_1 + a_2 x_2$ att bilda ett plan, A s bildrum, $\mathcal{R}(A)$ (ty $\mathcal{R}(A) = \{Ax \mid x \in \mathbb{R}^n\}$).

Om b tillhör detta plan så existerar (minst) ett x så att $Ax = b$ med likhet. Residualvektorn $r = Ax - b$ blir då noll. T.ex.

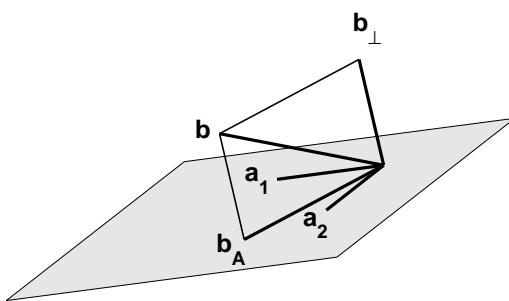
$$A = \begin{bmatrix} 1 & 1 \\ 0 & 1 \\ 0 & 1 \end{bmatrix}, \quad b = \begin{bmatrix} 2 \\ 1 \\ 1 \end{bmatrix}$$

I exemplet är $x = [1, 1]^T$. Normalt bildar dock b en vinkel mot planet, tag till exempel $b = [2, 1, 2]^T$. Vektorn b kan då inte skrivas som en linjärkombination av A s kolonner, men vi vill minimera avvikelsen, längden av residualvektorn $Ax - b$.

Dela upp b i två komponenter, b_A som ligger i planet och b_{\perp} som är ortogonal mot planet. Oavsett hur vi väljer x så kan vi inte nollställa någon del av b_{\perp} , eftersom b_{\perp} är ortogonal mot alla linjärkombinationer, Ax . Däremot kan vi nollställa b_A , eftersom b_A ligger i planet och den därmed är en linjärkombination av A s kolonner, dvs. det existerar (minst) ett x så att $b_A = Ax$. Detta x är det x vi söker.

Residualvektorn blir $r = Ax - b = Ax - b_A - b_{\perp} = -b_{\perp}$.

62



Här följer samma resonemang med normer:

Pythagoras sats: om y och z är ortogonala vektorer gäller:

$$\|y+z\|_2^2 = \|y\|_2^2 + \|z\|_2^2$$

ty

$$\|y+z\|_2^2 = (y+z)^T(y+z) = y^T y + \underbrace{y^T z + z^T y}_{0} + z^T z = \|y\|_2^2 + \|z\|_2^2$$

Det x som löser $Ax = b_A$ är optimalt. Ty om så inte vore fallet existerar $z \neq 0$ så att $x + z$ ger ett mindre värde på normen. Vi testar:

$$\|A(x+z) - b\|_2^2 = \|A(x+z) - (b_A + b_{\perp})\|_2^2 =$$

$$\|\underbrace{Ax - b_A}_0 + Az - b_{\perp}\|_2^2 = \|Az\|_2^2 + \|b_{\perp}\|_2^2 \geq \|b_{\perp}\|_2^2$$

Med minimum då $z = 0$ (om A har linjärt oberoende kolonner).

Residualvektorn, $r = -b_{\perp}$, är ju ortogonal mot bildrummet. Bildrummet utgörs av alla linjärkombinationer av a_1 och a_2 (i vårt speciella fall) vilket medför att $a_1^T r = a_2^T r = 0$.

Vi kan skriva dessa likheter på följande form:

$$0 = \begin{bmatrix} a_1^T r \\ a_2^T r \end{bmatrix} = \begin{bmatrix} a_1^T \\ a_2^T \end{bmatrix} r = [a_1 \ a_2]^T r = A^T r = A^T(Ax - b)$$

vilket ger oss normalekvationerna:

$$A^T A x = A^T b$$

$\text{rang}(A) = n \Rightarrow A^T A$ symmetrisk och positivt definit. Kan lösa normalekvationerna med hjälp av Choleskyfaktorisering.

Entydighet?

- om A har linjärt oberoende kolonner så har minstakvadratproblemet en entydig lösning. Matrisen har full rang.
- om A har linjärt beroende kolonner (är rangdefekt) så finns det oändligt många lösningar som ger samma residualvektor, ty tag $z \in \mathcal{N}(A)$ då gäller att $A(x+z) = Ax$.

Om A har nästan linjärt beroende kolonner, så är problemet illa konditionerat. Normalekvationerna förvärrar konditionen på problemet, ett elakt problem kan bli omöjligt att lösa. Det gäller att $\kappa(A^T A) = \kappa(A)^2$. Vi ska därför se på en bättre metod baserad på QR-faktorisering.

$\mathbf{x} = \mathbf{A} \setminus \mathbf{b}$ i Matlab använder QR-faktorisering.

Observera att operatorn \setminus är överlagrad. Om A är kvadratisk så används LU-faktorisering, annars används QR-faktorisering. Matlabkoderna för de två fallen har ingen gemensam del.

63

64

Vår för vill man ha många mätvärden? Något om statistik.

Antag att vi har modellen $b = p(t)$, där p är ett polynom av grad noll, en konstant, så $p(t) = x$, där x är en skalär. Minstakvadrat-problemet kan skrivas:

$$\min_x \left\| \begin{bmatrix} 1 \\ 1 \\ \vdots \\ 1 \end{bmatrix} x - \begin{bmatrix} b_1 \\ b_2 \\ \vdots \\ b_n \end{bmatrix} \right\|_2$$

Om vi låter e beteckna kolonnevektorn av n ettor har vi problemet $\min_x \|ex - b\|_2$ och normalekvationerna ger oss lösningen:

$$e^T ex = e^T b \Rightarrow x = \frac{\sum_{k=1}^n b_k}{n}$$

så x är medelvärdet av b_k -värdena.

Antag att $b_k = \beta + \delta_k$, $k = 1, \dots, n$, där β är det exakta (men okända) b -värdet och δ_k är mätfel. Det gäller

$$x = \frac{1}{n} \sum_{k=1}^n b_k = \frac{1}{n} \sum_{k=1}^n (\beta + \delta_k) = \beta + \frac{1}{n} \sum_{k=1}^n \delta_k$$

vilket ger oss ett uttryck för det absoluta felet:

$$|x - \beta| = \frac{1}{n} \left| \sum_{k=1}^n \delta_k \right|$$

Antag att det finns $\delta > 0$ så att felen har egenskapen:

$$-\delta \leq \delta_k \leq \delta, k = 1, \dots, n$$

Vi kan då begränsa det maximala felet i x :

$$|x - \beta| = \frac{1}{n} \left| \sum_{k=1}^n \delta_k \right| \leq \frac{1}{n} \sum_{k=1}^n |\delta_k| \leq \delta$$

Detta är en pessimistisk uppskattning, eftersom mätfel normalt varierar i storlek och tecken (om vi inte har systematiska fel).

65

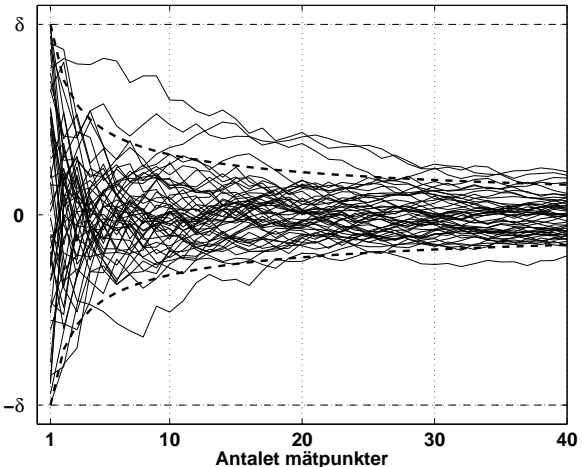
Medelvärdet av felen är normalt mindre än det maximala felet. Antag att felen, δ_k , är likformigt fördelade i intervallet $[-\delta, \delta]$, $\delta > 0$. Följande bild (simulering med Matlabs `rand`) visar hur medelvärdena

$$\frac{1}{n} \sum_{k=1}^n \delta_k, n = 1, 2, \dots, 40$$

ser ut för 50 mätserier. En heldragna linje visar, för en mätserie:

$$\delta_1, \frac{\delta_1 + \delta_2}{2}, \frac{\delta_1 + \delta_2 + \delta_3}{3}, \dots, \frac{\delta_1 + \delta_2 + \delta_3 + \dots + \delta_{40}}{40}$$

Fel i medelvärdet. 50 mätserier.



De två horisontella streckade linjerna markerar maxfelet $\pm \delta$. Vi ser att spridningen minskar med ökande antal mätpunkter. Man kan bevisa att den sk standardavvikelsen minskar som $1/\sqrt{n}$ (de andra streckade linjerna visar $\pm \delta/\sqrt{n}$).

66

I matematisk statistik (och fysik) formulerar man sig ungefärlig här:

med 95% sannolikhet ligger det riktiga värdet i intervallet $(x - \text{fel}, x + \text{fel})$ där **fel** kan räknas ut. Detta interval är ett sk (observerat) konfidensintervall och sannolikheten, 95%, kallas konfidensgrad.

Detta säger att i 19 fall av 20 så kommer det riktiga värdet, β , att ligga i intervallet.

Mer allmänt kan man bestämma en sannolikhet, $0 < p < 1$, där felet är begränsat av $\text{fel}(p, n, \delta)$ (en funktion av p , n och δ). För fixt n , så kommer ett större p (säkrare) att ge ett större värde på $\text{fel}(p, n, \delta)$. Man skall tänka på att felet kan överstiga $\text{fel}(p, n, \delta)$, eftersom vi arbetar med sannolikheter. Om man kräver visshet, $p = 1$, får vi maximalfelet.

Vi kan alltså välja mellan en säker, men pessimistisk gräns, och en realistisk men osäker.

Bilden ovan är lite missvisande. Man har inte alltid så långa mätserier (40 värden). 10-20 värden är inte ovanligt och ibland har man kanske bara fem värden. Felet behöver inte minska så mycket, med andra ord.

Kort om konditionstal för LS-problemet (LS = Least Squares)

Antag att x resp. y löser följande problem:

$$\min_x \|Ax - b\|_2 \quad \text{resp.} \quad \min_y \|(A + F)y - (b + f)\|_2$$

y är alltså lösningen till ett stört problem.

Vi vill begränsa $\|y - x\|_2 / \|x\|_2$ i termer av $\|F\|_2 / \|A\|_2$ och $\|f\|_2 / \|b\|_2$.

Att göra detta allmänt är svårt. En första förenkling är att anta att A har full rang och att $\|F\|_2$ är tillräckligt liten så att $A + F$ har samma rang som A . Härledningen är nu avsevärt enklare, men ändå lite smäbesvärlig, så på dessa sidor antar vi att $F = 0$, precis som vi gjorde när vi analyserade $Ax = b$ -problemet.

Eftersom A har full rang kan vi använda normalekvationerna och får $x = (A^T A)^{-1} A^T b$ resp. $y = (A^T A)^{-1} A^T (b + f)$.

Lösningen till ett vanligt linjärt ekvationssystem, $Cx = b$, kan skrivas, $x = C^{-1}b$, så det verkar rimligt att betrakta $(A^T A)^{-1} A^T$ som en generaliserad invers. Detta gör man, och denna invers kallas pseudoinversen, beteckna A^+ och kan beräknas med Matlabkommandot `pinv`.

A^+ är ett matematiskt hjälpmittel och den brukar inte användas för att lösa minstakvadratproblem i praktiken. Vi ser att A^+ är en vänsterinvers, $A^+ A = (A^T A)^{-1} A^T A = I$. Däremot är inte A^+ en högerinvers, så $AA^+ \neq I$. Man kan definiera A^+ även om A är rangdefekt (men då gäller inte att $A^+ = (A^T A)^{-1} A^T$).

Vi ser att

$$y - x = A^+(b + f) - A^+b = A^+f \Rightarrow \|y - x\|_2 \leq \|A^+\|_2 \|f\|_2$$

67

68

Vi måste få en undre begränsning av $\|x\|_2$ och använder sambanden $Ax = b_A$, där b_A är den ortogonala projektionen av b på A :s bildrum. Antag vidare att $b_A \neq 0$ vilket medför att $x \neq 0$. Vi får

$$\|b_A\|_2 = \|Ax\|_2 \leq \|A\|_2 \|x\|_2 \Rightarrow 1/\|x\|_2 \leq \|A\|_2/\|b_A\|_2$$

Slutligen:

$$\frac{\|y - x\|_2}{\|x\|_2} \leq \underbrace{\|A\|_2 \|A^+\|_2}_{\kappa_2(A)} \frac{\|f\|_2}{\|b_A\|_2}$$

Denna gräns liknar den för linjära ekvationssystem. En viktig skillnad är att det inte står $\|f\|_2/\|b\|_2$.

Låt oss skriva om uppskattningen:

$$\frac{\|y - x\|_2}{\|x\|_2} \leq \|A\|_2 \|A^+\|_2 \frac{\|b\|_2}{\|b_A\|_2} \frac{\|f\|_2}{\|b\|_2}$$

Om modell och mätdata stämmer väl överens så kommer $\|b\|_2/\|b_A\|_2$ att vara nära ett (kvoten är alltid ≥ 1), men om modell och data inte passar ihop så kan kvoten bli stor. Extremfallet är att b är ortogonal mot A :s bildrum i vilket fall $b_A = 0$ och kvoten är oändlig.

Skulle kvoten vara väldigt stor är det kanske inte så meningsfullt att lösa minstakvadratproblemet. Stör vi nu även A med F så tillkommer ytterligare en term i feluppskattningen och det visar sig att man även får en term $\kappa_2^2(A) \|b_\perp\|_2/\|b_A\|_2$ gånger de relativitativa störningarna.

När vi studerade $Ax = b$ -problemet sa vi att $\|A\|/\kappa(A)$ är normen på den minsta störningen, E , som gör $A + E$ singulär. Analogt gäller för minstakvadratproblemet att $\|A\|_2/\kappa_2(A)$ är tvänormen på den minsta E som gör att $A + E$ är rangdefekt ($A + E$ har linjärt beroende kolonner).

69

Exempel: låt $\epsilon, \mu > 0$ vara små och antag att $0 \leq \psi < \pi/2$. Sätt;

$$A = \begin{bmatrix} 1 & 1 \\ 0 & \epsilon \\ 0 & 0 \end{bmatrix}, \quad b = \begin{bmatrix} \cos \psi \\ 0 \\ \sin \psi \end{bmatrix}, \quad f = \begin{bmatrix} 0 \\ \mu \\ 0 \end{bmatrix}$$

Det gäller att $\kappa_2(A) \approx 2/\epsilon$. Pseudoinversen blir:

$$A^+ = (A^T A)^{-1} A^T = \frac{1}{\epsilon} \begin{bmatrix} \epsilon & -1 & 0 \\ 0 & 1 & 0 \end{bmatrix}$$

varför lösningarna x och y ges av

$$x = \begin{bmatrix} \cos \psi \\ 0 \\ \mu/\epsilon \end{bmatrix}, \quad y = \begin{bmatrix} \cos \psi - \mu/\epsilon \\ \mu/\epsilon \end{bmatrix}$$

och

$$\frac{\|y - x\|_2}{\|x\|_2} = \sqrt{2} \frac{\mu}{\epsilon \cos \psi}$$

Det gäller att

$$\frac{\|f\|_2}{\|b\|_2} = \frac{\mu}{1} = \mu$$

och att

$$\frac{\|b\|_2}{\|b_A\|_2} = \frac{1}{\cos \psi}$$

Vår uppskattning stämmer bra i detta exempel:

$$\frac{\|y - x\|_2}{\|x\|_2} \leq \underbrace{\kappa_2(A)}_{2/\epsilon} \frac{\|b\|_2}{\underbrace{\|b_A\|_2}_{1/\cos \psi}} \frac{\|f\|_2}{\|b\|_2}$$

Om $\psi \approx \pi/2$ så är b nästan ortogonal mot A :s bildrum (ψ är i själva verket vinkeln som b bildar mot bildrummet) och felet ökar med (den då stora) faktorn $1/\cos \psi$.

70

Alternativ till normalekvationerna

Först ett exempel som visar en nackdel med normalekvationerna.

$$A = \begin{bmatrix} 1 & 1 \\ 0 & \epsilon \\ 0 & 0 \end{bmatrix}, \text{ med } \epsilon > 0. \quad A^T A = \begin{bmatrix} 1 & 0 & 0 \\ 1 & \epsilon & 0 \\ 0 & 0 & 0 \end{bmatrix} \begin{bmatrix} 1 & 1 \\ 0 & \epsilon \\ 0 & 0 \end{bmatrix} = \begin{bmatrix} 1 & 1 \\ 1 & 1 + \epsilon^2 \\ 0 & 0 \end{bmatrix}$$

Om $0 < \epsilon \leq \sqrt{\epsilon_{\text{mach}}}$ så är $fl(1 + \epsilon^2) = 1$ varför $A^T A$ blir singulär och $A^T Ax = A^T b$ har inte entydig lösning. Minstakvadratproblem, $\min_x \|Ax - b\|_2$ har dock entydig lösning så länge som $\epsilon \neq 0$.

Idé: vi utnyttjar att tvänormen är unitärt invariant, dvs.

$$\|QAP\|_2 = \|A\|_2, \text{ om } Q^T Q = I, \quad P^T P = I$$

förutsatt att P är kvadratisk (Q behöver dock inte vara kvadratisk). Speciellt kan A vara en vektor, v säg, så:

$$\|Qv\|_2 = \|v\|_2$$

En komplex matris, Q , är unitär då $Q^H Q = I$. Så unitär är motsvarigheten till ortogonal för reella matriser.

Bevis av $\|Qv\|_2 = \|v\|_2$. Utnyttja att $\|\cdot\|_2 \geq 0$ och att

$$\|Qv\|_2^2 = (Qv)^T Qv = v^T Q^T Qv = v^T Iv = v^T v = \|v\|_2^2$$

Sats: Antag att A har linjärt oberoende kolonner. A har då en QR-faktorisering: $A = QR$ där $Q^T Q = I$ och R är övertriangulär med positiva diagonalelement.

Lösningen, x , till minstakvadratproblemet ges då av:

$$Rx = Q^T b$$

ett triangulärt system. Detta följer av normalekvationerna (som jag bara använder för att bevisa ovanstående):

$A^T Ax = A^T b$ med $A = QR$, där R är ickesingulär, blir

$$(QR)^T (QR)x = (QR)^T b \Leftrightarrow R^T Q^T Q Rx = R^T Q^T b \Leftrightarrow Rx = Q^T b$$

71

Ett fysikproblem

En kväll fick jag ett mail från Peter Berntsen, kondenserade materiens fysik, om ett besvärligt optimeringsproblem. Följande sidor är resultatet av mina försök att förstå problemets natur.

Svante Arrhenius (1859-1927) är en av grundarna av den fysikaliska kemin. Han undersökte (bland annat) hur hastigheten hos kemiska reaktioner beror av temperaturen. Om t.ex. ämnena α och β reagerar och producerar ämnet γ , så gäller (ofta) att:

$$\frac{d[\gamma]}{dt} = k(T) [\alpha]^m [\beta]^n$$

där $[\cdot]$ betecknar koncentrationen, t är tiden och T är absoluta temperaturen (i Kelvin). m och n kallas ordningar (båda kan vara ett t.ex.).

Arrhenius ekvation (1889) är en modell för utseendet på $k(T)$:

$$k(T) = Ae^{-E/RT}.$$

A kallas den pre-exponentiella faktorn, E (ofta skriven E_a) är aktiveringsenergin och R är den allmänna gaskonstanten.

Arrhenius resonerade så här: För att en kemisk reaktion, mellan två molekyler, skall inträffa, så måste rörelseenergin hos molekylerna uppnå en viss nivå, aktiveringsenergin E .

Enligt Ludwig Boltzmanns (1844-1906) arbeten (statistisk mekanik och termodynamik) följer att antalet kollisioner med energi $\geq E$ är $e^{-E/RT}$, så $k(T)$ bör vara proportionell mot denna faktor. Om temperaturen ökar, så blir sannolikheten större att molekyler uppnår E varför $k(T)$ ökar.

Arrhenius formel passar till flera andra situationer. Min bok i fysikalisk kemi nämner frekvensen av syrsors spelande (som funktion av T), myrors krypande, åldrandets hastighet, eldflugors lysande, och hur snabbt man glömmer.

Anledningen att Arrhenius formel passar in, är att ovanstående processer är kemiska.

72

Nu till tillverkning av glas. Det är intressant att ha en modell för beroendet mellan viskositet, b , (av en glas-smälta) och temperatur. Arrhenius modell stämmer inte så bra. Man noterade att $\log b$ inte var linjär i $1/T$:

$$b = Ae^{-E/RT} \Leftrightarrow \log b = \log A - \frac{E}{R} \cdot \frac{1}{T}$$

Gordon Fulcher (Corning Glass Works, NY) listade, i en artikel från 1925, följande modeller

$$\begin{aligned}\log b &= A - B/T + C/T^2 \\ \log b &= -A + B/T + C/T^2 \\ \log b &= -A + B \log T + C/T^2 \\ \log b &= -A + B/(T - T_0)^2 \\ \log b &= -A + B/(T + 273)^{2.33} \\ \log b &= -A + 10^3 \cdot B/(T - T_0)\end{aligned}$$

T ges i $^{\circ}\text{C}$ och $\log = \log_{10}$. Den sista ekvationen fungerade rätt väl. Vogel (1925) och Tammann (1926) publicerade samma formel, som nu kallas: Vogel-Fulcher-Tammans modell (VFT), här skriven på en vanlig form:

$$b = A e^{E/(T-T_0)} \quad \text{VFT}$$

$T_0 = 0$ ger Arrhenius modell. Vi har mätt b vid olika temperaturer, T , och vill bestämma parametrarna A , E samt T_0 . Vi har tydlig en icke linjär modell i parametrarna.

Fulcher använde en grafisk teknik. Först bestämde han T_0 från tre mätvärden. Han plottade sedan $\log b$ som funktion av $1/(T - T_0)$ och anpassade en rät linje till mätpunkterna.

Låt oss nu attackera problemet med moderna hjälpmedel. Första idén: formulera problemet som ett icke linjärt minstakvadratproblem (jag har tagit bort \checkmark):

$$\min_{A, E, T_0} \sum_{k=1}^n [b_k - A e^{E/(T_k - T_0)}]^2$$

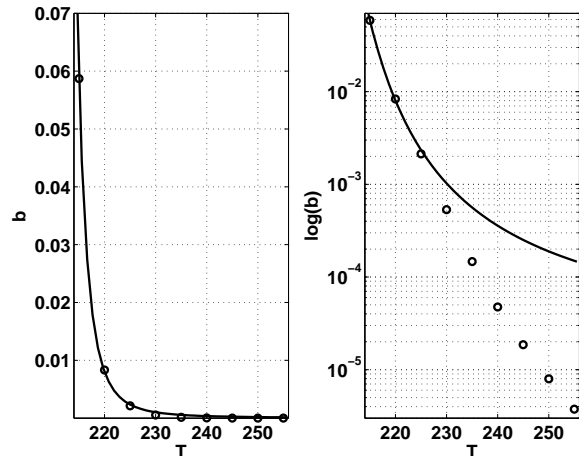
73

De lösare som används är *iterativa* och kräver en startapproximation och producerar, förhoppningsvis, en serie approximationer som konvergerar mot ett *lokalt* minimum.

Lösaren stannar när ett avbrotskriterium är uppfyllt. Detta kriterium baseras normalt på förändringen av approximationerna, förändringen av funktionen som skall minimeras (objektfunktion, målfunktion) och på normen av gradienten.

Det är *viktigt* med bra startapproximationer. En dålig approximation kan ge divergens eller konvergens mot ett lokalt minimum med större minimivärde.

Låt oss ignorera dessa råd och starta med en *slumpvektor*. Vi använder Matlabs `lsqnonlin` för det icke linjära problemet. Så här ser plottarna av mätdata och lösning ut:



74

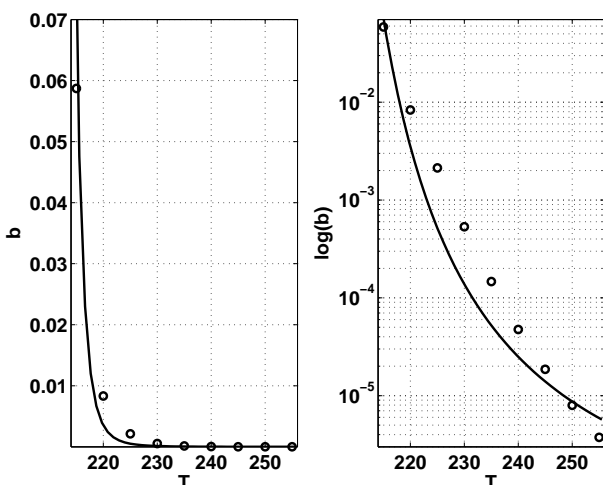
Den dåliga anpassningen beror *inte* på för stora toleranser i avbrotskriteriet (man kan skärpa dessa).

Residualvektorn, med element $b_k - Ae^{E/(T_k - T_0)}$, har element av samma storleksordning, $\approx 10^{-4}$. De *relativa* avvikelserna är dock enormt stora för de små värdena.

Om vi tror (vet) att alla b -värden är givna med samma *relativa* fel kan man använda *vikter*, så att alla mätvärden får samma inflytande. Om vi viktar med $1/b_k$ får vi problemet:

$$\min_{A, E, T_0} \sum_{k=1}^n \left[\frac{b_k - A e^{E/(T_k - T_0)}}{b_k} \right]^2$$

Detta fungerar nu inte så bra, men de små värdena kommer i alla fall med:



75

Felet är startgissningen. Att gissa går inte så bra, vi behöver bättre värden.

För att bestämma startapproximationer av parametrarna, skriver vi om det icke linjära problemet som ett linjärt problem. Detta går givetvis inte alltid.

Logaritmiska VFT:

$$\log b = \frac{E}{T - T_0} + \log A$$

Multiplicera upp $T - T_0$ och samla ihop termerna:

$$T \log b = T_0 \log b + T \log A + E - T_0 \log A$$

Låt $x_1 = T_0$, $x_2 = \log A$ och $x_3 = E - T_0 \log A$. Det linjära problemet kan då skrivas:

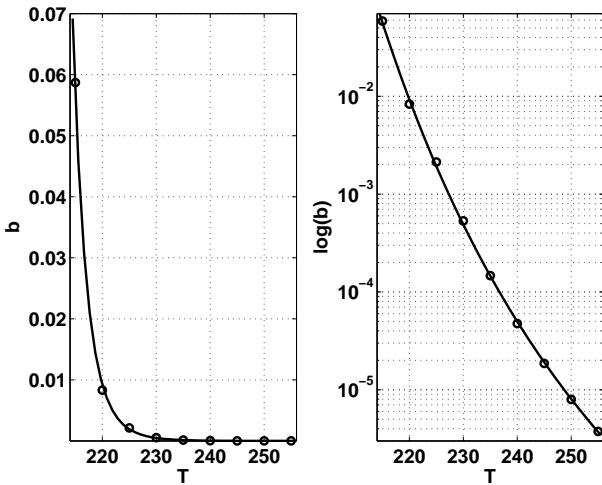
$$\min_x \left\| \begin{bmatrix} \log b_1 & T_1 & 1 \\ \log b_2 & T_2 & 1 \\ \vdots & \vdots & \vdots \\ \log b_n & T_n & 1 \end{bmatrix} x - \begin{bmatrix} T_1 \log b_1 \\ T_2 \log b_2 \\ \vdots \\ T_n \log b_n \end{bmatrix} \right\|_2$$

Här är Matlabkoden:

```
n = length(T);
x = [log(b), T, ones(n, 1)] \ (T * log(b));
T0 = x(1);
A = exp(x(2));
E = x(3) + T0 * x(2);
```

Vi använder nu dessa värden som startapproximation, till `lsqnonlin` och får en nästan perfekt plot:

76



Ett alternativ till vikter, i detta fall, är att logaritmera ekvationen. Logaritmen av b -värdena är:

```

-2.8350e+00
-4.7892e+00
-6.1521e+00
-7.5369e+00
-8.8262e+00
-9.9547e+00
-1.0892e+01
-1.1740e+01
-1.2494e+01

```

som är av liknande storleksordning.

77

Man löser sedan det ickelinjära problemet, där det är lämpligt att ta $\log(A)$ som en parameter. Det blir då mindre spridning på parametrarnas storleksordningar.

$$\min_{\log A, E, T_0} \sum_{k=1}^n \left[\log b_k - \log A - \frac{E}{T_k - T_0} \right]^2$$

Värdena skiljer sig dock inte från vad det viktade problemet ger. Här är en sammanställning:

	Original	Linjärt	Viktat	Symb
A	6.6872e-13	7.0725e-13	7.2491e-13	4.1547e-13
E	1.6081e+03	1.6080e+03	1.6079e+03	1.6973e+03
T ₀	1.5118e+02	1.5102e+02	1.5090e+02	1.4880e+02
res	1.9417e-01	1.8218e-01	1.8363e-01	1.7873e-01

där res är rotens ur summan ovan. Symb-värdena har jag räknat fram med en egen rutin i Maple (via Matlab). Jag har då kunnat räkna med ett litet ϵ_{mach} .

När Peter fick se detta, sa han ungefär "plottarna ser bra ut, men jag hade inte väntat mig de parametervärdena."

Detta kan bero på att parametrarna är dåligt bestämda av målfunktionen. Två enkla exemplen:

Exempel: minimera $f(x) = x^2$ och $g(y) = y^4$. Antag vi accepterar x som minimum om $f(x) \leq 10^{-8}$, $g(y) \leq 10^{-8}$. Vi får intervallet $-10^{-4} \leq x \leq 10^{-4}$ respektive $-10^{-2} \leq y \leq 10^{-2}$.

Exempel:

$$\min_{x_1, x_2} (x_1 + x_2)^2$$

Minvärdet är noll, som antas för alla x_1 och x_2 där $x_1 + x_2 = 0$. Vi har inte entydigt minimum. Målfunktionen ser ut som ett dike (räcka). Om vi rör oss utmed dikets botten ändras inte funktionen värde. Hessianen, H , är en 2×2 -matris av tvåor, så H är positivt semidefinit (singulär).

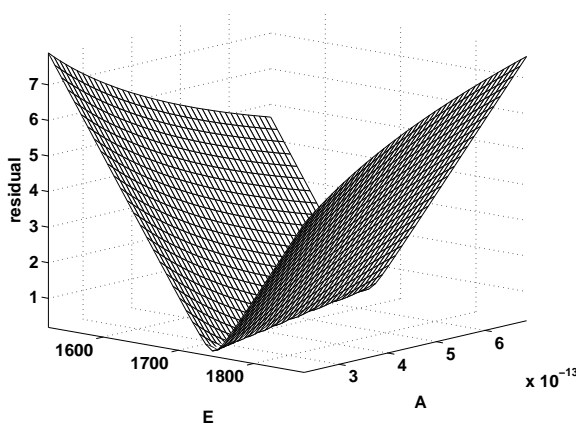
78

En annan orsak kan vara att vi har få mätpunkter, nio, i förhållande till antalet, tre, parametrar. Det hade varit trevligt med, säg 30, mätpunkter. Tyvärr tar redan nio mätpunkter ett dygn att producera. Mätfel påverkar också resultatet.

Här kommer en bild som visar varför parametrarna är illa bestämda. Låt oss plotta följande funktion för, fixt T_0 (det optimala värdet), som funktion av A och E .

$$f(A, E) = \left\{ \sum_{k=1}^n \left[\log b_k - \log A - \frac{E}{T_k - T_0} \right]^2 \right\}^{1/2}$$

Fixt T_0



Grafen ser ut som ett dike. Övriga kombinationer, fixt A respektive fixt E ger liknande platrar.

Ett annat sätt att förstå problemen är att studera

79

Taylorutvecklingen av kvadratsumman, residualfunktionen r :

$$r(\log A, E, T_0) = \sum_{k=1}^n \left[\log b_k - \log A - \frac{E}{T_k - T_0} \right]^2$$

Om $(\log A, E, T_0)$ är optimal ($\nabla r(\log A, E, T_0) = 0$) så gäller att:

$$r(\log A + \delta_{\log A}, E + \delta_E, T_0 + \delta_{T_0}) = r(\delta_{\log A}, E, T_0) + \frac{d^T H d}{2} + \dots$$

där $d^T = [\delta_{\log A}, \delta_E, \delta_{T_0}]$ och H är Hessianen av r .

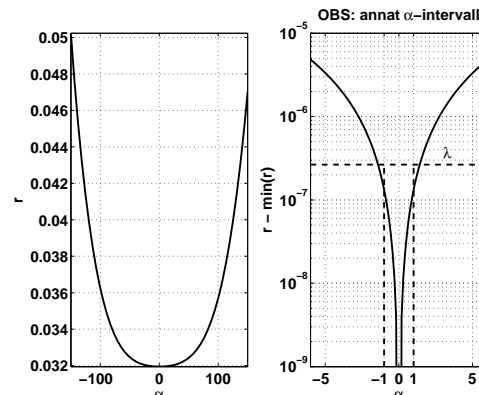
H :s minsta egenvärde är $\lambda \approx 2.6 \cdot 10^{-7}$, vilket innebär att om vi går ut från optimum i egenvärdesbeskrivningen, d (dvs. $Hd = \lambda d$), så ändrar sig knapp funktionsvärdet, dvs.

$$d^T H d = d^T \lambda d = \lambda d^T d \approx 2.6 \cdot 10^{-7} d^T d.$$

Jämför med $r(\log A, E, T_0) \approx 3.2 \cdot 10^{-2}$. Här är d^T :

$$-5.9815e-03 \quad 9.9969e-01 \quad -2.4039e-02$$

Följande plot visar $r(\log(A) + \alpha d_1, E + \alpha d_2, T_0 + \alpha d_3)$ som funktion av α . Vänstra bilden är funktionsvärdet och högra avvikelsen från det minsta värdet. Observera att det är olika α -intervall. De streckade linjerna markerar $\alpha = 1$ och λ .



80

Egenvektorn är tangent till den blå kurvan i den plot TE kommer att visa nu (den tar så stor plats att den inte är inkluderad i dessa sidor).

Nu några ord om störningsteori. Antag att vi har *en* parameter, x , och modellen $b_k = f(x, t_k)$. Antag att vi endast har osäkerhet i b_k . Vilken osäkerhet ger det i x ? Definiera

$$r(x) = \frac{1}{2} \sum_{k=1}^n (f(x, t_k) - b_k)^2$$

Villkor för minimum är att $r'(x) = 0$, dvs. (f' är derivatan med avseende på x):

$$0 = \sum_{k=1}^n (f(x, t_k) - b_k) f'(x, t_k) \quad (\dagger)$$

Vi behöver r'' senare, och den blir (jag slutar skriva ut (x, t_k)):

$$r''(x) = \sum_{k=1}^n (f')^2 + f f'' - b_k f''$$

Antag att x beror av b , så modellen ser ut som $b = f(x(b), t_k)$ och vi är intresserade av x'_{b_j} . Vi deriverar (\dagger) med avseende på b_j och får (δ_{jk} är Kroneckers delta):

$$0 = \sum_{k=1}^n f' x'_{b_j} f' + f f'' x'_{b_j} - \delta_{jk} f' - b_k f'' x'_{b_j} = r''(x) x'_{b_j} - f'(x, t_j)$$

så

$$x'_{b_j} = \frac{f'(x, t_j)}{r''(x)}$$

Antag att b_j har osäkerheten δ_{b_j} . Osäkerheten i x får vi med Taylorutveckling:

$$\Delta x = x(b_1 + \delta_{b_1}, \dots, b_n + \delta_{b_n}) - x(b) \approx x'_{b_1} \delta_{b_1} + \dots + x'_{b_n} \delta_{b_n} = \\ \frac{f'(x, t_1) \delta_{b_1} + \dots + f'(x, t_n) \delta_{b_n}}{r''(x)} = \frac{\sum_{j=1}^n f'(x, t_j) \delta_{b_j}}{r''(x)}$$

81

I vårt fall har vi tre parametrar, x , y och z , säg och man kan då visa (övning) att med

$$r(x) = \frac{1}{2} \sum_{k=1}^n (f(x, y, z, t_k) - b_k)^2$$

så blir

$$\begin{bmatrix} r''_{xx} & r''_{xy} & r''_{xz} \\ r''_{yx} & r''_{yy} & r''_{yz} \\ r''_{zx} & r''_{zy} & r''_{zz} \end{bmatrix} \begin{bmatrix} x'_{b_j} \\ y'_{b_j} \\ z'_{b_j} \end{bmatrix} = \begin{bmatrix} f'_x(x, y, z, t_j) \\ f'_y(x, y, z, t_j) \\ f'_z(x, y, z, t_j) \end{bmatrix}$$

där andradervatsmatrisen är Hessianen, H . Alltså gäller att osäkerheten i parametrarna ges av:

$$\begin{bmatrix} \Delta x \\ \Delta y \\ \Delta z \end{bmatrix} \approx \begin{bmatrix} r''_{xx} & r''_{xy} & r''_{xz} \\ r''_{yx} & r''_{yy} & r''_{yz} \\ r''_{zx} & r''_{zy} & r''_{zz} \end{bmatrix}^{-1} \sum_{j=1}^n \begin{bmatrix} f'_x(x, y, z, t_j) \\ f'_y(x, y, z, t_j) \\ f'_z(x, y, z, t_j) \end{bmatrix} \delta_{b_j} \quad (\ddagger)$$

Övningar: vad ger ovanstående för en linjär modell?

Om man anpassar (\ddagger) till vårt problem (med den logaritmerade modellen) så stämmer formeln utmärkt. Låt W vara matrisen

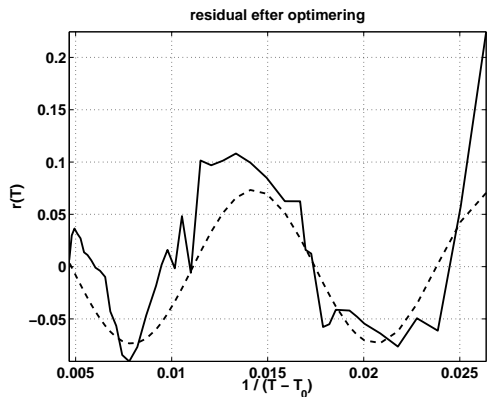
$$\begin{bmatrix} 8.0 & -0.8 & -5.1 & -6.3 & -5.4 & -3.1 & 0.3 & 4.4 & 8.9 \\ -1439 & 79 & 835 & 1068 & 940 & 562 & 11 & -656 & -1400 \\ 37.4 & -0.2 & -19.2 & -25.4 & -22.9 & -14.3 & -1.5 & 14.2 & 31.8 \end{bmatrix}$$

då är

$$\begin{bmatrix} \Delta A/A \\ \Delta E \\ \Delta T0 \end{bmatrix} \approx W \begin{bmatrix} \delta_{b_1}/b_1 \\ \vdots \\ \delta_{b_9}/b_9 \end{bmatrix}$$

82

Man kan säga mer om detta problem, med det kräver matematik och matematisk statistik som vi inte har gått igenom. Frågan är dock om man inte borde arbeta vidare med modellen. Residualvektorn ser inte speciellt slumpmässig ut. I följande bild har jag ritat $\log b_k - \log A - E/(T_k - T_0)$ som funktion av $1/(T_k - T_0)$. Mätdata kommer från en annan mätserie. Den steckade linjen är en anpassad sinuskurva.



Avslutningsvis: detta är ett vanligt problem. Här resultat från Google:

```
arrhenius "least squares" 160,000 träffar
"arrhenius equation" 371,000
"vogel-fulcher-tamman" 3,340
"vogel-fulcher-tamman" 1,610
```

83

Ickelinjära ekvationer

$$f(x) = 0, \quad f : \mathbb{R} \rightarrow \mathbb{R}$$

Vi kan också ha system av ekvationer:

$$\begin{cases} f(x, y, z) = 0 \\ g(x, y, z) = 0 \\ h(x, y, z) = 0 \end{cases}$$

Exempel:

$$\begin{cases} x^2 + y^2 - 2 = 0 \\ x - y = 0 \end{cases}$$

med rötter $(1, 1)$ och $(-1, -1)$.

En ickelinjär ekvation kan ha $0, 1, 2, 3, \dots, \infty$ lösningar.

Ett linjärt problem ($Ax = b$) har $0, 1$ eller ∞ många.

Det kan tänkas att f är definierad via en procedur.

$$f(x) = \int_{-4}^x (1+t)e^{-t^2} \sin t \, dt$$

Flertalet metoder:

- Startas med en (eller flera) approximation(er).
- Skapar en sekvens av approximationer som förhoppningsvis konvergerar mot nollstället.
- Kan divergera.
- Försöker att hitta ett nollställe åt gången.

84

Halveringsmetoden (bisektionsmetoden)

Givet en kontinuerlig funktion f och $p, n \in \mathbb{R}$ med $f(n) < 0$, $f(p) > 0$.

```

while  $|n - p| > tol$  do
   $m = (n + p)/2$ 
  if  $f(m) < 0$  then ! borde ta hand om exakt likhet också
     $n = m$ 
  else
     $p = m$ 
  endif
end

```

Om begynnelseintervallet har längden τ har intervallet längden

$$\frac{\tau}{2^k}$$

efter k iterationer.

Halveringsmetodens fördelar

- konvergerar alltid
- räcker att f är kontinuerlig
- får ett interval där roten ligger
- deterministisk i antal steg

och nackdelar

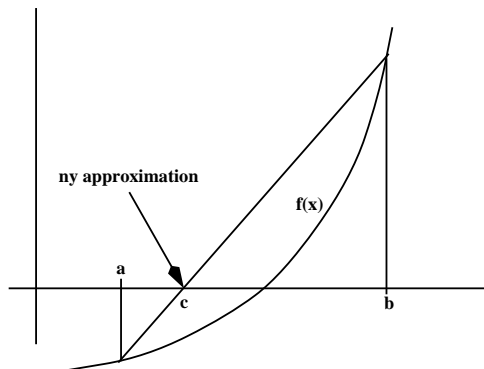
- kan ej generaliseras till system
- långsam
- kan vara svårt att hitta p och n

“långsam men säker”

85

Snabbare metoder: lös ett svårt problem genom att lösa en sekvens av enklare problem.

Linjärering, approximera f med en linjär funktion.



Sekanten (den räta linjen) har ekvationen

$$y(x) = \frac{f(b) - f(a)}{b - a}(x - a) + f(a)$$

varför c ges av

$$c = a - f(a) \frac{b - a}{f(b) - f(a)} = \frac{af(b) - bf(a)}{f(b) - f(a)}$$

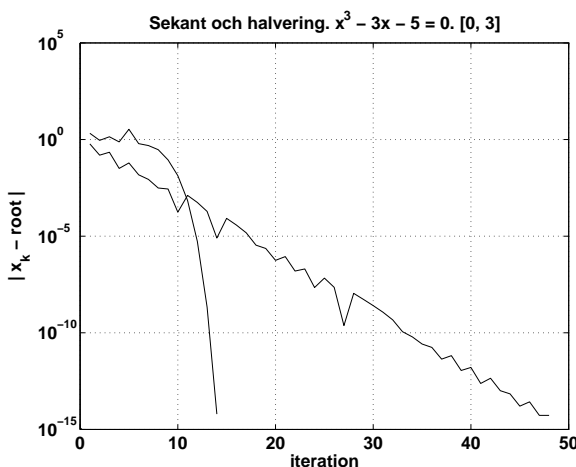
Iterera: givet två startvärden x_0, x_1

$$x_{k+1} = x_k - f(x_k) \frac{x_{k-1} - x_k}{f(x_{k-1}) - f(x_k)}, \quad k = 1, 2, \dots$$

Om f är linjär ger detta nollstället i ett steg.

86

Exempel: $f(x) = x^3 - 2x - 5$.



Sekantmetoden konvergerar i en iteration om funktion är linjär, ett faktum som används i flera hundra år.

87

‘A discussion of sheep’ is a problem taken from Robert Record’s “Grounde of Artes” (London, 1542?).

There is supposed a lawe made that (for furtheryng of tyllage) every man that doth kepe shepe, shall for every 10 shepe eare and sowe one acre of grounde, and for his allowance in sheepe pasture there is appointed for every 4 shepe one acre of pasture. Nowe is there a ryche shepemaister whyche hath 7000 akers of grounde, and would gladlye kepe as manye sheepe as he myght by that statute. I demaunde howe many shepe shall he kepe?

Fyrste I suppose he maye kepe 500 shepe, and for them he shall have in pasture, after the rate of 4 shepe to an acre, 125 akers, and in earable grounde 50 acres that is 175 in all, but this errore is to litell by 6825. Therefore I gesse agayn that he maye kepe 1000 shepe, that is in pasture 250 akers, and in tyllage 100 akers, which maketh 350, that is to lytle by 6650.

These bothe erroress with theyr positions I sette downe as you see, and multiply in crosse 6825 by 1000, and it maketh 6825000. Then I multiply 6650 by 500, and it doth amount to 3325000, which sum I do subtract out of the fyrist, & there remaineth 3500000, as the dividende. Also I doo subtract the lesser errore out of the greater, and so remayneth 175, by which I divide the said dividende, and the quotient will be 20000, so that I see that by this rate he that hathe 7000 acres of ground may keepe 20000 shepe: & therby I conjecture that many menne may kepe so many shepe: for many men (as the common talke is) have so many acres of grounde.

The ‘equals’ symbol ‘=’ appears in Recorde’s book “The Whetstone of Witte” published in 1557. He justifies using two parallel line segments “bicause noe 2 thynges can be moare equalle”.

88

Problem 12, kapitel 7 i "Nio kapitel om matematik".
(1 cùn = $\frac{1}{10}$ chǐ)

Two rats gnawing towards each other

Jīn yǒu héng hòu wǔ chǐ, Now let there be a wall of
liǎng shǔ dùi chuān. thickness 5 chǐ,
Dà shǔ rì yī chǐ, two rats gnawing towards (each other).
xiǎo shǔ yì rì yī chǐ. The big rat gnaws on the first day 1 chǐ,
Dà shǔ rì zì běi, the small rat also on the first day 1 chǐ.
xiǎo shǔ rì zì bàn, The big rat gnaws everyday twice itself,
The small rat gnaws everyday half itself.

Wèn
jǐ hé rì xiāng féng,
gè chuāng jǐ hé.

Question:
(In) how many days (do they) meet,
how much has each one gnawn?

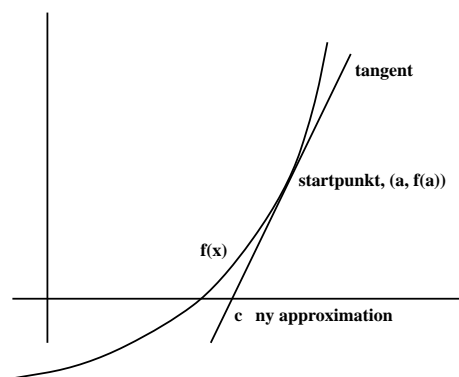
Dá yuē:
èr rì shí qī fēn rì zhī èr. The answer says:
(In) $2\frac{2}{17}$ days.
Dà shǔ chuān The big rat has gnawn
sān chǐ sì cùn shí qī fēn cùn zhī shí èr,
3 chǐ $4\frac{12}{17}$ cùn,
xiǎo shǔ chuān the small rat has gnawn
yī chǐ wǔ cùn shí qī fēn cùn zhī wǔ.
1 chǐ $1\frac{5}{17}$ cùn.

Shù yuē:
Jiā lìng èr rì,
bù zú wǔ cùn.
Lìng zhī sān rì,
yǒu yú sān chǐ qī cùn bàn.

The rule says:
Assuming 2 days,
the deficit is 5 cùn.
Let it (be) 3 days,
there is 3 chǐ $7\frac{1}{2}$ cùn in excess. ■

89

Newton's method
Kan approximera med tangenten i stället för med sekanten
(Newton-Raphson, 1690).



Tangenten har ekvationen:

$$y = f(a) + f'(a)(x - a)$$

När $x = c$ är $y = 0$

$$c = a - \frac{f(a)}{f'(a)}$$

Iterera

$$x_{k+1} = x_k - \frac{f(x_k)}{f'(x_k)}$$

Kräver endast ett startvärde, men måste ha derivatan.

90

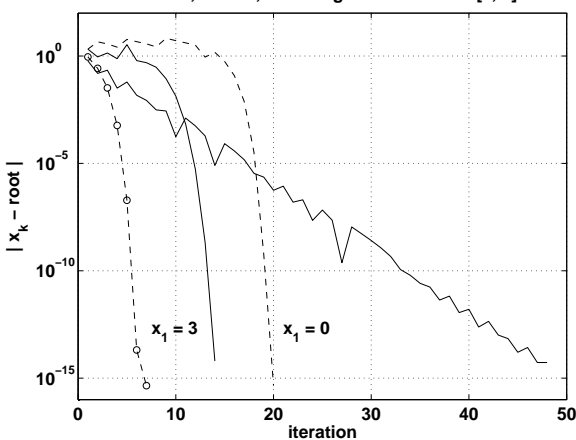
Exempel: Newtons eget exempel $x^3 - 2x - 5 = 0$.

Iterationen blir

$$x_{k+1} = x_k - \frac{x_k^3 - 2x_k - 5}{3x_k^2 - 2}$$

I bilden nedan har vi testat med de två startvärdena $x_0 = 0$ respektive $x_0 = 3$.

Newton, sekant, halvering. $x^3 - 2x - 5 = 0$. [0, 3]



Startvärdet viktigt! (roten = 2.0946)

Newton för system

Repetition av Taylors formel.

$$\begin{bmatrix} f(a+h, b+k) \\ g(a+h, b+k) \end{bmatrix} = \begin{bmatrix} f(a, b) \\ g(a, b) \end{bmatrix} + \begin{bmatrix} \frac{\partial f(a,b)}{\partial x} h + \frac{\partial f(a,b)}{\partial y} k \\ \frac{\partial g(a,b)}{\partial x} h + \frac{\partial g(a,b)}{\partial y} k \end{bmatrix} + \dots = \\ \begin{bmatrix} f(a, b) \\ g(a, b) \end{bmatrix} + \begin{bmatrix} \frac{\partial f(a,b)}{\partial x} & \frac{\partial f(a,b)}{\partial y} \\ \frac{\partial g(a,b)}{\partial x} & \frac{\partial g(a,b)}{\partial y} \end{bmatrix} \begin{bmatrix} h \\ k \end{bmatrix} + \dots$$

Matrisen av partiella derivator kallas Jacobianen.

Vi står i (x_j, y_j) och vill hitta korrektioner, (h, k) , så att $f(x_j + h, y_j + k) = 0$ och $g(x_j + h, y_j + k) = 0$.

$$\begin{bmatrix} 0 \\ 0 \end{bmatrix} = \begin{bmatrix} f(x_j + h, y_j + k) \\ g(x_j + h, y_j + k) \end{bmatrix} \approx \begin{bmatrix} f(x_j, y_j) \\ g(x_j, y_j) \end{bmatrix} + \underbrace{\begin{bmatrix} \frac{\partial f(x_j,y_j)}{\partial x} & \frac{\partial f(x_j,y_j)}{\partial y} \\ \frac{\partial g(x_j,y_j)}{\partial x} & \frac{\partial g(x_j,y_j)}{\partial y} \end{bmatrix}}_{J(x_j,y_j)} \begin{bmatrix} h \\ k \end{bmatrix}$$

Om Jacobianen, J , är ickesingulär kan vi få de approximativa korrektionerna:

$$\begin{bmatrix} h \\ k \end{bmatrix} \approx -J^{-1}(x_j, y_j) \begin{bmatrix} f(x_j, y_j) \\ g(x_j, y_j) \end{bmatrix}$$

Iterera!

$$\begin{bmatrix} x_{j+1} \\ y_{j+1} \end{bmatrix} = \begin{bmatrix} x_j \\ y_j \end{bmatrix} - J^{-1}(x_j, y_j) \begin{bmatrix} f(x_j, y_j) \\ g(x_j, y_j) \end{bmatrix}$$

Jämför med det skalära fallet:

$$x_{j+1} = x_j - f(x_j)/f'(x_j)$$

Vi räknar naturligtvis inte ut inversen utan löser systemet:

$$J(x_j, y_j) c = \begin{bmatrix} f(x_j, y_j) \\ g(x_j, y_j) \end{bmatrix}, \text{ med } c = - \begin{bmatrix} h \\ k \end{bmatrix}$$

91

92

Exempel : $\begin{cases} x^2 + y^2 - 2 = 0 \\ xy - \frac{1}{2} = 0 \end{cases}$

Våra funktioner är alltså: $\begin{cases} f(x, y) = x^2 + y^2 - 2 \\ g(x, y) = xy - \frac{1}{2} \end{cases}$

Newtons metod blir:

$$\begin{bmatrix} x_{j+1} \\ y_{j+1} \end{bmatrix} = \begin{bmatrix} x_j \\ y_j \end{bmatrix} - \begin{bmatrix} 2x_j & 2y_j \\ y_j & x_j \end{bmatrix}^{-1} \begin{bmatrix} x_j^2 + y_j^2 - 2 \\ x_j y_j - \frac{1}{2} \end{bmatrix}$$

Om vi startar med $x_0 = -3$ och $y_0 = 10$ så får vi följande approximationer:

```

-3.0000e+00 -1.4121e+00 -5.4236e-01 -1.4188e-02
1.0000e+01 5.1264e+00 2.8033e+00 1.8081e+00

2.7380e-01 3.5877e-01 3.6597e-01 3.6603e-01
1.4593e+00 1.3733e+00 1.3661e+00 1.3660e+00

3.6603e-01 3.6603e-01 3.6603e-01
1.3660e+00 1.3660e+00 1.3660e+00

>> f = 
-3.3660e+00 -1.7781e+00 -9.0838e-01 -3.8021e-01
8.6340e+00 3.7603e+00 1.4373e+00 4.4208e-01

-9.2230e-02 -7.2583e-03 -5.1931e-05 -2.6966e-09
9.3297e-02 7.2586e-03 5.1931e-05 2.6966e-09

0 0 0
0 0 0

```

93

Om man arbetar med stora system kan man inte ha variabler x, y, z, w, \dots utan vi får använda vektorer, analogt för funktionerna.

Exemplet kan skrivas på följande vis. x och y får vara elementen x_1 respektive x_2 i vektorn (kolonnmatsisen) x .

$$\begin{cases} x_1^2 + x_2^2 - 2 = 0 \\ x_1 x_2 - \frac{1}{2} = 0 \end{cases}$$

Vår funktion, f , med två komponenter är:

$$\begin{cases} f_1(x_1, x_2) = x_1^2 + x_2^2 - 2 \\ f_2(x_1, x_2) = x_1 x_2 - \frac{1}{2} \end{cases}$$

Normalt skriver vi bara $f(x) = 0$ där f , x och 0 är vektorer. f är alltså en vektorvärd funktion som beror av en vektor.

Newtons metod blir (notera placeringen av iterationsindex):

$$\begin{bmatrix} x_1^{(j+1)} \\ x_2^{(j+1)} \end{bmatrix} = \begin{bmatrix} x_1^{(j)} \\ x_2^{(j)} \end{bmatrix} - \begin{bmatrix} 2x_1^{(j)} & 2x_2^{(j)} \\ x_2^{(j)} & x_1^{(j)} \end{bmatrix}^{-1} \begin{bmatrix} (x_1^{(j)})^2 + (x_2^{(j)})^2 - 2 \\ x_1^{(j)} x_2^{(j)} - \frac{1}{2} \end{bmatrix}$$

Allmänt:

$$x^{(j+1)} = x^{(j)} - J^{-1}(x^{(j)})f(x^{(j)})$$

94

Hur skall vi karakterisera de olika konvergenshastigheterna för halvering, sekant och Newton?

Om $f(x^*) = 0$ och $\lim_{k \rightarrow \infty} \frac{|x_{k+1} - x^*|}{|x_k - x^*|^r} = C$ konstant $< \infty$

så säger vi att metoden har konvergentsordning r

- om $r = 1$ och $C < 1$ så har vi linjär konvergens
- om $r > 1$ så har vi superlinjär konvergens
- om $r = 2$ så har vi kvadratisk konvergens

Vad innebär $r = 1$? Om x_0 ligger tillräckligt nära x^* så gäller att:

$$|x_1 - x^*| \approx C|x_0 - x^*|, \quad |x_2 - x^*| \approx C|x_1 - x^*| \approx C^2|x_0 - x^*|$$

$$\text{Dvs. } |x_k - x^*| \approx C^k|x_0 - x^*|$$

Exempel: $|x_{k+1} - x^*| \approx C|x_k - x^*|^r$. Antag att $|x_0 - x^*| = 0.1$ och $C = 0.1$, då är $|x_k - x^*|$:

<u>linjär</u>	<u>superlinjär</u>	<u>kvadratisk</u>	
k	$r = 1$	$r = 1.618$	$r = 2$
0	1e-1	1e-1	1e-1
1	1e-2	2e-3	1e-3
2	1e-3	6e-6	1e-7
3	1e-4	3e-10	1e-15
4	1e-5	5e-17	1e-31

Normalt (nära lösningen för sekant och Newton) är:

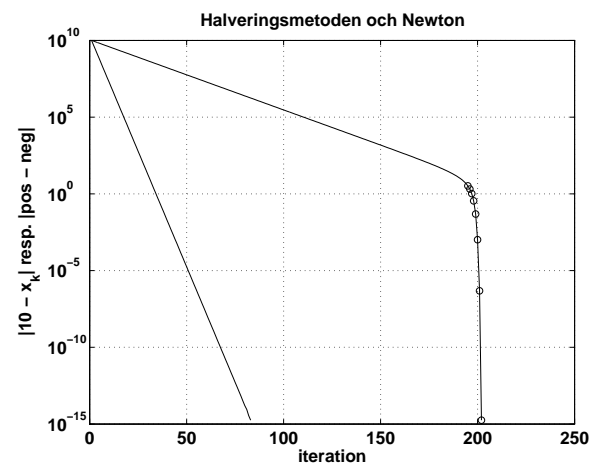
- Halveringsmetoden linjär med $C = 0.5$.
- Sekantmetoden superlinjär med $r = (1 + \sqrt{5})/2 \approx 1.618$
- Newtons metod kvadratiskt konvergent (om enkelrot)

95

Exempel: lös med Newtons metod och halveringsmetoden

$$x^{10} - a = 0, \quad a = 10^{10}$$

Använd det urusla startvärdet a ($[0, a]$ för halveringsmetoden). Uruselt eftersom $x^* = 10$.



96

Konvergensordningen är definierad som ett gränsvärde. Det kan krävas många steg innan x_k ligger så nära x^* att den kvadratiska konvergensen sätter igång.

Om den kommer igång. Både Newtons metod och sekantmetoden kan divergera. "Snabba men osäkra."

Hybridmetoder: använd "dyra" Newton där det lönar sig och en billig metod för övrigt.

Vilken metod är billigare, Newton eller sekant?

Sekantmetoden kräver ett funktionsvärdet i varje steg. Newton kräver både ett funktionsvärdet och en derivata men konvergerar snabbare (nära nollstället).

Vi är normalt inte intresserade av att minimera antalet iterationer. Det viktiga är det totala körtiden och minnesbehovet.

- få komplexa iterationer
- många enkla iterationer

97

Den metodoberoende feluppskattningen

Givet approximationen \hat{x} och det exakta värdet x^* hur skall vi uppskatta $|\hat{x} - x^*|$?

Det vi kan beräkna är "residualen" $f(\hat{x})$.

Medelvärdessatsen:

$$f(\hat{x}) = f(x^*) + (\hat{x} - x^*)f'(\xi), \quad \xi \in (\hat{x}, x^*)$$

Antag att $f'(\xi)$ är kontinuerlig med $M = \min |f'(\xi)|, \xi \in [\hat{x}, x^*]$.

Om då $M > 0$ gäller att:

$$|\hat{x} - x^*| \leq |f(\hat{x})|/M$$

M kan vara noll. Tag $f(x) = x^2$ (så nollan är dubbelrot).

Då är både $f(0) = 0$ och $f'(0) = 0$.

Exempel:

$$f(x) = 1/x - 1/10, \quad \hat{x} = 11, \quad f(\hat{x}) = 1/11 - 1/10 = -1/110,$$

$$|f'(\xi)| = 1/\xi^2, \quad |\hat{x} - x^*| \leq \frac{|1/11 - 1/10|}{1/11^2} = 1.1$$

f är strängt avtagande med $f(9) > 0$ och $f(11) < 0$ varför $(9, 11)$ innehåller precis en rot. Beloppet av derivatan är $1/x^2$ som är strängt avtagande. Det minsta värdet på derivatan, i intervallet, är därför $1/11^2$.

98

Avbrotskriterium

I sekantmetoden får vi inte en sekvens av intervall som innehåller roten. Metoden kan ju till och med divergera. Så, hur vet vi när vi skall avsluta iterationen? Vi har ett avbrotskriterium som kontrollerar:

- k , för att undvika oändliga loopar (divergens, eller för små toleranser)
- $|x_k - x_{k-1}|$, borde gå mot noll vid konvergens, men litet värde kan betyda att det går långsamt
- $|f(x_k)|$, noll i lösningen (tänk också på $|f(x_k)|/M$)

Första försöket: avsluta om (\vee = eller):

$$k > maxit \quad \vee \quad |x_k - x_{k-1}| \leq tol_x \quad \vee \quad |f(x_k)| \leq tol_f$$

$maxit$ (max antal iterationer), tol_x och tol_f ges av användaren. Man kan givetvis kräva att $|x_k - x_{k-1}| \leq tol_x \quad \& \quad |f(x_k)| \leq tol_f$. Inte skalningsoberoende: $10^5 f(x) = 0$ borde helst fungera lika bra som $f(x) = 0$. Motstående för $f(10^5 x) = 0$. Toleranserna måste skalias efter problemet.

Andra försöket: avsluta om:

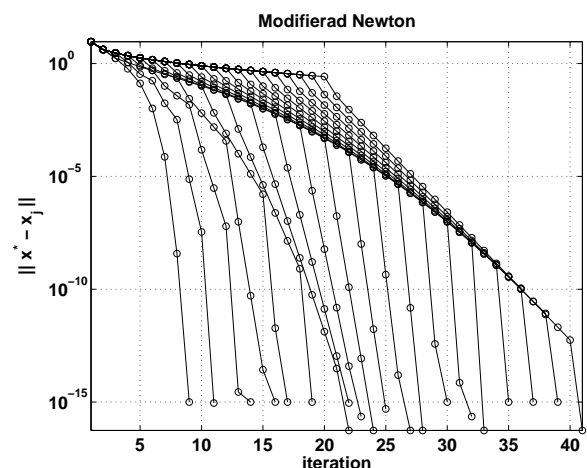
$$k > maxit \quad \vee \quad |x_k - x_{k-1}| \leq tol_x|x_0| \quad \vee \quad |f(x_k)| \leq tol_f|f(x_0)|$$

Fungerar inte om $x_0 = 0$. Vi skulle kanske kunna uppskatta derivatan för att få något i stil med $|\hat{x} - x^*| \leq |f(\hat{x})|/M$.

Det är inte enkelt att utforma ett säkert och effektivt kriterium. Ett kriterium går alltid att lura eftersom vi endast känner funktionen (och kanske derivatan) i ett ändligt antal punkter. Det finns oändligt många funktioner som går genom dessa punkter.

99

Dyr och komplicerat att beräkna $J(x)$. Alternativ?
Modifierad Newton: Beräkna $J(x^{(j)})$ då och då (inte i varje iteration).



Differensapproximation av J ; slipper beräkna de n^2 derivatorna explicit. Om f är given via en algoritm kanske det inte är möjligt att beräkna derivatorna. Välj ett lämpligt tal δ (se övning):

$$f(x + \delta e_i) \approx f(x) + \delta J e_i$$

eller

$$J e_i \approx \frac{f(x + \delta e_i) - f(x)}{\delta}$$

100

Fixpunkter och lite teori

Upprepade tryckningar på **cos**-knappen. Tre olika startvärden.

-5.0000e+00	0	2.0000e+01
2.8366e-01	1.0000e+00	4.0808e-01
9.6004e-01	5.4030e-01	9.1788e-01
5.7349e-01	8.5755e-01	6.0750e-01
8.4001e-01	6.5429e-01	8.2108e-01
6.6745e-01	7.9348e-01	6.8143e-01
7.8540e-01	7.0137e-01	7.7667e-01
7.0711e-01	7.6396e-01	7.1325e-01
7.6025e-01	7.2210e-01	7.5624e-01
7.2467e-01	7.5042e-01	7.2742e-01
7.4872e-01	7.3140e-01	7.4689e-01
7.3256e-01	7.4424e-01	7.3380e-01
7.4346e-01	7.3560e-01	7.4263e-01
7.3613e-01	7.4143e-01	7.3669e-01
7.4107e-01	7.3751e-01	7.4070e-01
7.3774e-01	7.4015e-01	7.3800e-01
7.3999e-01	7.3837e-01	7.3982e-01
7.3848e-01	7.3957e-01	7.3859e-01
7.3949e-01	7.3876e-01	7.3942e-01
7.3881e-01	7.3930e-01	7.3886e-01

Så, i varje kolumn har vi $\cos(\cos(\cos(\cos(\dots \cos(x_0) \dots))))$. Detta kan skrivas på formen $x_{k+1} = \cos x_k$.

- Iterationen verkar konvergera
- Gör den alltid det?
- Hur snabbt konvergerar det?
- Kan vi använda detta till något?

101

Om vi får konvergens gäller, i vårt exempel, att $x = \cos x$, dvs. gränsvärdet är lösningen till en ekvation.

```
>> [x, cos(x), x - cos(x)]
ans = 7.3909e-01 7.3909e-01 0
```

Låt oss trycka x^2 -knappen istället. Vi noterar först att om $x_0 \leq 0$ så är alla efterföljande värden ickenegativa. Det räcker att studera ickenegativa värden med andra ord.

Tre olika saker kan inträffa:

1. om $0 \leq x_0 < 1$, så konvergerar värdena mot 0.
T.ex. 0.1, 0.01, 0.0001, ...
2. $x_0 = 1$ medför att vi stannar i ett
3. $x_0 > 1$ medför att $x_k \rightarrow \infty$

Punkten ett är "repulsiv" i den meningens att oavsett hur nära vi startar ett (om vi inte startar precis i ettan) så stöts vi därifrån.

Nollan "attraherar". Om $|x_0| < 1$ så konvergerar följen mot noll.

Vi kommer att studera iterationer av typen $x_{k+1} = g(x_k)$ (inte enbart "knapptryckningsfunktioner") där g är kontinuerligt deriverbar. Om x_k konvergerar, $x_k \rightarrow x^*$, gäller att $x^* = g(x^*)$. Vi kallar g fixpunktiteration och x^* fixpunkt.

Startar vi i en fixpunkt får vi tillbaks den.

Vi har två syften med de följande sidorna:

- givet en ekvation, $f(x) = 0$, hitta en fixpunktiteration, g , som har en attraktiv fixpunkt, x^* , sådan att $f(x^*) = 0$.
- vi vill förstå vilka egenskaper hos g som ger konvergens

102

Newton's metod är en speciell fixpunktiteration, ty

$$x_{k+1} = x_k - \frac{f(x_k)}{f'(x_k)}, \quad x_{k+1} = g(x_k) \text{ med } g(x) = x - \frac{f(x)}{f'(x)}$$

Om Newtons metod konvergerar mot x^* gäller i gränsen att

$$x^* = x^* - \frac{f(x^*)}{f'(x^*)}$$

dvs $f(x^*) = 0$ (antag enkelrot, dvs. $f'(x^*) \neq 0$). Så fixpunkten är en lösning till vårt problem.

När konvergerar en fixpunktiteration?

Dvs om det existerar x^* så att $x^* = g(x^*)$, när gäller att

$$\lim_{k \rightarrow \infty} |x_k - x^*| = 0 ?$$

Idé: konvergens medför att felet, $|x_k - x^*|$, minskar dvs. $|x_{k+1} - x^*| < |x_k - x^*|$, så låt oss studera felet.

$$\begin{aligned} x_{k+1} - x^* &= g(x_k) - x^* = g(x^* + x_k - x^*) - x^* = \\ &= g(x^*) + (x_k - x^*)g'(\theta_k) - x^* = g'(\theta_k)(x_k - x^*), \quad \theta_k \in (x_k, x^*) \end{aligned}$$

Så,

$$|x_{k+1} - x^*| = |g'(\theta_k)| |x_k - x^*|$$

Ett steg till:

$$|x_{k+2} - x^*| = |g'(\theta_{k+1})| |x_{k+1} - x^*| = |g'(\theta_{k+1})| |g'(\theta_k)| |x_k - x^*|$$

Alltså:

$$|x_k - x^*| = |g'(\theta_{k-1})| \cdots |g'(\theta_1)| |g'(\theta_0)| |x_0 - x^*|$$

Så om det finns ett tal, λ , där alla $|g'(\theta_k)| \leq \lambda < 1$ får vi konvergens.

$$|x_k - x^*| \leq \lambda^k |x_0 - x^*|$$

Följande villkor garanterar konvergens:

- x_0 tillräckligt nära x^*
- g kontinuerligt deriverbar med $|g'(x^*)| < 1$

Den andra punkten medför att det existerar ett intervall, $I = [x^* - \delta, x^* + \delta]$ sådant att $|g'(x)| \leq \lambda < 1, x \in I$.

Om vi ser till att starta tillräckligt nära x^* , så stannar alla x_k kvar i intervallet. Detta medför att alla $\theta_k \in I$.

Första steget: Om $x_0 \in I$ så gäller att $\theta_0 \in I$, varför $|g'(\theta_0)| \leq \lambda$ vilket medför att $x_1 \in I$. Induktion!

Normalt linjär konvergens; ju mindre $|g'(x^*)|$ desto snabbare konvergens:

$$\frac{|x_{k+1} - x^*|}{|x_k - x^*|} \rightarrow |g'(x^*)|$$

Newton?

$$g(x) = x - \frac{f(x)}{f'(x)}$$

så

$$g'(x^*) = 1 - \frac{(f'(x^*))^2 - f''(x^*)f(x^*)}{(f'(x^*))^2} = 0, \quad \text{om } x^* \text{ enkelrot}$$

Innebär (minst) kvadratisk konvergens (inte att det konvergerar i ett steg).

103

104

Några exempel:

$g(x) = x^2$ har vi redan analyserat. $x_{k+1} = g(x_k)$ eller $x_{k+1} = x_k^2$. Fixpunkter? $g(x^*) = x^*$ eller $(x^*)^2 = x^*$ så $x^* = 0$ eller $x^* = 1$. Konvergens? $g'(x) = 2x$ och $g'(0) = 0$ så bättre än linjär konvergens $g'(1) = 2$ divergens.

$$x_0 = 10^{-1}, x_1 = 10^{-2}, x_2 = 10^{-4}, \dots$$

$g(x) = x/2$. Fixpunkter: $x^* = x^*/2$ så $x^* = 0$. Konvergens? $g'(x^*) = 1/2$. Linjär konvergens: $x_0 = 1, x_1 = 1/2, x_2 = 1/4, \dots$

$g(x) = \cos x$. Fixpunkter: $x^* = \cos x^*$ så $x^* \approx 0.739$. Konvergens? $g'(x^*) = -\sin x^*$ och $|\sin x^*| \approx 0.674 < 1$ så linjär konvergens.

Lös $x^2 - 2 = 0$. Vi kan ju använda Newtons metod, men låt oss testa med omskrivningen $[x^2 - 2]/\alpha + x = x$ och tag $g(x) = [x^2 - 2]/\alpha + x$. Fixpunktarna är rötterna till ekvationen. Konvergens? $g'(x) = 2x/\alpha + 1$. Tar vi t.ex. $\alpha = -3$ så får vi rätt snabb konvergens ty $|g'(\sqrt{2})| = |-2\sqrt{2}/3 + 1| \approx 0.05719$.

```
>> x = 1; for k=1:9, x(k+1)=x(k)-(x(k)^2 - 2) / 3; end
>> d = x - sqrt(2) % editerat
d = -4.1e-01 -8.0e-02 -6.8e-03 -4.0e-04 -2.3e-05
-1.3e-06 -7.5e-08 -4.3e-09 -2.4e-10 -1.4e-11

>> abs(d(2:end) ./ d(1:end-1))
ans = 1.9526e-01 8.4151e-02 5.9460e-02 5.7326e-02
5.7199e-02 5.7191e-02 5.7191e-02 5.7191e-02
5.7192e-02
```

105

Interpolation

Exempel:

Gymnasiet på "den gamla goda tiden", räknesticka och tabeller.

Vi vill beräkna $\sqrt{1.245}$ och har en tabell över $y = \sqrt{t}$ där $t = 0, 0.01, 0.02, \dots, 9.99, 10.00$. y -värdena är givna med fem siffror.

Mer realistiskt, nu för tiden, vore en tabell, $t_k, y_k, k = 1, \dots, n$, där vi av någon anledning inte kan beräkna $y(t)$ för alla t (mättekniska problem, gamla data).

Hur ska vi gå tillväga. I min skoltabell fanns röda tal mellan y -värdena, differenser, för att underlätta linjär interpolation

t	y
...	...
1.22	1.1045 ₄₅
1.23	1.1091 ₄₆
1.24	1.1136 ₄₅
1.25	1.1180 ₄₄
1.26	1.1225 ₄₅
1.27	1.1269 ₄₄

44 i 1.1180₄₄ ska tolkas som $10^4(1.1180 - 1.1136)$. Så

$$\sqrt{1.245} \approx 1.1136 + \frac{1.245 - 1.24}{1.25 - 1.24} 0.0044 = 1.1158, \text{ fel } \approx -4.3 \cdot 10^{-6}$$

Andra tillämpningar som nyttjar interpolation är kvadratur (integration), lösning av randvärdesproblem, förenkling av funktioner, härledning av metoder (t.ex. sekantmetoden).

Allmänt har vi (t_k, y_k) , $k = 1, \dots, m$ med $t_1 < t_2 < \dots < t_m$ och vill hitta en funktion (polynom i denna kurs), p , så att $p(t_k) = y_k$, $k = 1, \dots, m$. Ibland lägger man dessutom krav på derivator, sk Hermite-interpolation.

106

Låt oss anta att det finns en bakomliggande funktion, f , (i exemplet $\sqrt{\cdot}$) som vi vill interpolera. Denna funktion är inte alltid känd.

Vi känner y_1, y_2 som är approximationer av f i två punkter $t_1 < t_2$, $y_1 = f(t_1) + \delta_1$ samt $y_2 = f(t_2) + \delta_2$ och vi vill approximera $f(t)$ där $t_1 < t < t_2$.

Vi bestämmer nu interpolationspolynomet, p , som uppfyller interpolationsvillkoren: $p(t_1) = y_1$ samt $p(t_2) = y_2$. Två villkor bestämmer en konstant- eller en linjär funktion så vi kräver att p har grad ≤ 1 . Ansätt $p(t) = x_1 + x_2 t$, vilket ger följande linjära ekvationssystem:

$$\begin{cases} x_1 + x_2 t_1 = y_1 \\ x_1 + x_2 t_2 = y_2 \end{cases} \Rightarrow \begin{cases} x_1 = (t_2 y_1 - t_1 y_2)/(t_2 - t_1) \\ x_2 = (y_2 - y_1)/(t_2 - t_1) \end{cases}$$

så att

$$p(t) = \frac{t_2 y_1 - t_1 y_2}{t_2 - t_1} + \frac{y_2 - y_1}{t_2 - t_1} t = y_1 + (t - t_1) \frac{y_2 - y_1}{t_2 - t_1}$$

Observera att den andra omskrivningen direkt svarar mot tabellräkningen. Felet $p(t) - f(t)$ kan skrivas enligt:

$$p(t) - f(t) = f(t_1) + \delta_1 + (t - t_1) \frac{f(t_2) - f(t_1) + \delta_2 - \delta_1}{t_2 - t_1} - f(t) =$$

$$\underbrace{f(t_1) + (t - t_1) \frac{f(t_2) - f(t_1)}{t_2 - t_1}}_{p_f(t)} - \underbrace{f(t) + \delta_1 + (t - t_1) \frac{\delta_2 - \delta_1}{t_2 - t_1}}_{p_\delta(t)}$$

Låt oss införa de två polynomen p_f och p_δ sådana att $p_f(t_1) = f(t_1)$, $p_f(t_2) = f(t_2)$ resp. $p_\delta(t_1) = \delta_1$, $p_\delta(t_2) = \delta_2$. Då är tydlig $p = p_f + p_\delta$. Detta kan man direkt se från det linjära ekvationssystemet, lösningen x beror ju linjärt på högerledet.

$$p(t) - f(t) = p_f(t) + p_\delta(t) - f(t) = p_f(t) - f(t) + p_\delta(t)$$

107

De två delarna i felet kan tolkas som följer: $p_f(t) - f(t)$ anger hur väl p_f approximerar funktionsvärdena om de hade varit utan fel. $p_\delta(t)$ interpolerar (avrundnings)felet i tabellvärdena.

Låt oss nu uppskatta felet $e(t) = f(t) - p_f(t)$ (denna härledning kan rätt enkelt generaliseras till polynom av högre gradtal). Vi antar att $t \neq t_1, t_2$ ty $e(t_1) = e(t_2) = 0$. Inför

$$g(z) = e(z) - \frac{(z - t_1)(z - t_2)}{(t - t_1)(t - t_2)} e(t)$$

där vi betraktar t som en fix punkt, g beror alltså av z . Det gäller att $g(t_1) = g(t_2) = 0$ och dessutom är $g(t) = 0$. g har alltså tre distinkta nollställen varför, enligt medelvärdessatsen, $g'(z)$ har två distinkta nollställen. $g''(z)$ har alltså ett nollställe, kalla det $\theta \in (t, t_1, t_2)$ (det minsta intervallet som innehåller t, t_1, t_2). Vi deriverar nu g (med avseende på z) och får (ty grad $p_f \leq 1$):

$$g''(z) = e''(z) - \frac{2}{(t - t_1)(t - t_2)} = f''(z) - \frac{2}{(t - t_1)(t - t_2)} e(t)$$

Eftersom $g''(\theta) = 0$ kan vi lösa ut $e(t)$ och får

$$e(t) = \frac{f''(\theta)}{2} (t - t_1)(t - t_2)$$

Antag att vi tar med fler punkter och interpolerar med ett polynom av högre gradtal. Kommer felet i approximationen att minska?

Vi kan först se på den allmänna satsen: Om p_f interpolerar f för de n t-värdena $t_1 < t_2 < \dots < t_n$ så gäller att

$$f(t) - p_f(t) = \frac{f^{(n)}(\theta)}{n!} (t - t_1)(t - t_2) \cdots (t - t_n)$$

där $\theta \in (t, t_1, t_2, \dots, t_n)$.

$n!$ ser lovande ut, men resten är inte så lätt att bedöma (θ känner vi inte t.ex.), så vi ser på vårt exempel i stället.

108

I exemplet kommer inte felet att minska eftersom det ser ut som:

$$p(t) - f(t) = p_f(t) - f(t) + p_\delta(t)$$

så även om vi kan göra $p_f(t) - f(t)$ mindre, så kommer $p_\delta(t)$, som svarar mot avrundningsfelet i tabellvärdena, att vara närmast konstant, $10^{-5} - 10^{-6}$.

Situationen ändras om tabellvärdena hade givits med mindre fel, anta att $\delta_1 = \delta_2 = 0$. I exemplet hade då felet i approximationen varit 10^{-6} med två punkter (vårt förstagradspolynom), $\approx 10^{-8}$ med tre punkter (andragradspolynom), $\approx 10^{-10}$ med fyra punkter och $\approx 10^{-12}$ med fem punkter.

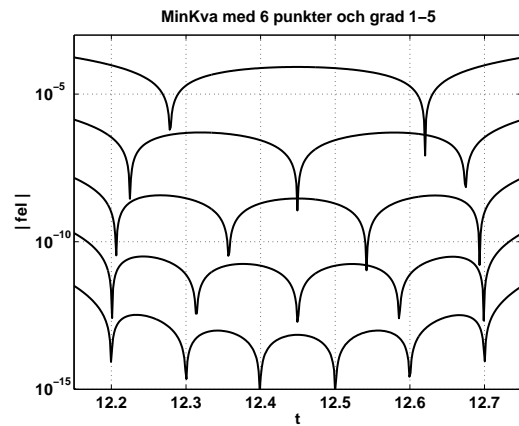
Observera att felet beror på hur t -punkterna ligger relativt den punkt där vi vill approximera f . I exemplet har jag lagt punkterna symmetriskt kring detta värde.

Så det kan löna sig att höja gradtalet förutsatt att tabellvärdena inte är behäftade med för stora fel. Polynom av höga gradtal är dock inte så lättanterliga, mer om detta senare.

Kan vi använda polynomet för att extrapolera (gå utför $[t_1, t_n]$)? Vi vet att $|p(t)| \rightarrow \infty$ när $|t| \rightarrow \infty$ (om inte p är konstant), så det kan vara vansktigt. Polynom kan växa snabbt!

Hur passar minstakvadratanpassning in i detta sammanhang? Antag att vi anpassar mer än två (t_k, y_k) -punkter till ett förstagrads-polynom. Kommer vi då att få en bättre approximation av det sökta värdet? Knappast. I bilden nedan har jag anpassat sex punkter, $t_k = 12.2 : 0.1 : 12.7$, ("exakta" y -värden) till polynom av grader 1-5 (när graden är fem har vi interpolation). Den lodräta axeln visar $|p_k(t) - f(t)|, k = 1, \dots, 5$ (grad $p_k = k$).

109



Vi noterar att felet ökar utanför intervallet (extrapolation).

Dipparna i felet svarar mot att polynomen interpolerar f i vissa punkter. I det sista fallet kräver vi detta, i de övriga fallen "räkar" det bli så. Approximationen ligger knappast helt på ena sidan om f eftersom felet kan minska om approximationen skär f . Vi kan alltså notera att minstakvadratpolynomet p_1 svarar mot ett interpolationspolynom av grad ett. p_1 interpolerar dock inte f i något av t_j -värdena.

Varför använder man då minstakvadratanpassning?

Problemlösningen är ofta en annan. Modellen och antalet parametrar är givna och man vill få en så säker bestämning av parametrarna som möjligt. I polynomapproximationen ovan ändrade vi antalet punkter och därmed ändrades även antalet parametrar (koefficienter i polynomet).

110

Skulle man t.ex. ha två parametrar och endast använda två mät-punkter så får man en mycket osäker bestämning av parametrarna.

Det finns en annan typ av approximation där vi använder polynom men inte kräver interpolation. Säg att vi vill approximera $\sin t$ (används av olika programspråk, Java, Fortran, C/C++ etc.). På en Sundator är approximationskoden skriven i C (och åtkomlig via www) och den kompilerade koden finns i **libm**-biblioteket.

Först gör man argumentreduktion, man reducerar t så att det ligger i ett litet interval kring origo (\sin är ju periodisk). Ju kortare intervall man har desto enklare blir det att approximera.

Man kan också utnyttja att \sin är udda. Det visar sig (se min FAQ på www) att det räcker att approximera $\sin t, t \in [0, \pi/4]$.

På detta intervall använder man ett polynom, av grad 13, och med enbart udda potenser. Koefficienterna, x_k , är valda så att

$$\max_{0 \leq t \leq \pi/4} \left| \frac{\sin t}{t} - (1 + x_1 t^2 + x_2 t^4 + x_3 t^6 + x_4 t^8 + x_5 t^{10} + x_6 t^{12}) \right|$$

minimeras, ett sk minimax-problem. Man vill alltså minimera den maximala relativa avvikelsen.

Till skillnad från Taylorutveckling försöker man sprida ut felet över hela intervallet. Taylorutvecklingar har ett litet fel i den punkt där man gör utvecklingen. För att få ett litet fel över hela intervallet måste man då ta med onödigt många termer.

111

Några sätt att bestämma interpolationspolynomet

Det står polynomet i bestämd form, detta pga att det alltid existerar och är entydigt.

Interpolationsproblemet: hitta ett polynom p med grad högst $n-1$ sådant att $p(t_k) = y_k, k = 1, \dots, n$, där alla (t_k, y_k) är givna och $t_1 < t_2 < \dots < t_n$.

Låt oss anta att existensen är given och studera entydigheten. Antag att det finns ett annat polynom, q , av grad $\leq n-1$ som interpolerar data. Det gäller då att $p(t_k) - q(t_k) = 0, k = 1, \dots, n$, vilket säger att polynomet $p - q$ av grad $\leq n-1$ har n distinkta nollställen. $p - q$ måste därför vara nollpolynomet och $p = q$.

Polynomet behöver inte alltid ha grad $n-1$. Om vi t.ex. väljer punkterna $y_k = t_k^2, k = 1, \dots, 10$ så klarar vi oss med $p(t) = t^2$ fastän $n = 10$.

Nu till existensen. Den går att bevisa på flera olika sätt. Vi kommer att använda ett konstruktivt bevis. Antag att vi har $n = 3$ punkter. Här följer interpolationspolynomet på Lagranges form:

$$p(t) = y_1 \frac{(t-t_2)(t-t_3)}{(t_1-t_2)(t_1-t_3)} + y_2 \frac{(t-t_1)(t-t_3)}{(t_2-t_1)(t_2-t_3)} + y_3 \frac{(t-t_1)(t-t_2)}{(t_3-t_1)(t_3-t_2)}$$

En fördel med denna form på polynomet är att det är lätt att ställa upp och den kan vara användbar vid teoretiskt arbete. Formen lämpar sig dock inte så väl för numeriska beräkningar (många operationer). Det finns också risk för under- overflow om man inte tänker sig för.

112

Ett annat sätt att konstruera polynomet är att sätta upp ett ekvationssystem som vid gjorde i det linjära fallet. Så vi ansätter $p(t) = x_1 + x_2t + x_3t^2$. Interpolationsvillkoren ger då problemet:

$$\begin{bmatrix} 1 & t_1 & t_1^2 \\ 1 & t_2 & t_2^2 \\ 1 & t_3 & t_3^2 \end{bmatrix} \begin{bmatrix} x_1 \\ x_2 \\ x_3 \end{bmatrix} = \begin{bmatrix} y_1 \\ y_2 \\ y_3 \end{bmatrix}$$

I linjärgeometriken brukar man visa att en sådan matris, en Vandermonde-matris, är icsesingulär om alla t -värdena är distinkta.

Detta system är lätt att formulera men relativt dyrt att lösa (kubisk kostnad) men det finns snabbare metoder som utnyttjar matrisens speciella utseende. Det är dock billigt och stabilt att beräkna $p(t)$. Man använder normalt Horners metod för detta.

Exempel med $n = 4$:

$$x_1 + x_2t + x_3t^2 + x_4t^3 = x_1 + t(x_2 + t(x_3 + tx_4))$$

Detta skrivs lämpligen i en loop, men har jag använt sekventiell kod: $p = x_4$, $p = x_3 + tp$, $p = x_2 + tp$, $p = x_1 + tp$. Detta kräver $n - 1 +$ respektive *.

Man kan se Vandermonde-härledningen som ett specialfall av följande. Vi ansätter

$$p(t) = x_1\phi_1(t) + x_2\phi_2(t) + \cdots + x_{n-1}\phi_{n-1}(t) + x_n\phi_n(t)$$

ϕ_k kallas basfunktion och i Vandermonde-matrizen använde vi $\phi_k(t) = t^{k-1}$.

Ett problem med Vandermondematrizer är att de kan bli illakonditionerade.

113

Den allmänna formen är;

$$p(t) = x_1 + x_2(t-t_1) + x_3(t-t_1)(t-t_2) + \cdots + x_n(t-t_1)(t-t_2) \cdots (t-t_{n-1})$$

Låt oss se på specialfallet när $n = 3$.

$$p(t) = x_1 + x_2(t-t_1) + x_3(t-t_1)(t-t_2)$$

Vi får det undertriangulära ekvationssystemet:

$$\begin{bmatrix} 1 & 0 & 0 \\ 1 & t_2 - t_1 & 0 \\ 1 & t_3 - t_1 & (t_3 - t_1)(t_3 - t_2) \end{bmatrix} \begin{bmatrix} x_1 \\ x_2 \\ x_3 \end{bmatrix} = \begin{bmatrix} y_1 \\ y_2 \\ y_3 \end{bmatrix}$$

som ju är enkelt att lösa (framåtsubstitution). Vi ser också att det går att lägga till en punkt (en rad underst i matrisen) och vi behöver inte lösa systemet från början.

Exempel: Finn p som interpolerar $(1, 1)$, $(2, 4)$ samt $(3, 11)$.

1) Vandermondes form. Vi ansätter $p(t) = x_1 + x_2t + x_3t^2$.

$$\begin{bmatrix} 1 & 1 & 1 \\ 1 & 2 & 4 \\ 1 & 3 & 9 \end{bmatrix} \begin{bmatrix} x_1 \\ x_2 \\ x_3 \end{bmatrix} = \begin{bmatrix} 1 \\ 4 \\ 11 \end{bmatrix}$$

som har lösning $x = [2, -3, 2]^T$ varför $p(t) = 2 - 3t + 2t^2$ eller $p(t) = 2t^2 - 3t + 2$.

2) Lagranges form:

$$p(t) = 1 \frac{(t-2)(t-3)}{(1-2)(1-3)} + 4 \frac{(t-1)(t-3)}{(2-1)(2-3)} + 11 \frac{(t-1)(t-2)}{(3-1)(3-2)}$$

Förenklar vi detta uttryck får vi (givetvis) $p(t) = 2t^2 - 3t + 2$.

3) Newtons form: $p(t) = x_1 + x_2(t-1) + x_3(t-1)(t-2)$. Lös:

$$\begin{bmatrix} 1 & 0 & 0 \\ 1 & 2-1 & 0 \\ 1 & 3-1 & (3-1)(3-2) \end{bmatrix} \begin{bmatrix} x_1 \\ x_2 \\ x_3 \end{bmatrix} = \begin{bmatrix} 1 \\ 4 \\ 11 \end{bmatrix}$$

så att $x = [1, 3, 2]^T$ varför $p(t) = 1 + 3(t-1) + 2(t-1)(t-2)$ som också kan förenklas till $p(t) = 2t^2 - 3t + 2$.

115

Exempel: Antag att $n = 4$ och tag t -värdena $0.1, 0.2, 0.3, 0.4$. Matrisen kan då skrivas:

$$\begin{bmatrix} 1 & 10^{-1} & 10^{-2} & 10^{-3} \\ 1 & 2 \cdot 10^{-1} & 4 \cdot 10^{-2} & 8 \cdot 10^{-3} \\ 1 & 3 \cdot 10^{-1} & 9 \cdot 10^{-2} & 27 \cdot 10^{-3} \\ 1 & 4 \cdot 10^{-1} & 16 \cdot 10^{-2} & 64 \cdot 10^{-3} \end{bmatrix}$$

Konditionstalet är $\approx 2 \cdot 10^3$. Anledningen till det stora konditionstalet är att basfunktionerna liknar varandra (kolonnerna blir nästan linjärt beroende).

Ett sätt att få ner konditionstalet är att använda andra basfunktioner. Låt oss ta bokens förslag.

$$\phi_k(t) = \left(\frac{t - (t_1 + t_n)/2}{(t_n - t_1)/2} \right)^{k-1}$$

Den transformerede variabeln ligger i intervallet $[-1, 1]$:

$$-1 \leq \frac{t - (t_1 + t_n)/2}{(t_n - t_1)/2} \leq 1, \quad t \in [t_1, t_n]$$

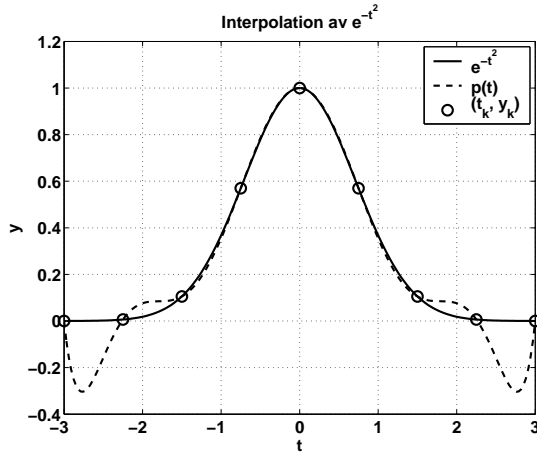
Denna transformation leder till det nya konditionstalet ≈ 8 i vårt exempel.

Det finns ytterligare en vanlig framställning av interpolationspolynomet, nämligen Newtons form. Den är en kompromiss mellan de två tidigare. Det är relativt billigt både att konstruera polynomet och att sedan evaluera det. Dessutom är möjligt att lägga till nya punkter utan att börja om med polynomberäkningen.

114

Problem med interpolation

I följande exempel interpolerar $p(t)$, $f(t) = e^{-t^2}$ i nio punkter.

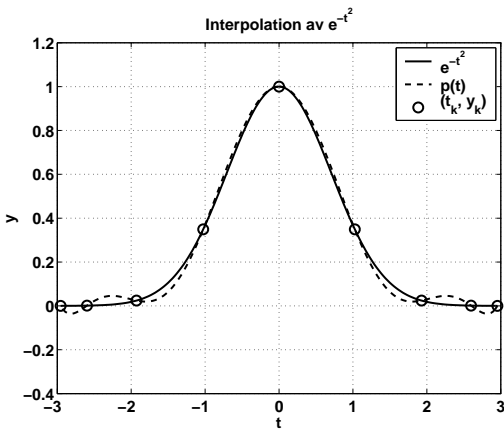


Det stämmer inte bra och det är stora fel i intervallets ändar. För vissa funktioner accentueras detta fenomen (Runges fenomen) när vi ökar antalet punkter (p behöver inte alltid konvergera mot f utan felet kan öka med ökande antal punkter).

Det är inte ovanligt att polynom av högt gradtal svänger kraftigt när man använder ekvidistant interpolation (samma avstånd mellan t_k -värdena).

Vi kan försöka att "hålla nere" polynomet i ändarna genom att lägga punkterna tätare där. Här har jag också använt nio punkter, men de ligger tätare mot intervallets ändpunkter. Polynomet svänger avsevärt mindre.

116



Vad är ett bra sätt att välja punkterna (om vi får välja)? Låt oss studera felets utseende igen (vi kan tänka oss exakta data, så att $p_f = p$):

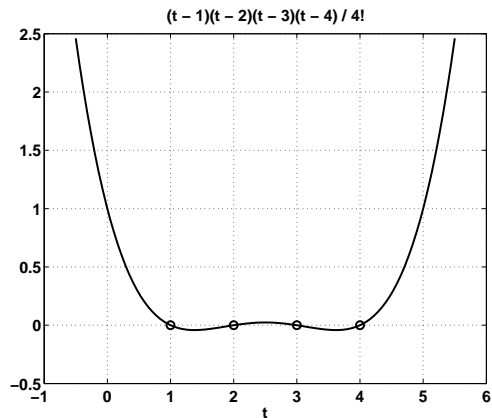
$$f(t) - p(t) = \frac{f^{(n)}(\theta)}{n!}(t - t_1)(t - t_2) \cdots (t - t_n)$$

där $\theta \in (t, t_1, t_2, \dots, t_n)$. Antag att $|f^{(n)}(\theta)| \leq M$ för alla $\theta \in (t, t_1, t_2, \dots, t_n)$. Vi har då

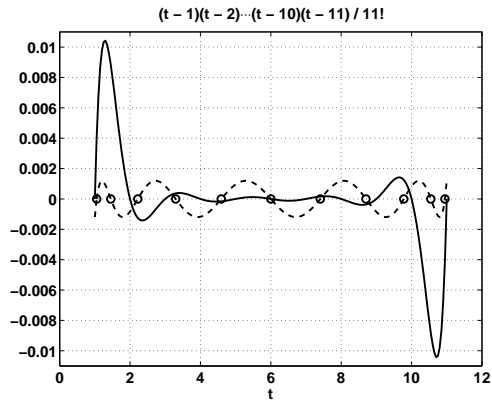
$$|f(t) - p(t)| \leq \frac{M}{n!} |(t - t_1)(t - t_2) \cdots (t - t_n)|$$

Låt oss specialstudera funktionen $(t - t_1)(t - t_2) \cdots (t - t_n)/n!$. Den växer snabbt utanför $[t_1, t_n]$. I bilden på nästa sida är $n = 4$ och sedan 11. Extrapolation är farligt.

117



Den kan vara orolig inom intervallet också:



118

Den heldragna kurvan, i andra bilden på föregående sida, svarar mot ekvidistanta punkter den streckade (bättre) utnyttjar Chebyshev punkterna. Dessa punkter har egenskapen att göra det maximala värdet av $|(t - t_1)(t - t_2) \cdots (t - t_n)|$ så litet som möjligt.

Sats:

$$\max_{-1 \leq t \leq 1} |(t - t_1)(t - t_2) \cdots (t - t_n)|$$

minimeras då

$$t_k = -\cos \left[\frac{(2k-1)\pi}{2n} \right], \quad k = 1, 2, \dots, n$$

Det maximala värdet på $|(t - t_1)(t - t_2) \cdots (t - t_n)|$ är då $1/2^{n-1}$.

När t ligger i ett annat interval, $[\alpha, \beta]$ säg får vi göra en linjär avbildning av Chebyshev punkterna till detta interval. Vi ser att

$$\frac{\beta - \alpha}{2}[-1, 1] + \frac{\alpha + \beta}{2} = [\alpha, \beta]$$

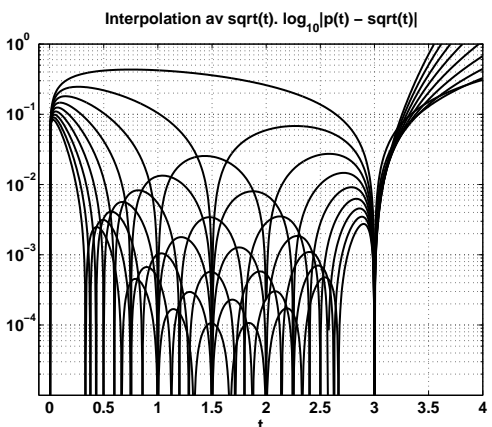
så de transformatorade Chebyshev punkterna blir

$$-\frac{\beta - \alpha}{2} \cos \left[\frac{(2k-1)\pi}{2n} \right] + \frac{\alpha + \beta}{2}$$

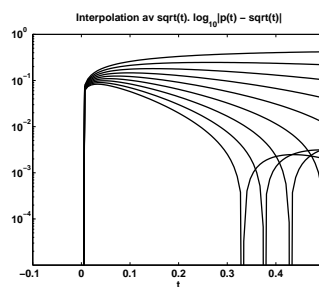
I bland är det ändå problem. Det kan tänka sig att M , begränsningen av $|f^{(n)}(\theta)|$ ej existerar. Exempel: $f(t) = \sqrt{t}$ på intervallet $[0, 3]$. Redan $f'(0)$ är ju obegränsad, man säger att derivatan har en singularitet. I vissa fall visar sig singulariteten först i högre derivator (ex $f(t) = t^{5/2}$).

På nästa sida visas felet vid interpolation av $\sqrt{t}, t \in [0, 3]$ för ökande n . Chebyshev punkter ger obetydligt bättre resultat.

119



Här inzoomat:



Anledningen till att det inte konvergerar vid $t = 0$ är att \sqrt{t} där har lodränt tangent, något ett polynom aldrig kan ha.

120

Om en funktion har $n+1$ antal kontinuerliga derivator så kan den utvecklas i en Taylorutveckling:

$$f(t) = f(a) + \frac{f'(a)}{1!}(t-a) + \frac{f''(a)}{2!}(t-a)^2 + \cdots + \frac{f^{(n)}(a)}{n!}(t-a)^n + R(t)$$

där resttermen $R(t) = c(\xi)(t-a)^{n+1}$, $\xi \in (a, t)$ och $|c(\xi)|$ är uppåt begränsad. Detta innebär att en sådan funktion (som har Taylorutveckling) liknar ett polynom på ett tillräckligt litet intervall.

Om inte alla $f^{(k)}(a) = 0$, $k = 0, \dots, n$ kan vi göra $R(t)$ godtyckligt liten jämfört med resten av Taylorutvecklingen, genom att ta $|t-a|$ tillräckligt litet. På ett stort intervall behöver inte funktionen likna ett polynom.

\sqrt{t} har ingen Taylorutveckling kring $a = 0$. Däremot har ju \sqrt{t} en utveckling kring alla $a > 0$ och det är inga problem att approximera funktionen för positiva t .

Man kan naturligtvis approximera med annat än polynom.

Exempel: Approximera $f(t) = (\sin t - 1)/(\cos t - 1)$ kring $t = 0$. Problem, i detta fall har ju f (inte bara derivatorna) en singularitet. Kan använda rationell approximation (Padé).

$$\frac{\sin t - 1}{\cos t - 1} = \frac{12 - 12t + t^2 + t^3}{6t^2} + R(t), \quad R(t) = \frac{t^2}{120} + \dots$$

Så för $t \approx 0$ och med $r(t) = (12 - 12t + t^2 + t^3)/(6t^2)$:

$$\left| \frac{f(t) - r(t)}{f(t)} \right| = \left| \frac{R(t)}{f(t)} \right| \approx \frac{t^4}{240}$$

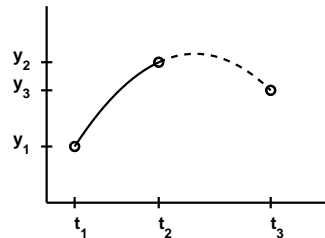
Ett annat alternativ är att använda en generalisering av potensserien:

$$f(t) = \frac{2}{t^2} - \frac{2}{t} + \frac{1}{6} + \frac{t}{6} + \frac{t^2}{120} + \frac{t^3}{360} + \frac{t^4}{3024} + \dots$$

121

Splinefunktioner

Polynom av höga gradtal är svårhanterliga men har samtidigt lokalt goda approximationsegenskaper. Dessutom är ju polynom "trevliga" funktioner. Enkla att beskriva, lagra, beräkna, integrera, derivera etc. Så en vanlig kompromiss är styckvisa polynom av låga gradtal. Man behåller polynomens enkelhet men slipper svängningarna.



I bilden ovan är den heldragna linjen ett polynom och den streckade ett annat. Heldragen plus streckad kurva tillsammans utgör dock inte (nödvändigtvis) ett polynom.

Def: En interpolerande splinefunktion av grad j är en funktion som interpolerar (t_k, y_k) , $k = 1, \dots, n$ och som består av styckvisa polynom, på intervallen $[t_1, t_2], [t_2, t_3], \dots$. Dessutom är splinefunktionen $j-1$ gånger kontinuerligt deriverbar i knutpunkterna (dvs. i (t_k, y_k)).

Det är inga problem med kontinuiteten av derivatorna av varje enskilt polynom (i varje delintervall).

122

Om $j = 1$ så har vi ingen kontinuerlig derivata utan bara kontinuitet hos splinefunktionen. Delpolynomen har högst grad ett.

Om $j = 2$ så är delpolynomen (högst) andragradspolynom. Splinefunktionen är kontinuerlig och är kontinuerligt deriverbar (förstaderivatan är kontinuerlig).

Det vanligaste är dock $j = 3$, kubiska splines, där delpolynomen är kubiska (högst) och splinefunktionen är kontinuerlig liksom dess första- och andraderivator.

Låt oss se varför detta verkar vara möjligt att åstadkomma och varför man inte kan kräva kontinuerlig tredjederivata.

En kubisk spline kan skrivas $p_k(t) = a_k t^3 + b_k t^2 + c_k t + d_k$ på intervallet $[t_k, t_{k+1}]$. Antag att vi har n stycken t -värden. Detta ger $n-1$ intervall (lika många polynom), så antalet obestämda koeficienter är $4(n-1)$. Hur många villkor har vi?

Interpolationskravet ger $2(n-1)$ villkor (ty varje polynom måste interpolera 2 knutpunkter). Detta ger oss kontinuiteten gratis.

Kontinuerlig förstaderivata ger $n-2$ villkor (inre punkter) och lika många för andraderivatan. Så summa $2(n-1) + n-2 + n-2 = 4n-6$ villkor.

Det innebär att vi saknar två villkor som måste bestämmas på något sätt. Här är några vanliga tilläggsvillkor (s är splinefunktionen):

$$s''(t_1) = s''(t_n) = 0 \text{ sk naturliga splines (minimerar } \int_{t_1}^{t_n} (s''(t))^2 dt)$$

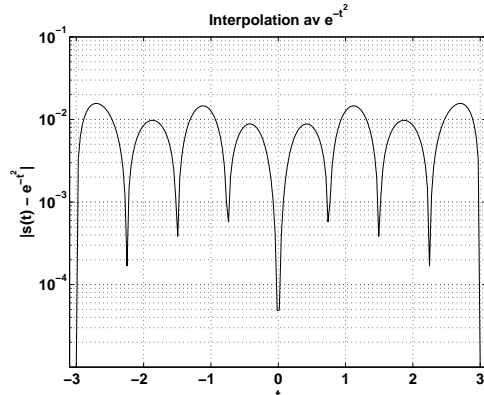
$$s'(t_1) = f'(t_1) \text{ och } s'(t_n) = f'(t_n) \text{ komplett spline}$$

123

$s'(t_1) = s'(t_n)$ samt $s''(t_1) = s''(t_n)$ periodisk första- och andraderivata (kanske rimligt med $y_1 = y_n$ i detta fall).

$p_1(t) = p_2(t)$, $t \in [t_1, t_2]$ och $p_{n-2}(t) = p_{n-1}(t)$, $t \in [t_{n-2}, t_n]$, not-a-knot; medför att s''' kontinuerlig i $t = t_2$ och $t = t_{n-1}$). Det är alltså ett tredjegradsplynom i $[t_1, t_3]$ (och ett (annat) i $[t_{n-2}, t_n]$).

Om vi återvänder till e^{-t^2} -exemplet har vi inget problem att göra en bra approximation med kubiska splines. Jag har ritat felet snarare än de två kurvorna, eftersom de ligger så nära varandra.



Om $f^{(4)}$ är begränsad (över intervallet) så konvergerar splinefunktionen mot f med hastigheten $\max_k h_k^4$.

124

Kvadratur - numerisk integration

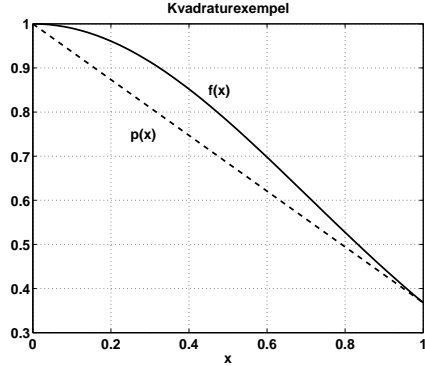
Vill beräkna: $\int_a^b f(x) dx$. Inte alltid möjligt att uttrycka en primitiv funktion i elementära funktioner (inte alltid bekvämt heller).

Grundidé: approximera $f(x)$ med en funktion $p(x)$ som har bra approximationsegenskaper, och som är enkel att beräkna och integrera.

Enkelt exempel: vi vill approximera $\int_0^1 e^{-x^2} dx$.

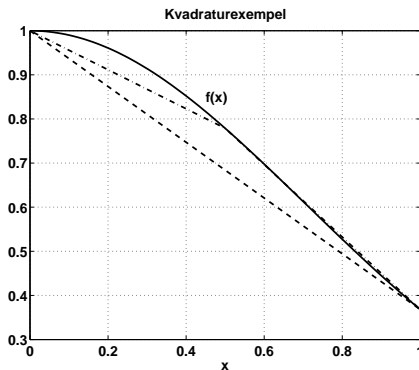
Facit: $\int_0^1 e^{-x^2} dx \approx 0.74682413281$.

Approximera $f(x)$ med en linjär funktion, $p(x) = 1 + (e^{-2} - 1)x$.



Från bilden framgår att vår approximation måste vara rätt dålig, 0.68394. Låt oss dela upp integrationsintervallet i två delintervall, $[0, 0.5], [0.5, 1]$ och approximera med en linjär funktion på varje delintervall:

125



Den andra halvan borde stämma rätt bra, absoluta felet är ≈ 0.001 . Det är fortfarande rätt stort fel i det vänstra intervallet. Approximationen av integralen är nu: 0.73137. Vi kan fortsätta med att halvera intervallen, men det verkar lite bortkastat att fortsätta med högra halvan. Vi vill ha en adaptiv metod som försöker anpassa sig till felet.

Från bilden ser man att approximationen kommer att konvergera mot det exakta värdet (om vi bortser från avrundningsfel).

Ett annat alternativ är att approximera med ett polynom av högre gradtal. Om vi integrerar interpolationspolynomet, av grad fyra, som interpolerar e^{-x^2} för $x = 0, 0.25, 0.5, 0.72, 1$ blir felet i integralen $\approx 10^{-5}$.

126

Mer om Trapetsmetoden

Trapetsmetoden: approximation av f med ett linjärt interpolationspolynom på varje delintervall. På intervallet $[a, b]$ approximerar vi integralen med arean av en paralleltrapets (därav namnet):

$$\int_a^b f(x) dx \approx \frac{h}{2}(f(a) + f(b)), \quad h = b - a$$

Vi delar nu in $[a, b]$ i $n - 1$ lika långa delintervall (en del författare börjar med x_0):

$$x_k = a + (k - 1)h, \quad k = 1, \dots, n, \quad h = (b - a)/(n - 1)$$

så att $x_1 = a$ och $x_n = b$.

Beteckna den approximation vi får med $T_n(f)$. Den blir:

$$\begin{aligned} \frac{h}{2} [(f(x_1) + f(x_2)) + (f(x_2) + f(x_3)) + \dots + (f(x_{n-1}) + f(x_n))] &= \\ h \left[\frac{f(x_1)}{2} + f(x_2) + f(x_3) + \dots + f(x_{n-1}) + \frac{f(x_n)}{2} \right] \end{aligned}$$

Gör man ovanstående i vårt exempel verkar felet ha utseendet ch^2 . Kan man bevisa det?

Från interpolationsteorin vet vi att:

$$f(x) - p(x) = \frac{f''(\theta_x)}{2}(x - a)(x - b), \quad \theta_x \in (a, b)$$

med ett intervall. Alltså

$$\begin{aligned} \int_a^b f(x) dx - \int_a^b p(x) dx &= \int_a^b \frac{f''(\theta_x)}{2}(x - a)(x - b) dx = \\ \frac{f''(\xi)}{2} \int_a^b (x - a)(x - b) dx &= -\frac{(b - a)^3 f''(\xi)}{12}, \quad \xi \in (a, b) \end{aligned}$$

Detta följer av integralkalkylens medelvärdessats $((x - a)(x - b)$ byter inte tecken på $[a, b]$). I det allmänna fallet, med $n - 1$, interval vall får vi summa felet:

$$\int_a^b f(x) dx - T_n(f) = -\sum_{k=1}^{n-1} \frac{(x_{k+1} - x_k)^3 f''(\xi_k)}{12} = -\frac{h^3}{12} \sum_{k=1}^{n-1} f''(\xi_k)$$

Om vi antar att f'' är kontinuerlig så antar f'' min/max på $[a, b]$ så att

$$\min_{a \leq x \leq b} f''(x) \leq \frac{1}{n-1} \sum_{k=1}^{n-1} f''(\xi_k) \leq \max_{a \leq x \leq b} f''(x)$$

så att (en kontinuerlig funktion antar mellanliggande värden):

$$\frac{1}{n-1} \sum_{k=1}^{n-1} f''(\xi_k) = f''(\xi)$$

Alltså:

$$\int_a^b f(x) dx - T_n(f) = -\frac{h^3(n-1)f''(\xi)}{12} = -\frac{(b-a)h^2f''(\xi)}{12}, \quad \xi \in [a, b]$$

ty $h(n-1) = b - a$.

Så om andraderivatan är begränsad i $[a, b]$ och om vi räknar exakt gäller att $T_n(f) \rightarrow \int_a^b f(x) dx, n \rightarrow \infty$.

Observera att om man inte vet något om hur f'' ser ut kan man inte garantera konvergens.

Det är enkelt att lura avbrotskriteriet i kvadraturprogram. Det enda vi känner är ju $(x_k, f(x_k)), k = 1, \dots, n$ men det finns oändligt många funktioner som interpolerar dessa punkter (med olika värden på integralen).

Detta är ett allmänt beräkningsproblem (ändliga punktmängder från oändliga punktmängder).

127

128

Newton-Cotes-kvadratur

Man kan generalisera trapetsmetoden. Att integrera interpolationspolynom ger Newton-Cotes metoder. Man skiljer mellan öppna metoder där ändpunkterna ej är med resp. slutna, där ändpunkterna tas med.

Enklaste metoden är mitt punktsmetoden (rektangelmetoden) där vi approximerar $f(x)$ med $f((x_k + x_{k+1})/2)$ i intervallet $[x_k, x_{k+1}]$. Så om vi bara ser på intervallet $[a, b]$ så har vi approximationen:

$$\int_a^b f(x) dx \approx (b-a)f\left(\frac{a+b}{2}\right)$$

Vi har tittat på trapetsmetoden där man använder en linjär approximation. Använder man en kvadratisk approximation får man Simpsons formel:

$$\int_a^b f(x) dx \approx \frac{b-a}{6} \left[f(a) + 4f\left(\frac{a+b}{2}\right) + f(b) \right]$$

Om man härleder felen för de sammansatta metoderna (mer än ett intervall) har mitt punktsmetoden felet

$$(b-a)h^2 f''(\xi)/24$$

vilket lustigt nog är mindre än för trapetsmetoden som ju har högre ordning på polynomet.

Dessutom har både mitt punkts- och trapetsmetod

polynomiel gradtal ett (exakt för alla polynom upp till och med grad ett). Detta beror på att vi inte primärt är intresserade av att approximera f (då är normalt en allmän linjär funktion bättre än en konstant) utan att vi vill approximera en integral.

En linjär approximation av t.ex. $f(x) = x$ över $[-1, 1]$ ger felet noll och en exakt integral. Approximationen av samma funktion med $f(0) = 0$ ger stora fel i funktionsanpassningen men en exakt integral pga att approximationsfelet i integralen precis tar ut varandra.

129

Simpsons formel, som också har ett udda antal punkter (jämna grad på polynomet), har felet $(b-a)h^4 f^{(4)}(\xi)/180$ som också uppvisar mindre fel än först förväntat (tre punkter ger h^4 och $f^{(4)}$).

Allmänt kan en kvadraturmetod skrivas

$$\int_a^b f(x) dx \approx \sum_{k=1}^n w_k f(x_k)$$

w_k kallas vikter och x_k abscissor.

Hur ser Simpsons formel ut på mer än ett intervall? Dela in $[a, b]$ i sex lika långa delintervall där vi använder metoden på: $[x_1, x_3]$, $[x_3, x_5]$ och $[x_5, x_7]$.

$$\begin{aligned} \int_{x_1}^{x_3} f(x) dx + \int_{x_3}^{x_5} f(x) dx + \int_{x_5}^{x_7} f(x) dx \approx \\ \frac{x_3 - x_1}{6} \left[f(x_1) + 4f\left(\frac{x_1+x_3}{2}\right) + f(x_3) \right] + \\ \frac{x_5 - x_3}{6} \left[f(x_3) + 4f\left(\frac{x_3+x_5}{2}\right) + f(x_5) \right] + \\ \frac{x_7 - x_5}{6} \left[f(x_5) + 4f\left(\frac{x_5+x_7}{2}\right) + f(x_7) \right] \end{aligned}$$

$\frac{x_1+x_3}{2} = x_2$ etc. och $h = x_{k+1} - x_k$ så att approximationen blir:

$$\frac{2h}{6} [f(x_1) + 4f(x_2) + 2f(x_3) + 4f(x_4) + 2f(x_5) + 4f(x_6) + f(x_7)]$$

Eftersom ändpunkterna i delintervallen sammfaller parvis.

Testar man detta på $f(x) = e^{-x^2}$ och kräver ett absolut fel $\leq 1.2 \cdot 10^{-9}$ tar trapetsmetoden 7150 funktionsevalueringar, mitt punktsmetoden 5055 och Simpsons formel 52. Matlabs `quad1`, som är adaptiv, tar 18.

130

Det spelar alltså stor roll vilken metod man använder och h^m -faktorn är mycket viktig. För att exemplifiera, låt oss anta att vi har en uppsättning metoder med feltermen:

$$c(b-a)h^m f^{(m)}(\xi)$$

där c är en konstant och m ett postivt heltal som varierar mellan metoderna. $h = 1/(n-1)$ som vanligt. Om $f^{(m)}(\xi)$ är konstant (inte sannolikt) kan felet skrivas Ch^m för en annan konstant C . För att feltermen skall bli $\approx \tau$, en given tolerans, krävs alltså:

$$Ch^m \approx \tau, \quad n \approx \frac{1}{(\tau/C)^{1/m}}, \quad n \propto \frac{1}{\tau^{1/m}}$$

Med $\tau = 10^{-9}$ och $C = 1$ så får vi denna tabell:

m	∞n
2	31623
3	1000
4	178
5	63
6	32
7	19

Om någon av f :s lägre derivator har en singularitet i $[a, b]$ kan dock metoderna konvergera avsevärt längsammare.

Exempel:

Trapetsmetoden på $f(x) = x^p$, $0 < p < 1$, $[a, b] = [0, 1]$.

Vi kan ej använda feluppskattningen på hela intervallet eftersom f' och f'' har en singularitet i nollan. Vi kan dock räkna ut skillnaden mellan integral och approximation för $x \in [0, h]$:

$$\int_0^h x^p dx - \frac{h[0^p + h^p]}{2} = \frac{(1-p)}{2(1+p)} h^{1+p}$$

Man skulle kunna använda feluppskattningen på $[h, 1]$ för att visa konvergens (felet går mot noll när $h \rightarrow 0$), men det blir ett väldigt svagt resultat.

131

Använder man uppskattningen på $[h, 2h]$, $[2h, 3h]$ etc. får man ett bra resultat som visar att felet uppför sig som h^{1+p} .

Det förväntar man sig även för de övriga metoderna. Antag att feltermen över det första intervallet (som innehåller nollan) har utseendet $ch^{m+1} f^{(m)}(\xi)$ där c är en konstant och $\xi > 0$ är en multipel av h , $\xi = \mu h$ säg (†). Med vår funktion så blir

$$ch^{m+1} f^{(m)}(\xi) = c_1(\mu)h^{m+1}h^{p-m} = c_1(\mu)h^{1+p}$$

för någon annan konstant c_1 som beror av μ . Denna konstant är givetvis viktig, så detta resonemang visar bara hur vi förväntar oss att beroendet av h ändras. Vi får alltså bara h^{1+p} som kan kräva många funktionsberäkningar (enligt vår tabell).

Tar vi $p = 0.3$ med samma tolerans som i föregående exempel, så kräver Simpson inte 52 funktionsberäkningar utan 1 697 157.

Problemet är väsentligen av samma slag som när vi interpolerade \sqrt{t} kring $t \geq 0$.

Vad kan man göra? I enkla fall kan man kanske byta parametrering av f och betrakta x som funktion av y (givetvis förutsatt att f^{-1} existerar lokalt) och sedan integrera i y -led (lite mer fixande krävs för att få rätt integral).

$y = \sqrt{x}$ övergår då i triviala $x = y^2$. Man kan skaffa sig ett interpolationspolynom genom att anpassa x -värden till y -värden (sk invers interpolation).

(†) På varje interval $[\delta, h]$, $\delta > 0$ gäller feluppskattningen.

Under svaga villkor på f och metod kan skillnaden mellan integralen över $[0, \delta]$ och metoden begränsas av konstant $\cdot \delta$, vilket gör att feltermen bestämmer utseendet på felet.

132

Adaptivitet

Normalt vill vi inte ha ekvidistanta punkter, utan vi vill att metoden automatiskt ska anpassa sig efter funktionens utseende och använda tätare med punkter där så behövs. Vi behöver då en uppskattning av felet.

Att direkt uppskatta feltermen gör man normalt inte. En vanlig metod är att räkna ut resultatet med två metoder (en med mindre fel) och jämföra resultaten. Kostnaden bör vara som för en metod. Man kan också använda samma metod men med olika antal punkter.

I boken används den senare varianten med trapetsmetoden (Simpson, eller bättre, är vanligare). Här följer en genomgång. Vi börjar med intervallet $[a, b]$, räknar ut trapetsapproximationen med två punkter. Vi lägger sedan till mittpunkten, $m = (a + b)/2$ och räknar ut en ny approximation, nu med tre punkter. Observera att detta kräver ett nytt funktionsvärd, $f(m)$.

Vi fortsätter nu så rekursivt på intervallet $[a, m]$ och $[m, b]$. När felet över ett interval är tillräckligt halverar vi inte detta interval vidare.

Antag att vi har kommit ner till ett delintervall av längd h . Approximationerna kan skrivas (I är det exakta värdet av integralen över detta delintervall)

$$I = T_h - h^3 f''(\xi)/12 \text{ resp. } I = T_{h/2} - h(h/2)^2 f''(\theta)/12$$

Antag att $c = -f''(\xi) \approx -f''(\theta)$ (behöver inte vara sant). Då gäller

$$0 \approx T_h - T_{h/2} + ch^3(1 - 1/4)/12 = T_h - T_{h/2} + 3ch^3/(4 \cdot 12)$$

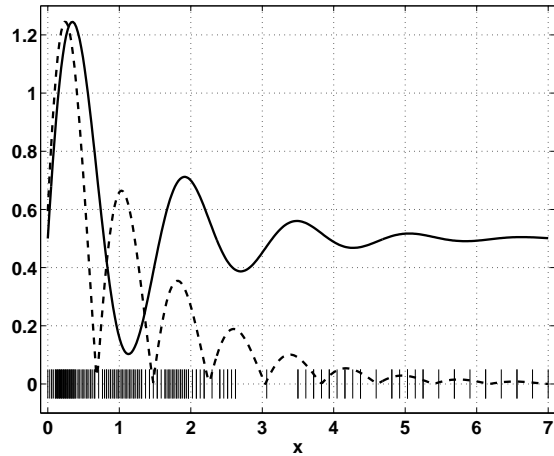
Men felet i $T_{h/2}$ är ju $ch(h/2)^2/12$. Alltså

$$I \approx T_{h/2} + \frac{T_{h/2} - T_h}{3}$$

133

Så här kan det se ut (med rätt stor tolerans):

En rekursiv trapetsmetod. Skalad $|f''(x)|$ --, $f(x)$ -.



Man kan notera att formeln ovan även ger upphov till en ny metod. Om vi lägger till feluppskattningen får vi

$$I \approx (4T_{h/2} - T_h)/3$$

och bakom denna formel döljer sig Simpsons formel.

Man kan betrakta härledningen vi har gjort som ett specialfall av sk Richardsonextrapolation.

134

Man kan visa att det existerar en serieutveckling av felet

$$\left(\int_a^b f(x) dx \right) I = T_h + a_1 h^2 + a_2 h^4 + a_3 h^6 + \dots$$

Vi halverar nu h och får

$$I = T_{h/2} + a_1 h^2/4 + a_2 h^4/16 + a_3 h^6/64 + \dots$$

Genom att kombinera de två uttrycken kan vi bli av med h^2 -terminen (och därmed minska felet):

$$4I - I = 4T_{h/2} - T_h + (4a_1 h^2/4 - a_1 h^2) + (4a_2 h^4/16 - a_2 h^4) + \dots$$

så att

$$I = \frac{4T_{h/2} - T_h}{3} - \frac{a_2 h^4}{4} + \dots$$

Detta kan man nu upprepa (med $T_{h/4}$) för att bli av med h^4 -terminen. Denna process (upprepad Richardsonextrapolation) kallas Rombergkvadratur.

Richardsonextrapolation kan användas närhelst man har en utveckling av felet. Exempel, approximation av derivata.

$$\frac{f(x+h) - f(x)}{h} = \frac{1}{h} \sum_{k=0}^{\infty} \frac{h^k f^{(k)}(x)}{k!} - \frac{f(x)}{h} = f'(x) + \sum_{k=2}^{\infty} \frac{h^{k-1} f^{(k)}(x)}{k!}$$

så att

$$f'(x) = \frac{f(x+h) - f(x)}{h} - h f''(x)/2 - h^2 f'''(x)/6 - \dots$$

$$f'(x) = \frac{f(x+h/2) - f(x)}{h/2} - (h/2) f''(x)/2 - (h/2)^2 f'''(x)/6 - \dots$$

och

$$f'(x) = 2 \frac{f(x+h/2) - f(x)}{h/2} - \frac{f(x+h) - f(x)}{h} + h^2 f'''(x)/12 + \dots$$

$$f'(x) = \frac{-3f(x) + 4f(x+h/2) - f(x+h)}{h} + h^2 f'''(x)/12 + \dots$$

Gausskvadratur

Antag att vi vill beräkna $\int_a^b f(x) dx$ och tillåts göra tre funktionsberäkningar, $f(x_1)$, $f(x_2)$ samt $f(x_3)$.

Om vi väljer $x_1 = a$, $x_2 = (a+b)/2$ samt $x_3 = b$ så kommer Simpsons formel att vara optimal när det gäller polynomIELT gradtal. Dvs om vi vill att metoden ska vara exakt för polynom av grad $0, 1, \dots, m$ för så stort m som möjligt så är Simpsons metod det bästa valet ($m = 3$).

Det visar sig dock att vi kan få större m genom att välja andra x_k -värden. Detta är kärnan i Gausskvadratur, att välja både x_k -värden och vikter för att maximera m .

Låt oss ta intervallet $[-1, 1]$. Vi ska nu välja x_1, x_2, x_3 samt vikter w_1, w_2, w_3 så att

$$\int_{-1}^1 x^k dx = w_1 x_1^k + w_2 x_2^k + w_3 x_3^k, k = 0, 1, \dots, m$$

för maximalt m . Integralens värde blir 0 om k är udda och $2/(k+1)$ annars. Vi får följande icke linjära ekvationssystem att lösa:

$$\begin{cases} 2 &= w_1 + w_2 + w_3 & k = 0 \\ 0 &= w_1 x_1 + w_2 x_2 + w_3 x_3 & k = 1 \\ 2/3 &= w_1 x_1^2 + w_2 x_2^2 + w_3 x_3^2 & k = 2 \\ 0 &= w_1 x_1^3 + w_2 x_2^3 + w_3 x_3^3 & k = 3 \\ 2/5 &= w_1 x_1^4 + w_2 x_2^4 + w_3 x_3^4 & k = 4 \\ 0 &= w_1 x_1^5 + w_2 x_2^5 + w_3 x_3^5 & k = 5 \end{cases}$$

Det verkar inte rimligt att ta med en ekvation till. Vi har ju $3 + 3 = 6$ obekanta och vi kan då kanske satifisera sex ekvationer. För att lösa systemet kan man använda "brute force", men det verkar rimligt att punkterna måste uppvisa viss symmetri. Vi antar sälunda att $x_1 < x_2 < x_3$ med $x_2 = 0$ och $x_1 = -x_3$.

135

136

Detta val leder ($k = 1$) till att $w_1 = w_3$ och satsering av fallen $k = 3, 5$. Kvarstår då ekvationerna $2 = 2w_1 + w_2$, $2/3 = 2w_1x_1^2$ samt $2/5 = 2w_1x_1^4$. Vi får $x_1 = -\sqrt{3/5}$ och $w_1 = 5/9$. Metoden blir alltså:

$$\int_{-1}^1 f(x) dx \approx \frac{5}{9}f(-\sqrt{3/5}) + \frac{8}{9}f(0) + \frac{5}{9}f(\sqrt{3/5})$$

Man ser att metoden inte är exakt för $m = 6$ så det polynomiella gradtalet är 5 (det var 3 för Simplicons metod). Eftersom integration är en linjär operation så är metoden exakt för alla polynom av grad högst 5.

För en Gausskvadraturformel har vi gradtalet $2n - 1$ med n punkter. Vi har dock offrat i enkelhet. Härlidningen kan dock förenklas (man använder teorin för ortogonala polynom och kan blanda in egenvärdesproblem för tridiagonala matriser).

En annan nackdel är att värdena måste skrivas in i ett program (stora tabeller). Det allvarligaste problemet är dock att man inte kan återanvända funktionsvärden när man gör adaptiva metoder.

Det finns dock varianter, Gauss-Kronrodkvadratur där man har en kompromiss mellan optimaliteten i Gausskvadratur och kravet på återanvändning av funktionsvärden, se boken.

Hur ser vår metod ut på intervallet $[a, b]$, $\int_a^b f(z) dz$? Sätt $z = \alpha x + \beta$ där $\alpha = (b - a)/2$ och $\beta = (a + b)/2$. $z \in [a, b] \rightarrow x \in [-1, 1]$. $dz = \alpha dx$. Alltså:

$$\int_a^b f(z) dz = \int_{-1}^1 f(\alpha x + \beta) \alpha dx \approx \sum_{k=1}^3 (\alpha w_k) f(\alpha x_k + \beta)$$

137

Ordinära differentialekvationer

Vi kommer enbart att studera begynnelsevärdesproblem, t.ex.

$$y'(t) = t^2 + \sin y(t), \quad 3 < t \leq 10, \quad y(3) = 4$$

Derivatan, $y'(t)$, är tagen med avseende på t ("tiden").

$3 < t \leq 10$ anger det intervall där vi vill approximera lösningen. $y(3) = 4$ är ett begynnelsevillkor som anger y :s begynnelsevärde, 4, vid tiden $t = 3$. Normalt (i övningar och anteckningar) skriver vi aldrig ut t , i $y(t)$. Vi struntar även i intervallet (tiden i begynnelsevillkoret) är vänster ändpunkt, och Du får anta något lämpligt slutvärde). Problemet kan då formuleras:

$$y' = t^2 + \sin y, \quad y(3) = 4$$

Normalt vill vi studera ett generellt problem, vi skriver:

$$y' = f(t, y), \quad y(t_0) = y_0$$

Så, i exemplet ovan är $f(t, y) = t^2 + \sin y$. Begynnelsetiden är t_0 (3 i exemplet) och y vid detta värde är y_0 (4 i exemplet). Både t_0 och y_0 måste vara kända.

Lösningssmetoderna genererar approximationer till lösningen för en uppsättning tidpunkter: $(t_0, y_0), (t_1, y_1), (t_2, y_2), \dots, (t_n, y_n)$, där t_n är slut-tiden och $y_k \approx y(t_k)$.

y_k är en approximation av lösningen vid tiden $t = t_k$. Det exakta värdet är $y(t_k)$.

Senare kommer system av ekvationer. Sådana behövs för att vi skall kunna lösa problem som innehåller högre derivator, t.ex.

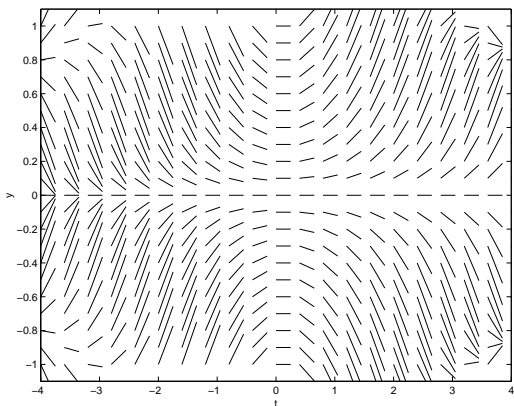
$$y''' = t + 2y'' + (y')^2 + \sin y, \quad y(0) = 2, \quad y'(0) = -3, \quad y''(0) = 4$$

138

Exempel: låt oss studera problemet: $y' = 1$. Detta är inget begynnelsevärdesproblem (eftersom vi saknar $y(t_0) = y_0$). Ett problem av detta slag har normalt oändligt många lösningar, i detta fall $y(t) = t + c$ där c är ett godtycklig reellt tal. När vi ger ett begynnelsevillkor väljer vi ut en av alla dessa oändligt många lösningar. $y(3) = 4$ ger oss lösningen $y(t) = t + 1$.

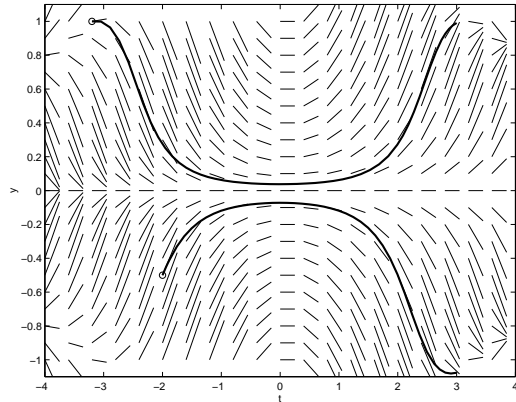
Med grafiska verktyg kan vi skaffa oss en bild om lösningsmängden även för problemet $y' = f(t, y)$. Låt oss göra detta för problemet $y' = \sin(ty)$.

I bilden nedan har jag skapat ett gitter i (en begränsad del av) (t, y) -planet. I varje gitterpunkt har jag avsatt en pil vars riktning överensstämmer med derivatan av den lösningskurva som går genom punkten. Detta är enkelt eftersom $y' = f(t, y)$, så derivatan är $f(t, y)$.



139

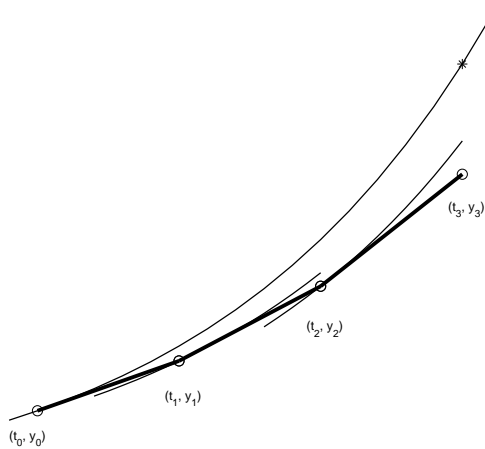
I nästa bild har jag ritat i två lösningskurvor (jag har gett två begynnelsevärden).



Det finns begynnelsevärdesproblem som saknar, eller har flera lösningar. Det kan också vara så att $y(t)$ inte existerar för alla $t > t_0$.

140

Föregående bild antyder en enkel lösningsmetod. Vi startar i (t_0, y_0) (som vi känner). Vi tar sedan ett litet steg utmed tangenten till lösningen (tangenten kan vi beräkna med hjälp av $f(t, y)$).



Antag att vi stegar med fix steglängd, h , i t så att:

$$t_1 = t_0 + h, \quad t_2 = t_1 + h, \quad t_3 = t_2 + h, \dots \text{ Allmänt } t_k = t_0 + kh.$$

Vi får Eulers metod:

$$y_{k+1} = y_k + h f(t_k, y_k), \quad k = 0, 1, 2, \dots$$

eller utskrivet

$$y_1 = y_0 + h f(t_0, y_0), \quad y_2 = y_1 + h f(t_1, y_1), \quad y_3 = y_2 + h f(t_2, y_2), \dots$$

141

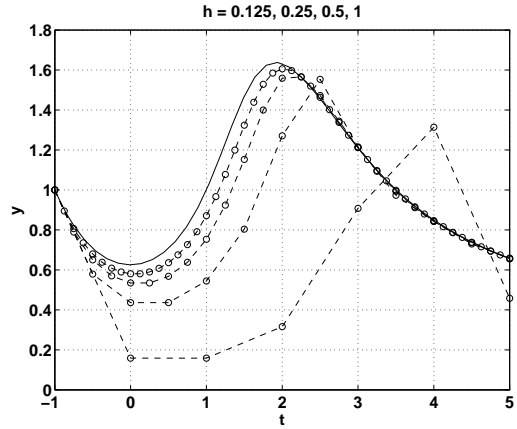
Exempel: $y' = \sin(ty)$, $y(-1) = 1$.
Så $t_0 = -1$, $y_0 = 1$ och $f(t, y) = \sin(ty)$.

Om $h = 0.1$ får vi approximationerna:

$$y_1 = y_0 + h f(t_0, y_0) = y_0 + h \sin(t_0 y_0) = \\ 1 + 0.1 \sin(-1 \cdot 1) \approx 0.9159$$

$$y_2 = y_1 + h f(t_1, y_1) = y_1 + h \sin(t_1 y_1) \approx \\ 0.9159 + 0.1 \sin(-0.9 \cdot 0.9159) \approx 0.8425$$

$$y_3 = y_2 + h f(t_2, y_2) = y_2 + h \sin(t_2 y_2) \approx \\ 0.8425 + 0.1 \sin(-0.8 \cdot 0.8425) \approx 0.7801 \text{ osv.}$$



142

Alternativa härledningar av Eulers metod

Taylorutveckling:

$$y(t_k + h) = y(t_k) + h y'(t_k) + \frac{h^2}{2} y''(t_k) + \dots$$

Nu är $y'(t_k) = f(t_k, y(t_k))$ och $t_{k+1} = t_k + h$ så att:

$$y(t_{k+1}) \approx y(t_k) + h f(t_k, y(t_k))$$

Vi approximerar nu $y_k \approx y(t_k)$, $y_{k+1} \approx y(t_{k+1})$ och får:

$$y_{k+1} = y_k + h f(t_k, y_k)$$

Nu till en härledning som använder kvadratur (integration).

$$y(t_{k+1}) - y(t_k) = \int_{t_k}^{t_{k+1}} y'(t) dt = \int_{t_k}^{t_{k+1}} f(t, y(t)) dt$$

Vi approximerar nu integralen med arean av en rektangel;

$$y(t_{k+1}) - y(t_k) = \int_{t_k}^{t_{k+1}} f(t, y(t)) dt \approx \underbrace{(t_{k+1} - t_k)}_h f(t_k, y(t_k))$$

Så:

$$y_{k+1} = y_k + h f(t_k, y_k)$$

System av ekvationer

$$u^{(3)} = u'' - 2tu' + u^2 - t + 1, \quad \begin{cases} u(3) = 2 \\ u'(3) = -1 \\ u''(3) = 0 \end{cases}$$

Inför nya funktioner

$$\begin{aligned} y_1 &= u \\ y_2 &= u' \Rightarrow y_2 = y'_1 \\ y_3 &= u'' \Rightarrow y_3 = y'_2 \end{aligned}$$

Vi får

$$\begin{cases} y'_1 = y_2 \\ y'_2 = y_3 \\ y'_3 = y_3 - 2ty_2 + y_1^2 - t + 1 \end{cases}, \quad \begin{cases} y_1(3) = 2 \\ y_2(3) = -1 \\ y_3(3) = 0 \end{cases}$$

Detta problem kan fortfarande skrivas, $y' = f(t, y)$, om vi inför vektorerna y och f , dvs.

$$y(t) = \begin{bmatrix} y_1(t) \\ y_2(t) \\ y_3(t) \end{bmatrix}$$

$$f(t, y) = \begin{bmatrix} y_2 \\ y_3 \\ y_3 - 2ty_2 + y_1^2 - t + 1 \end{bmatrix}, \quad y^{(0)} = \begin{bmatrix} 2 \\ -1 \\ 0 \end{bmatrix}$$

143

144

Alla metoder vi har sett kan enkelt generaliseras till systemfallet. Skalära y_k byts mot vektor $\mathbf{y}^{(k)}$. $f(t_k, \mathbf{y}_k)$ går över i $\mathbf{f}(t_k, \mathbf{y}^{(k)})$. Tiden t_k och steglängden h är fortfarande skalärer.

Eulers metod för exemplet ovan blir, med $t_0 = 3$, $h = 0.1$:

$$\mathbf{y}^{(0)} = \begin{bmatrix} 2 \\ -1 \\ 0 \end{bmatrix}, \quad \mathbf{y}^{(1)} = \mathbf{y}^{(0)} + h\mathbf{f}(t_0, \mathbf{y}^{(0)})$$

Dvs.

$$\begin{bmatrix} y_1^{(1)} \\ y_2^{(1)} \\ y_3^{(1)} \end{bmatrix} = \begin{bmatrix} y_1^{(0)} \\ y_2^{(0)} \\ y_3^{(0)} \end{bmatrix} + h \begin{bmatrix} y_2^{(0)} \\ y_3^{(0)} \\ y_3^{(0)} - 2t_0 y_2^{(0)} + (y_1^{(0)})^2 - t_0 + 1 \end{bmatrix}$$

$$\begin{bmatrix} 1.9 \\ -1 \\ 0.8 \end{bmatrix} = \begin{bmatrix} 2 \\ -1 \\ 0 \end{bmatrix} + 0.1 \begin{bmatrix} -1 \\ 0 \\ 0 - 2 \cdot 3 (-1) + 2^2 - 3 + 1 \end{bmatrix}$$

osv.

145

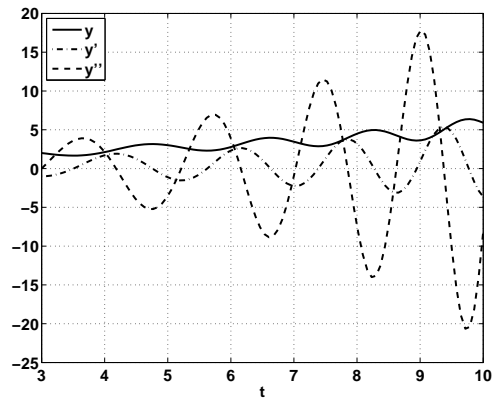
Hur man löser problemet med `ode45`

```
function ode_ex
y0 = [2 -1 0]'; % begynnelsevärdén
t0 = 3;           % begynnelsetid
ts = 10;          % slut-tid

[t, y] = ode45(@f, linspace(t0, ts, 100), y0);

figure(1)
hold off
plot(t, y(:, 1), 'k-', t, y(:, 2), 'k-.', ...
      t, y(:, 3), 'k--')
legend({'Y', 'Y''', 'Y'''''}, 'Location', 'NorthWest')
xlabel('t')
grid on

function yp = f(t, y)
yp = [y(2); y(3); y(3) - 2*t*y(2) + y(1)^2 - t + 1];
```



146

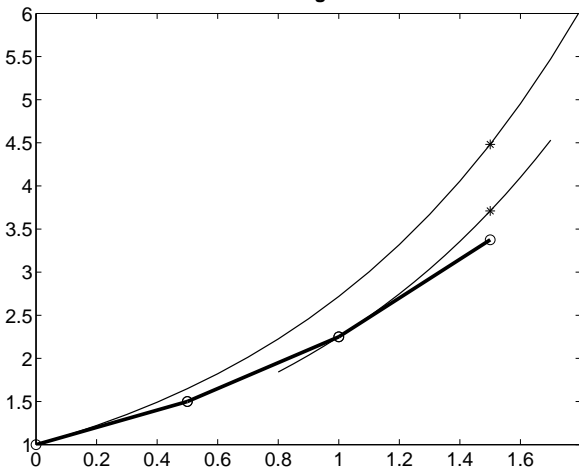
Felkällor

- trunkeringsfel; i Eulers metod trunnerar vi Taylorutvecklingen (approximerar med tangenten)
- avrundningsfel; normalt inte så viktigt

Lokalt fel: felet som uppstår i ett steg när man betraktar startpunkten, (t_{k-1}, y_{k-1}) , som exakt. Programvara försöker begränsa detta fel.

Globalt fel: felet mellan approximativ och exakt lösning, $y_k - y(t_k)$

Lokalt och globalt fel



147

Ordning

Olika metoder har olika ordning: en metod har ordning p om det lokala felet är av storleksordningen h^{p+1} när $h \rightarrow 0$. Vi skriver $\mathcal{O}(h^{p+1})$.

Vilken ordning har Eulers metod?

Antag att vi står i punkten (t_{k-1}, y_{k-1}) . Vad blir felet i nästa steg förutsatt att (t_{k-1}, y_{k-1}) betraktas som exakt?

Låt oss titta på det speciella problemet $y' = \lambda y$, $y(0) = y_0$. Eulers metod ger, som vanligt, approximationerna y_0, y_1, y_2, \dots

Den exakta lösningen som går genom (t_{k-1}, y_{k-1}) betecknar vi med $z(t)$ och den löser följande problem:

$$z' = \lambda z, \quad z(t_{k-1}) = y_{k-1}$$

Dvs.

$$z(t) = e^{\lambda(t-t_{k-1})} y_{k-1}$$

så när $t = t_k$ är

$$z(t_k) = e^{\lambda(t_k-t_{k-1})} y_{k-1} = e^{\lambda h} y_{k-1}$$

Eulers metod ger:

$$y_k = y_{k-1} + h f(t_{k-1}, y_{k-1}) = (1 + \lambda h) y_{k-1}$$

Det lokala felet blir:

$$y_k - z(t_k) = (1 + \lambda h) y_{k-1} - e^{\lambda h} y_{k-1} = \left[1 + \lambda h - \left[1 + \lambda h + \frac{(\lambda h)^2}{2} + \dots \right] \right] y_{k-1} = - \left[\frac{(\lambda h)^2}{2} + \dots \right] y_{k-1}$$

som är $\mathcal{O}(h^2)$, så Eulers metod har ordning ett (är en första ordningens metod).

148

Nu till det globala felet, $y_k - y(t_k)$, där $y(t)$ är den exakta lösningen till $y' = \lambda y$, $y(0) = y_0$ och y_k är approximationen av $y(t_k)$.

Tydligen är

$$y(t_k) = e^{\lambda t_k} y_0 \text{ och } y_k = (1 + \lambda h)^k y_0,$$

Värför?

$$y_1 = y_0 + h\lambda y_0 = (1 + h\lambda)y_0.$$

$$y_2 = y_1 + h\lambda y_1 = (1 + h\lambda)y_1 = (1 + h\lambda)^2 y_0 \text{ etc.}$$

Eftersom $t_k = kh$, får vi följande uttryck för det globala felet:

$$y_k - y(t_k) = (1 + \lambda h)^k y_0 - e^{\lambda t_k} y_0 = (1 + \lambda h)^k y_0 - e^{\lambda kh} y_0 =$$

$$\left[1 + k\lambda h + \frac{k(k-1)}{2}(\lambda h)^2 + \dots\right] y_0 - \left[1 + k\lambda h + \frac{(k\lambda h)^2}{2} + \dots\right] y_0 =$$

$$\frac{-k}{2}(\lambda h)^2 y_0 + \dots = -\frac{1}{2}\lambda^2(hk)y_0 h + \dots = -\frac{1}{2}\lambda^2 t_k y_0 h + \dots$$

Så det globala felet uppför sig som h .

Tumregel: det globala felet är $\mathcal{O}(h^p)$.

Vi tappar alltså en potens mellan lokalt och globalt fel.

149

Vi kan försöka skapa metoder av högre ordning, t.ex. genom att använda tidigare punkter; en så kallad flerstegsmetod.

T.ex.

$$y_{k+1} = y_k + \frac{h}{2} [3f(t_k, y_k) - f(t_{k-1}, y_{k-1})]$$

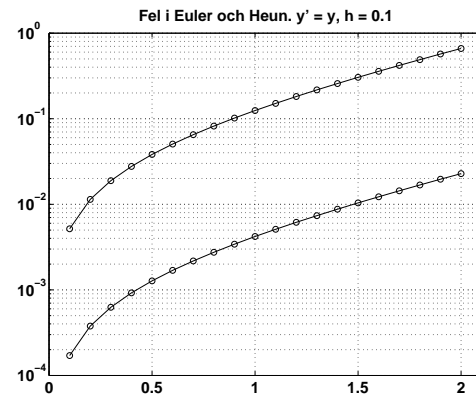
som har ordning två.

För att starta metoden kan vi ta ett Euler-steg.

En annan metod av andra ordningen är Heuns metod:

$$y_{k+1} = y_k + \frac{h}{2} [f(t_k, y_k) + f(t_k + h, y_k + hf(t_k, y_k))]$$

Detta är en enstegsmetod.



150

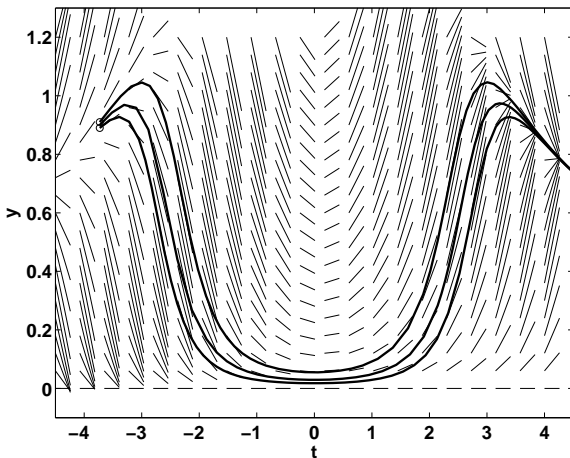
Problemets stabilitet

Hur ändras lösningen vid små ändringar i problemet?

I följande bild visas hur lösningen (till $y' = \sin(ty)$) varierar med $y(t_0)$. $y(t_0) = 0.89, 0.90$ respektive 0.91 .

Om lösningskurvorna går ihop eller går isär avgörs av det lokala utseendet på riktningsfältet.

$y_0 = 0.89, 0.90$ och 0.91



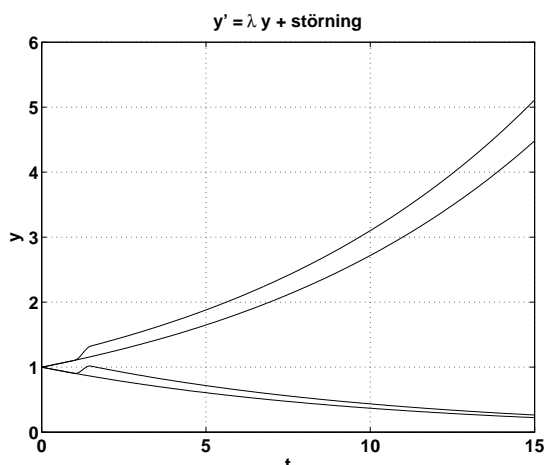
En lösning är stabil om två lösningar kan fås att ligga godtyckligt nära varandra (för $t \geq t_0$) givet att vi stör tillräckligt lite.

151

I nedanstående bild har jag löst $y' = \lambda y + s(t)$, för ett positivt och ett negativt värde på λ .

$s(t)$ är en liten störning som inträffar omkring $t = 1$.

Den exakta lösningen till $y' = \lambda y$ är $y(t) = e^{\lambda t} y(0)$.



Vi ser att störningen dämpas ut när $\lambda < 0$.

Om λ är komplex med negativ realdel så är differentialekvationen stabil; felet dämpas ut.

Om realdelen är positiv är differentialekvationen instabil.

Detta kan generaliseras till icke linjära problem och system av sådana.

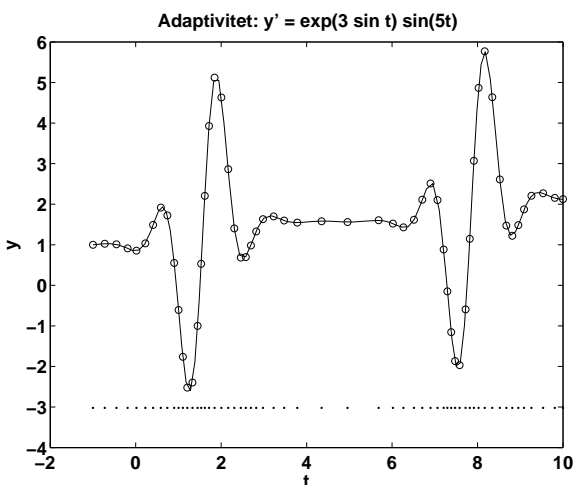
152

Adaptivitet

De flesta ODE-lösare är adaptiva, dvs. de försöker att anpassa steglängden så att det lokala felet underskrider en tolerans given av programmets användare.

I vissa fall består programmet av en familj av metoder av olika ordning. Programmet kan då även variera ordningen.

I figuren nedan har jag löst ett problem med **ode45** (den heldragna lösningen) och **ode23**, med stor tolerans, (ringarna).



153

Styva problem och lösarens stabilitet

Det är vanligt med så kallade styva problem (stiff). Dessa uppkommer t.ex. när man har snabba transenter.

Om vi använder en vanlig ode-lösare på ett styvt problem tvingas lösaren ta mycket korta steg för bibehålla stabiliteten.

Det visar sig att vi kan lära oss mycket om metoders stabilitet genom att studera den skalära testekvationen, $y' = \lambda y, y(0) = 1$. Normalt har vi dock styva system (och inte skalära ekvationer).

Antag att $\lambda < 0$, den exakta lösningen är då avtagande.

För vilka h ger Eulers metod $y_k \rightarrow 0$ då $k \rightarrow \infty$?

$$y_{k+1} = y_k + h f(t_k, y_k) = y_k + h \lambda y_k = (1 + h\lambda) y_k$$

så att

$$y_k = (1 + h\lambda)^k$$

När gäller att $y_k \rightarrow 0$? Jo då:

$$|1 + h\lambda| < 1$$

dvs, om $\lambda \in \mathbb{R}$ (och $\lambda < 0$),

$$0 < h|\lambda| < 2$$

Antag nu att λ är ett mycket negativt tal, säg $\lambda = -20000$. För att vi överhuvudtaget skall få en lösning som går mot noll måste $h < 1/10000$.

Vi noterar att $e^{\lambda t} = \epsilon_{mach}$ om $t = (\log \epsilon_{mach})/\lambda \approx 2 \cdot 10^{-3}$ i vårt exempel.

154

Vad skall vi göra? Lösningen är implicita metoder.

Bakåt-Euler:

$$y_{k+1} = y_k + h f(t_{k+1}, y_{k+1})$$

Stabilitet? Testa på $y' = \lambda y$

$$y_{k+1} = y_k + h \lambda y_{k+1}$$

så att

$$y_{k+1} = (1 - h\lambda)^{-1} y_k$$

och

$$y_k = (1 - h\lambda)^{-k} \text{ ty } y_0 = 1$$

När är $|(1 - h\lambda)^{-1}| < 1$? Antag $\lambda < 0$ (reellt) då är $|(1 - h\lambda)^{-1}| < 1$ för alla $h > 0$!

Detta innebär givetvis inte att vi kan ta godtyckligt långa steg. Tar vi för långa steg blir felet för stort.

Implicita metoder har den nackdelen att vi måste lösa en (normalt ickelinjär) ekvation för att bestämma y_{k+1} .

I en explicit metod, som Eulers metod, är detta inte nödvändigt.

Det finns mer komplicerade implicita metoder, t.ex.

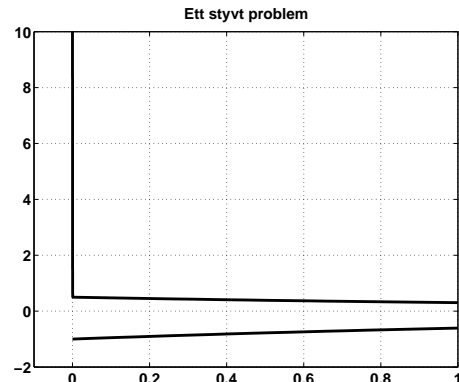
$$y_{k+1} - \frac{4}{3}y_k + \frac{1}{3}y_{k-1} = \frac{2h}{3}f(t_{k+1}, y_{k+1})$$

som är ett exempel på en flerstegsmetod.

155

Ett exempel:

$$y' = \begin{bmatrix} y_2 \\ -(y_1 + 2y_2)/\epsilon \end{bmatrix}, \quad y(0) = \begin{bmatrix} -1 \\ 10 \end{bmatrix}$$



Med Matlabs **ode23** (en Runge-Kutta-lösare ordning 2 och 3) krävs 11989 steg för att lösa problemet då $\epsilon = 0.0002$. Toleranserna är relativt 10^{-3} och absolut 10^{-6} .

Matlabs **ode23s** (s för stiff) löser problemet i 192 steg, 140 av dessa steg tas för $t < 0.01$.

156

Andra problemklasser

Tvåpunkts randvärdesproblem:

$$y'' = f(t, y, y'), \quad \alpha_1 y(a) + \beta_1 y'(a) = \gamma_1, \quad \alpha_2 y(b) + \beta_2 y'(b) = \gamma_2$$

Egenvärdesproblem (vibrerande sträng):

$$(py')' + \lambda \rho y = 0$$

$y(a) = y(b) = 0$, fixerade ändpunkter

$y'(a) = y'(b) = 0$, fria ändpunkter

$y(a) = y(b)$, $y'(a) = y'(b)$, periodiska randvillkor.

Ickelinjärt egenvärdesproblem (bifurkationsproblem).

Knäckning, roterande kedja, Taylor-Couette.

$$y'' + \frac{\lambda y}{\sqrt{y^2 + t^2}} = 0 \text{ samt randvillkor}$$

Tidsfördröjningsproblem (delay equations)

$$y'(t) = y(t) - y(t-T) + \dots$$

Inkubationstid; ändlig utbredningshastighet...

Differentialalgebraiska problem: differentialekvation med algebraiska "bivillkor".

Specialfall, implicita problem: $g(t, y)y' = f(t, y)$.